

Parecer

Este exemplar corresponde a redação final da tese defendida por Uriel Aparecido Rosa e aprovada pela Comissão Julgadora em 12 de junho de 1990.

Campinas, 19 de julho de 1990

  
Prof. Dr. Oscar Antonio Beau  
Presidente da Banca

MODELAGEM DA TRAJETÓRIA DE RESÍDUOS ORGÂNICOS  
PICADOS PROCESSADOS POR ROTOR DE FACAS RETAS

URIEL APARECIDO ROSA

CAMPINAS, 1990.

UNIVERSIDADE ESTADUAL DE CAMPINAS

FACULDADE DE ENGENHARIA AGRÍCOLA

MODELAGEM DA TRAJETÓRIA DE RESÍDUOS ORGÂNICOS  
PICADOS PROCESSADOS POR ROTOR DE FÁCAS RETAS

Dissertação apresentada como parte dos requisitos  
exigidos para obtenção do título de MESTRE em ENGENHARIA  
AGRÍCOLA.

Autor : URIEL APARECIDO ROSA

Orientador : PROF. DR. OSCAR ANTONIO BRAUNBECK

CAMPINAS, 1990.

A minha esposa Fernanda  
e ao meu filho Gabriel,  
pelo carinho e compreensão.

## AGRADECIMENTOS

À Faculdade de Engenharia Agrícola pela oportunidade;

À Copersucar pela concessão da realização e publicação  
deste trabalho;

Ao Prof. Dr. Oscar A. Braunbeck pela orientação  
inteligente, pelo incentivo e apoio constante;

Ao Prof. Dr. João D. Biagi pelas oportunas sugestões;

Aos colegas Ricardo Soares de Arruda Pinto e Angelo  
Domingos Banchi pelas inúmeras sugestões;

Aos estagiários Maurício Pires Martins e Nelson Luis  
Bonacelli pelo auxílio e cooperação;

Ao desenhista José Doniseti Martins pela colaboração  
na realização dos desenhos;

À minha família pelo incentivo, especialmente ao primo  
Prof. Dr. José Claudio Moura pelo apoio para realização do  
mestrado;

Ao ferramenteiro Pedro Roberto Pereira em especial,  
cujo empenho foi fundamental e decisivo para a montagem e  
execução dos experimentos no laboratório;

À Usina Modelo e Usina São Martinho pela cessão dos  
sub-produtos utilizados nos experimentos.

SUMÁRIO

	PÁG.
SUMÁRIO .....	i
LISTA DE FIGURAS .....	ii
LISTA DE TABELAS .....	viii
LISTA DE ABREVIATURAS E SÍMBOLOS .....	xii
RESUMO .....	xviii
1. INTRODUÇÃO .....	1
2. OBJETIVOS .....	6
3. REVISÃO DE LITERATURA .....	7
4. FUNDAMENTOS TEÓRICOS .....	21
5. MATERIAL E MÉTODOS .....	36
6. RESULTADOS E DISCUSSÕES .....	77
7. CONCLUSÕES .....	111
ANEXO A .....	114
ANEXO B .....	118
ANEXO C .....	119
ANEXO D .....	123
REFERÊNCIAS BIBLIOGRÁFICAS .....	130
ABSTRACT .....	136

LISTA DE FIGURAS

FIG. N <u>o</u>	TÍTULO	PÁG.
4.1	Rotor operando em resíduo orgânico	21
4.2	Movimento da partícula sobre a faca, sistema de coordenadas retangular, GALILI & SHTEINGAUZ (1982)	22
4.3	Movimento da partícula em faca reta inclinada, GALILI & SHTEINGAUZ (1982)	25
4.4	Diagrama de corpo livre de partícula em queda livre, influenciada pela gravidade e a resistência do ar, REINTS & YOERGER (1967)	28
4.5	Coeficientes de arrasto para partículas esféricas e de forma irregular, MENNEL & REECE (1963)	29
5.1	Túnel vertical	38

FIG. N <u>o</u>	TÍTULO	PÁG.
5.2	Lançador de material	43
5.3	Módulo de campo	45
5.4	Diagrama de forças da torta na faca	50
5.5	Esquema simplificado do túnel vertical	55
5.6	Perfis de velocidade ao longo da seção do tubo	56
5.7	Modelo simplificado do teste de lançamento de torta	62
5.8	Modelo genérico de faca com dimensões principais	63
5.9	Trajetória do material dentro da faca	68
5.10	Material na posição de início de descarga	69
6.1	Trajetórias de lançamento na condição U81A+28	83
6.2	Trajetórias de lançamento na condição	

FIG. N <u>o</u>	TÍTULO	PÁG.
U81A+13		84
6.3 Trajetórias de lançamento na condição		
U81A+00		84
6.4 Trajetórias de lançamento na condição		
U81A-16		85
6.5 Trajetórias de lançamento na condição		
U81A-31		85
6.6 Trajetórias de lançamento na condição		
U68A+28		86
6.7 Trajetórias de lançamento na condição		
U68A+13		86
6.8 Trajetórias de lançamento na condição		
U68A+00		87
6.9 Trajetórias de lançamento na condição		
U68A-16		87
6.10 Trajetórias de lançamento na condição		
U68A-31		88

FIG. Nº	TÍTULO	PÁG.
6.11	Trajetórias de lançamento na condição U44A+28	88
6.12	Trajetórias de lançamento na condição U44A+13	89
6.13	Trajetórias de lançamento na condição U44A+00	89
6.14	Trajetórias de lançamento na condição U44A-16.	90
6.15	Trajetórias de lançamento na condição U44A-31	90
6.16	Trajetórias de lançamento na condição U82A+00, $V_t < 4,2 \text{ m/s}$	91
6.17	Trajetórias de lançamento na condição U82A+00, $V_t = 5,4 \text{ m/s}$	91
6.18	Trajetórias de lançamento na condição U82A+00, $V_t = 7,6 \text{ m/s}$	92
6.19	Trajetórias de lançamento na condição U82A+00, $V_t = 9,1 \text{ m/s}$	92

FIG. N <u>o</u>	TÍTULO	PÁG.
6.20	Trajetórias de lançamento na condição U82A+00, $V_t = 10,9 \text{ m/s}$	93
6.21	Trajetórias de lançamento na condição U82A+00, $V_t > 12,1 \text{ m/s}$	93
6.22	Diferença entre trajetória experimental e teórica na condição U81	94
6.23	Diferença entre trajetória experimental e teórica na condição U68	94
6.24	Diferença entre trajetória experimental e teórica na condição U44	95
6.25	Diferença entre trajetória experimental e teórica na condição U82A+00	95
6.26	Curvas experimentais da condição U81	104
6.27	Curvas experimentais da condição U68	104
6.28	Curvas experimentais da condição U44	105
6.29	Curvas experimentais das condições U82	105

FIG. N <u>º</u>	TÍTULO	PÁG.
6.30	Alcance para as curvas teóricas da condição U81	106
6.31	Alcance para as curvas teóricas da condição U68	107
6.32	Alcance para as curvas teóricas da condição U44	107
6.33	Alcance para as curvas teóricas da condição U82	108

LISTA DE TABELAS

TAB. N <u>o</u>	TÍTULO	PÁG.
5.1	Classificação granulométrica de torta seca a peso constante (Usina Modelo)	41
5.2	Identificação e umidade das sub-amostras de torta de filtro	48
5.3	Densidade aparente das sub-amostras de torta de filtro	49
5.4	Coeficientes de atrito cinético utilizados	53
5.5	Velocidade média do ar vs posição da válvula	57
5.6	Distribuição de massa da sub-amostra U82 obtida no túnel vertical	59
5.7	Distribuição de massa da sub-amostra U68	

TAB. N <u>o</u>	TÍTULO	PÁG.
	obtida no túnel vertical	60
5.8	Distribuição de massa da sub-amostra U44	
	obtida no túnel vertical	60
5.9	Velocidades de arrasto obtidas para as sub-amostras	61
5.10	Posições da faca de lançamento	63
5.11	Condições iniciais do material dentro da faca para sub-amostras U81 e U68	71
5.12	Condições iniciais do material dentro da faca para sub-amostras U44	71
5.13	Condições iniciais do material dentro da faca para sub-amostra U82	72
6.1	Valores teóricos para a sub-amostra U81 no ponto de descarga	78
6.2	Valores teóricos para a sub-amostra U68 no ponto de descarga	78
6.3	Valores teóricos para a sub-amostra U44	

TAB. N <u>o</u>	TÍTULO	PÁG.
	no ponto de descarga	79
6.4	Valores teóricos para a sub-amostra U82 no ponto de descarga	79
6.5	Distâncias atingidas pelo lançamento da sub-amostra U81	96
6.6	Distâncias atingidas pelo lançamento da sub-amostra U68	97
6.7	Distâncias atingidas pelo lançamento da sub-amostra U44	97
6.8	Valores da curva ajustada para a sub-amostra U81 no ponto de descarga	98
6.9	Valores da curva ajustada para a sub-amostra U68 no ponto de descarga	99
6.10	Valores da curva ajustada para a sub-amostra U44 no ponto de descarga	99
6.11	Distâncias atingidas pelo lançamento da sub-amostra U81 com condições iniciais da curva ajustada	100

TAB. N <u>O</u>	TÍTULO	PÁG.
6.12	Distâncias atingidas pelo lançamento da sub-amostra U68 com condições iniciais da curva ajustada	101
6.13	Distâncias atingidas pelo lançamento da sub-amostra U44 com condições iniciais da curva ajustada	101

**LISTA DE ABREVIATURAS E SÍMBOLOS**

SÍMBOLO	DESCRÍÇÃO	UNIDADE
A	Área frontal da partícula	$m^2$
b	Constante linear da reta que define o perfil da faca	m
C	Coeficiente de arrasto	-
D	Diâmetro da partícula; é a maior dimensão quando a partícula é de forma irregular	m
d	Distância atingida pela torta sobre o piso em relação ao centro de rotação do torno	m
e	Base de logaritmos naturais	-
F	Força de arrasto	N

SÍMBOLO	DESCRICAÇÃO	UNIDADE
---------	-------------	---------

$F_C$	Força centrífuga	N
-------	------------------	---

$F_n$	Força normal exercida na partícula pela faca	N
-------	---	---

$F_t$	Força tangencial exercida na parti- cula pela faca	N
-------	---	---

$g$	Aceleração da gravidade	$m/s^2$
-----	-------------------------	---------

K	Constante de arrasto	$kg/m$
---	----------------------	--------

k	Constante angular da reta que define o perfil da faca	-
---	--	---

$L_{max}$	Distância atingida pela torta em relação à extremidade da carenagem	m
-----------	--	---

$l_1$	Dimensão máxima da partícula	m
-------	------------------------------	---

$l_z$	Dimensão máxima da partícula com exceção de $l_1$	m
-------	--	---

m	Massa da partícula	kg
---	--------------------	----

R	Força resultante entre a força cen-	
---	-------------------------------------	--

SÍMBOLO	DESCRIÇÃO	UNIDADE
	trifuga e o peso do material	N
Rey	Número de Reynolds	-
$R_e$	Raio externo da faca	m
$R_i$	Raio inicial do material na faca	m
t	Tempo	s
v	Velocidade relativa da partícula com o ar	m/s
$v_a$	Velocidade de arrasto das partícu- las no túnel vertical	m/s
$v_t$	Velocidade terminal da partícula	m/s
$v_{xo}$	Velocidade de saída da partícula em relação ao eixo x do sistema de coordenadas girantes	m/s
$v_{yo}$	Velocidade de saída da partícula em relação ao eixo y do sistema de coordenadas girantes	m/s

SÍMBOLO	DESCRIÇÃO	UNIDADE
$v_0$	Velocidade da partícula na posição de descarga	m/s
$x$	Distância da partícula ao eixo das ordenadas	m
$x_i$	Coordenada x referente à posição inicial da partícula	m
$x_q$	Coordenada x referente à extremidade da carenagem	m
$x_t$	Coordenada x referente à posição de descarga do material	m
$y$	Distância da partícula ao eixo das abscissas (perfil da faca)	m
$y_q$	Coordenada y referente à extremidade da carenagem	m
$y_t$	Coordenada y referente à posição de descarga do material	m
$\alpha_f$	Ângulo de atrito entre partícula e faca	°

SÍMBOLO	DESCRICAÇÃO	UNIDADE
$\alpha_i$	Ângulo entre o vetor $w \cdot R_i$ e a força normal à faca, na posição inicial	°
$\alpha_R$	Ângulo entre a superfície da faca e o eixo x	°
$\beta$	Ângulo da tangente à trajetória do material em relação à horizontal	°
$\beta_0$	Ângulo de saída do material da faca em relação à horizontal	°
$\varepsilon$	Ângulo entre a tangente à faca de perfil genérico e o eixo x	rad
$\gamma$	Ângulo entre o braço de sustentação da carenagem e a horizontal	°
$\theta$	Ângulo de rotação da faca	rad, °
$\theta_0$	Ângulo total de rotação da faca até a descarga	rad, °
$\mu$	Coeficiente de atrito entre partícula e faca	-

SÍMBOLO	DESCRÍÇÃO	UNIDADE
$\rho$	Densidade do ar (pressão e temperatura)	$\text{kg/m}^3$
$\nu$	Viscosidade cinemática do ar	$\text{m}^2/\text{s}$
$\omega$	Velocidade angular	rad/s

---

## RESUMO

---

O presente trabalho estuda o comportamento de resíduos orgânicos processados por rotor de facas retas radiais e inclinadas. O modelamento matemático baseia-se na literatura referente ao lançamento de materiais granulares por distribuidores centrífugos. Um programa computacional resolve a trajetória teórica do material dentro da faca e outro resolve sua trajetória no ar.

Construiu-se um lançador de material montado em um torno, para lançamento de torta de filtro com umidades entre 44 e 82 %. Ajustaram-se as facas com ângulos de -31 a +28° em relação à direção radial.

Filmaram-se as trajetórias de lançamento da torta para posterior reprodução, através de congelamento de imagens com avanço quadro a quadro e registro de suas coordenadas no espaço. Mediu-se a distância alcançada pela torta ao atingir a cota mínima.

Construiu-se um túnel vertical para medição de velocidade terminal, dotado de válvula reguladora de vazão de ar. Pesaram-se as frações de torta classificadas para se obter uma velocidade terminal representativa de cada umidade.

Após análise de alternativas de rotores simples e duplos em termos de potência de acionamento e trajetória preliminar optou-se por um rotor simples.

Construiu-se um rotor de facas retas radiais com diâmetro externo de 1,8 m para avaliação qualitativa do seu funcionamento. Montou-se lateralmente em uma colhedora de cana MF 201. Acionou-se o rotor através de dois motores hidráulicos TRW. Tracionou-se o conjunto com um guincho montado em um trator Valmet 128. O rotor revolveu uma parcela do monte de torta de seção triangular de 4 m de largura por 2 m de altura.

Os resultados experimentais indicaram bons ajustes das trajetórias teóricas geradas por facas radiais e com ângulos negativos. Devido ao tempo de descarga maior para facas com ângulos positivos, ocorreram desvios maiores nestas trajetórias.

A modificação do ângulo da carenagem se mostrou mais influente na alteração da trajetória do material lançado do que a mudança do ângulo da faca.

A desestruturação e aeração do material se realizam pela ação das facas do rotor e devido à ação do ar durante sua trajetória aérea.

## 1 INTRODUÇÃO

O crescente interesse na utilização de adubação orgânica em áreas de plantio de cana-de-açúcar tem sido manifestado devido ao elevado custo da adubação mineral, à possibilidade de melhoria das propriedades físico-químicas dos solos e à elevada quantidade de resíduos resultantes dos processos de fabricação de açúcar e álcool nas usinas.

A aplicação da matéria orgânica, proveniente de resíduos animais, vegetais ou humanos, oferece ao agricultor um valioso e muitas vezes menos honeroso método de conservação do solo. Se propriamente manuseada e aplicada, esta não somente diminui a necessidade dos caros e energeticamente pouco eficientes fertilizantes químicos, mas também eleva o conteúdo de húmus e evita erosão. Quando compostados, muitos dos problemas de toxidez associados com resíduos orgânicos frescos são reduzidos e o material se torna mais estável e mais capaz de melhorar a fertilidade do solo sobre um longo período de tempo. Embora o valor econômico destes benefícios possa facilmente ser superestimado, o valor mundial final de um programa cuidadosamente manejado de compostagem e aplicação na terra nunca deveria ser subestimado, STEFFEN

(1979).

A fertilidade do solo é incrementada pela adubação orgânica, devido à maior disponibilidade de nutrientes, à maior capacidade de retenção de água, à textura mais adequada e ao aumento da atividade microbiana fixadora de nitrogênio, CARDOSO & DIAS DE TOLEDO (1984).

A preparação do composto é uma fase importante do processo de adubação orgânica. A perda de água e carbono na forma de CO<sub>2</sub> produz uma grande redução de volume e massa do produto. Devido à perda de água através da secagem, a torta de filtro sofre uma redução de massa de 45 % quando o produto passa de 78 para 60 % de umidade (B.U.). Esses números evidenciam a importância da compostagem na redução dos custos de transporte e manuseio do produto, PERTICARRARI & BRAUNBECK (1988). O transporte do resíduo é o item de maior influência na composição dos custos da adubação orgânica, COPERSUCAR (1989).

O composto orgânico, constituído de matéria orgânica estabilizada, pode ser incorporado à cultura sem lhe provocar a queima, produzir mau cheiro ou atrair insetos. A compostagem é a decomposição aeróbica de resíduos orgânicos por microorganismos, que se desenvolvem a altas temperaturas, em torno de 50 a 70 °C, resultante da liberação de energia de suas atividades. Existe uma seleção dos microorganismos termofílicos que irão degradar o produto. A temperatura elevada inibe a atividade dos próprios microorganismos e elimina microorganismos

patogénicos e ervas daninhas.

O material precisa ser revolvido periodicamente para se evitar a formação de regiões anaeróbicas pois, durante o período termofílico, o consumo de oxigênio por parte dos microorganismos é intenso. Esta é a fase de maior redução de massa e volume. Com o declínio da temperatura, provocado pela redução da atividade microbiana, o consumo de oxigênio é reduzido e não se torna mais necessário fazer o revolvimento das pilhas de composto, porém o material continua amadurecendo e sofrendo redução de massa e volume, COPERSUCAR (1985). O produto final sofre uma queda da relação C/N superior a 30 para 17, aproximadamente, tornando-se adequado para aplicação nas culturas.

Para cada tonelada de cana moída, são produzidos de 30 a 40 kg de torta de filtro e cerca de 275 kg de bagaço, HUGOT (1977). A sobra de bagaço no setor canavieiro vem crescendo nos últimos anos, principalmente devido à modernização das caldeiras e sistemas periféricos das usinas. Existem várias alternativas para o uso de bagaço, tais como a energética, produção de aglomerados, chapas, produção de rações, cama de frango e outras. A utilização do bagaço na compostagem vem a ser uma utilização viável, juntamente com a torta de filtro que hoje é aplicada nos sulcos de plantio ou em áreas de soqueira.

A situação das usinas cooperadas da Copersucar na safra 81/82 (que se repetiu proporcionalmente na safra 82/83), indica que, de  $14 \cdot 10^6$  t de bagaço produzidas,

houve uma sobra de 755.000 t (5 %). Em 50 % das usinas houve sobra de bagaço, atingindo o nível de 15 % em algumas unidades, COPERSUCAR (1983).

Os resíduos da indústria açucareira, bagaço e torta de filtro, podem ser compostados na proporção de 1:2 em massa, respectivamente, fornecendo um composto de boa qualidade.

Atualmente, o processo de revolvimento é realizado em algumas usinas por pá carregadora frontal com transmissão reversível para revolvimento de leiras de torta de 4 m de largura por 2 m de altura, COPERSUCAR (1985).

Em outros países, parte do tratamento de resíduos orgânicos urbanos é realizado por misturadores contínuos que revolvem o material disposto em leiras triangulares a céu aberto, HAY et alli (1985). O uso de um misturador contínuo conduz a uma otimização do processo, sem perdas de tempo operacional e energia devido às manobras da máquina. Ocorrem apenas as manobras de início e final de leira. O elemento básico desse tipo de misturador é um ou mais rotores de facas que cortam, arejam e desintegram o material para decomposição, lançando-o para trás e mantendo a mesma forma de leira triangular.

A produção de cogumelos comestíveis utiliza material orgânico pulverizado e estabilizado como substrato para seu desenvolvimento. Algumas firmas nacionais utilizam equipamentos contínuos importados para preparo do composto. Seu princípio de funcionamento é baseado em rotores que cortam, desestruturam e arremessam o produto

para reconstituição da leira, fornecendo ao produto características de oxigenação e textura convenientes para a realização da compostagem.

BRAUNBECK & IDE (1982) avaliaram um implemento contínuo para secagem de torta de filtro, que corta uma camada de uma face da leira através de uma rosca sem fim e a despeja sobre a outra face. A cada passagem do implemento, a seção transversal da leira se desloca da distância equivalente a uma camada cortada de material.

Embora exista a experiência com a operação do implemento revolvedor de resíduos, o uso de um rotor é mais eficiente que a rosca sem fim utilizada no referido implemento. Perdas por atrito, inerentes ao uso de rosca de corte e deslocamento de material, apresentam-se menores no caso do uso do rotor.

Um estudo amplo de um rotor de corte para revolvimento de resíduos orgânicos picados se faz necessário, sendo este o elemento principal de um misturador contínuo. Este trabalho inicia o referido estudo por um dos itens mais relevantes para o projeto de rotores trabalhando em resíduos orgânicos, que é justamente o deslocamento do material tanto dentro como fora das facas do rotor, ou seja, realiza o estudo referente à sua trajetória.

## 2. OBJETIVOS

- a) Adaptação de um modelo matemático de trajetória de corpo livre de espalhador rotativo de material granular, para uso no equacionamento de um rotor lançador de resíduo orgânico picado, com diâmetro de 1,8 m e velocidade periférica de 5 m/s, dimensionado para leiras de 4 m de largura por 2 m de altura.
- b) Verificação experimental do modelo teórico para facas planas radiais e inclinadas, através da construção de dispositivo de lançamento que permita medir as coordenadas das trajetórias e as distâncias de lançamento.
- c) Recomendação para o projeto de um rotor lançador adequado ao uso com resíduo orgânico picado e avaliação qualitativa de desempenho de misturador de resíduos autopropelido, dimensionado com o modelo desenvolvido.

### 3. REVISÃO DE LITERATURA

PATTERSON & REECE (1962) estudaram a alimentação de partículas perto do centro de rotação de um disco montado com pás radiais e rotação no plano horizontal. Neste caso, não existe impacto na alimentação e a partícula desliza suavemente pelas pás do rotor. Dependendo da forma das partículas, dois tipos de movimento foram considerados. Partículas mais poligonais deslizam sobre a pá sem rolamento, com valor limite das forças de atrito. Partículas mais arredondadas, rolam em vez de deslizar, as forças de atrito são menores, suficientes para provocar o rolamento. Pela geometria específica dos resíduos orgânicos, espera-se que apenas deslizem sobre a faca.

Além da forma da partícula, os autores também concluem que outros fatores, tais como atrito das partículas com o disco e com as pás têm efeito significativo na alteração da trajetória.

A determinação experimental do ângulo de saída do material com a faca foi medida através de fotografia de exposição longa e a velocidade tangencial da faca foi determinada pela medição da rotação do disco e do raio externo da faca. Usando relacionamentos geométricos entre

o ângulo de saída do material, a velocidade tangencial da faca e a velocidade radial do material, foi possível obter a velocidade de saída do mesmo.

Os autores mostram que existem limites máximo e mínimo de ângulo de saída do material com relação à direção da faca. Partículas que rolam deixam o disco com velocidade e ângulo máximo, enquanto partículas que apenas deslizam deixam o disco com o ângulo e velocidade mínimas.

INNS & REECE (1962) estudaram o movimento de partículas esféricas alimentadas verticalmente em um disco horizontal montado com facas retas e radiais. Foi realizada a alimentação do material longe do centro do disco. Utilizaram-se esferas de aço. Os ângulos de saída foram medidos diretamente através de fotografia com tempo de exposição longo e no período noturno, para evitar efeitos indesejáveis de iluminação.

Foi obtida boa correlação da teoria com os dados experimentais no caso de partículas esféricas, mas com dificuldades para partículas de formato irregular. Após o impacto na alimentação, as partículas assumem uma direção de saída randômica.

No caso estudado, com esferas de aço, o coeficiente de restituição de velocidade entre material e a faca do rotor apresenta valor considerável. No caso de resíduos orgânicos picados, o coeficiente de restituição deverá ser desprezível, esperando-se, portanto, que o deslocamento do material acompanhe o perfil da faca.

BILANSKI et alli (1962) desenvolveram um método preciso para determinação da velocidade terminal para sementes em queda livre, em ar parado. O número de Reynolds para esse tipo de partícula foi determinado baseado na maneira em que as sementes caem. Com a medição da área frontal da partícula e a determinação prévia da velocidade terminal, o coeficiente de arrasto foi calculado. As dimensões principais, a velocidade terminal, o coeficiente de arrasto para algumas sementes e uma esfera de plástico de 3/8" de diâmetro usada como referência foram apresentados.

O coeficiente de arrasto da partícula está estreitamente relacionado com as dimensões usadas para calcular a área frontal. Os autores afirmam que vários pesquisadores tem utilizado a área equivalente de uma elipse calculada com o maior e menor eixo das duas maiores dimensões da partícula. O número de Reynolds da partícula de forma irregular é incerto, porém, foi obtido utilizando-se a maior dimensão da seção transversal da partícula.

Existe dificuldade de utilização do método, embora ele seja preciso, para medição de partículas em batelada. Os autores sugerem o uso de um túnel de vento vertical com turbulência controlada e que não irá restringir as medições com partículas individuais.

MENNELL & REECE (1963) trabalharam com trajetórias de partículas de fertilizantes lançadas no ar por

distribuidores centrífugos. O fluxo de ar em torno dessas partículas é normalmente turbulento.

Foi apresentado o relacionamento do coeficiente de arrasto para partículas esféricas e irregulares com o número de Reynolds.

Devido à dificuldade de resolução das equações diferenciais de equilíbrio da partícula juntamente com as forças de arrasto, um caminho adimensional foi proposto.

Com partículas irregulares, foi utilizada uma aproximação grosseira, onde o coeficiente de arrasto foi considerado igual a 1,2 e o diâmetro equivalente da partícula tomado da malha da peneira por onde ela passou.

Como o material apresentava variações na granulometria, tornou-se necessário separar o material pelo tamanho das partículas e cada faixa de diâmetro foi tratada independentemente. O efeito de cada faixa granulométrica deve ser sobreposto para se obter o efeito global.

Partículas finas, com diâmetros menores que 0,127 mm, estarão em regime de transição e apresentam um problema diferente e mais difícil de ser resolvido.

CUNNINGHAM (1963) realizou estudos do modelo de distribuição de três diferentes tipos de distribuidores centrífugos horizontais, usados com fertilizantes granulares. Foram analisados os tipos de alimentação e a variação da taxa de alimentação em relação à velocidade de avanço do caminhão. A resolução da equação diferencial de

movimento para facas retas inclinadas para frente forneceu a equação da velocidade da partícula relativa à lâmina em função do ângulo de rotação e a equação que relaciona o raio externo e o ângulo da partícula na ponta da faca com respeito ao raio. Também foram usadas essas equações para facas inclinadas para trás, mediante simples considerações de sinais.

Os coeficientes de arrasto das partículas dados para as velocidades e condições de fluxo envolvidas em distribuição de fertilizantes granulares foram essencialmente constantes, o que indica que a resistência do ar varia com o quadrado da velocidade. Existe a influência do número de Reynolds no coeficiente de arrasto.

Soluções aproximadas que regem o fenômeno das partículas na faca podem ser obtidas negligenciando-se o atrito entre a faca e o fertilizante. Assim, as equações conduzem a um modelo simplificado e conveniente para soluções rápidas de seno ou cosseno hiperbólico.

Fatores significativos, tais como tamanho de partículas, densidade e fatores de forma afetam consideravelmente o perfil de distribuição das partículas. As equações de trajetória completam um método racional do estudo de distribuição das partículas. Os coeficientes de variação foram calculados para cada perfil de distribuição das partículas.

Através de técnicas de fotografias de alta velocidade, foi verificada a aplicabilidade do modelo desenvolvido.

KIKER & ROSS (1966) fizeram uma análise teórica e prática do fluxo de partículas em queda livre dentro de um duto vertical. Os coeficientes de arrasto, neste caso, são diferentes daqueles obtidos para uma massa grande de ar parado pois, no duto, onde ocorre o deslocamento da massa de ar em regime turbulento, o coeficiente de arrasto depende da intensidade de turbulência relativa à superfície da partícula.

O atrito das partículas no duto e entre elas próprias pode ser desprezado. Valores de coeficiente de arrasto para partículas isoladas, caindo em ar parado, não podem ser usados na equação de movimento. No duto existe um número grande de partículas caindo em um volume confinado de ar, que se move em regime turbulento. Estas condições levam o coeficiente de arrasto a variar com ambos, o número de Reynolds da partícula e o grau de turbulência.

CUNNINGHAM & CHAO (1987) estudaram a distribuição de fertilizantes em distribuidores centrífugos horizontais de facas radiais e inclinadas. A direção da velocidade de saída dos fertilizantes granulares foi influenciada pela inclinação das facas. O coeficiente de atrito dinâmico do fertilizante com a lâmina teve um efeito significativo no movimento do fertilizante para todas as condições estudadas. As investigações mostraram correlações satisfatórias entre os resultados obtidos e a teoria proposta.

Os autores citam que os desenvolvimentos de RANEY apud

RICHEY (1961) para rotores elevadores de forragem podem ser aplicados para máquinas centrifugas e formam o rudimento da teoria desenvolvida por outros para distribuidores centrifugos.

Um computador analógico foi utilizado para realizar uma investigação teórica do desempenho de um perfil especial de faca composta, projetada para reduzir o efeito de impacto entre o fertilizante e a faca. Duas equações teóricas, relacionadas ao perfil de cada parte da faca, foram alimentadas e selecionadas eletronicamente para serem utilizadas dependendo da posição em que a partícula se encontra na faca.

REINTS JR & YOERGER (1967) analisaram as equações de trajetória de corpo livre baseadas nas leis de equilíbrio, que foram desenvolvidas para uma partícula esférica com deslocamento relativo a um meio parado. Foi considerado um coeficiente de arrasto variando em função do número de Reynolds. Realizou-se o ajuste de uma curva exponencial para reproduzir matematicamente a curva de coeficiente de arrasto em função do número de Reynolds. Equações diferenciais foram resolvidas por computador analógico. Foram obtidas as trajetórias das partículas, as curvas de variação da velocidade da partícula e do coeficiente de arrasto ao longo da trajetória, válidas para esferas, sementes e fertilizantes granulares.

O coeficiente de arrasto varia para números de Reynolds baixos e é razoavelmente constante para números

mais altos. A verificação experimental mostrou desvios das médias dentro de 10 % com a teoria. Porém, partículas menos esféricas, cristais com cantos não arredondados, mostraram pouca correlação com o número de Reynolds, já que ficaram com desvios em torno de 40 %.

A análise do coeficiente de arrasto não considerou o efeito de várias partículas em movimento ao mesmo tempo, como acontece no caso prático, podendo alterá-lo.

Verificou-se que existe um ângulo de alcance máximo diferente de 45 graus, entre 30 e 45 graus, devido ao efeito da resistência do ar. As equações utilizadas eram válidas para partículas próximas a esferas, como soja e fertilizantes granulares.

REED & WACKER (1970) avaliaram o perfil de distribuição de distribuidores de fertilizantes de dois discos, convencionais. As medidas foram realizadas com o trator, os distribuidores estacionários e o conjunto de bandejas com receptores móveis tracionados por um guincho elétrico. O perfil de distribuição e coeficientes de variação foram obtidos experimentalmente. Ocorreu pouco erro medindo-se o volume de cada bandeja e usando-se a densidade aparente em vez de se realizar a pesagem, que é mais trabalhosa.

DAVIS & RICE (1974) realizaram a simulação de um distribuidor centrífugo para distribuição de fertilizantes usando a linguagem de simulação matemática CSMP. As

equações de descrição dos fenômenos foram obtidas de outros trabalhos e resolvidas através da linguagem de simulação contínua. Essa linguagem possui rotinas próprias de integração e recursos de FORTRAN.

Alguns valores de coeficiente de resistência foram medidos experimentalmente. Os distribuidores centrífugos puderam ser razoavelmente simulados através do uso dos conceitos teóricos e das características aerodinâmicas determinadas experimentalmente.

BRINSFIELD & HUMMEL (1975) preocupados com a uniformidade de distribuição de fertilizantes lançados por distribuidores centrífugos horizontais, propuseram uma nova configuração de distribuidor horizontal que pudesse reduzir ou eliminar o impacto da partícula com a faca.

Equações matemáticas foram escritas para as partículas nos distribuidores centrífugos. Um computador analógico digital foi usado para resolver as equações. Os resultados indicam que ele pode ser usado para resolver equações em perfis de facas complexos. Um programa de computador foi escrito para se obter um perfil otimizado das facas.

A análise teórica indica que, se o coeficiente de atrito entre partícula e faca aumenta, a velocidade resultante diminui e o ângulo da partícula, desde a alimentação até sua liberação do rotor, aumenta. Medidas de velocidade da partícula e ângulo de saída foram feitas usando-se uma câmera de alta velocidade Fastax WF4.

BRAUNBECK & DALCOLMO (1981) determinaram experimentalmente os coeficientes de atrito interno e sobre superfícies para torta de filtro. As medidas foram realizadas através de um dispositivo acoplado ao equipamento de medição Instron Universal.

Foram determinados os coeficientes de atrito estático, cinético e interno. Foram relacionados os coeficientes de atrito da torta sobre superfícies de madeira, chapa galvanizada e chapa pintada, com variações de carga normal e de umidade da torta.

As cargas normais variaram de 10 a 90 g/cm<sup>2</sup>, a umidade de 75,85 até 21,60 % e a velocidade utilizada para a determinação do atrito cinético foi de 20 cm/min.

GALILI E SHTEINGAUZ (1982) desenvolveram um modelo matemático geral para a simulação do movimento de partículas em um distribuidor centrífugo. Surgiu a necessidade de se estudar a distribuição de materiais granulares devido à baixa uniformidade de distribuição obtida com distribuidores centrífugos convencionais do tipo horizontal. Foi estudado o comportamento do material em contato com a faca e sua trajetória no ar. A validade do modelo foi verificada experimentalmente. O modelo foi usado para o projeto de um distribuidor de fertilizantes granulares do tipo vertical.

No distribuidor do tipo vertical, que é mais recente, as facas giram em um plano vertical e o material adquire componentes vertical e horizontal de velocidade. Para

fertilizantes granulares, obtém-se um perfil de distribuição com maior alcance e uniformidade.

Este modelo físico-matemático, usado para o distribuidor vertical, pode ser adotado para o rotor distribuidor de resíduos orgânicos a partir do momento em que o material já estiver alimentado e em contato com a faca. A parte da trajetória no espaço leva em consideração a divisão granulométrica do material e o formato específico das partículas.

Foi verificado o comportamento para facas retas, circulares e espirais. Um programa de computação, através de resoluções numéricas das equações, foi feito para simular todo o sistema. Os dados de velocidade e ângulo de saída do material da faca foram usados como dados de entrada para o cálculo da trajetória no espaço. Foi assumido que a força de arrasto das partículas em ar parado é proporcional ao quadrado da velocidade.

PITT et alli (1982) analisaram o perfil de espalhamento de fertilizantes granulares produzidos por distribuidores centrífugos. Uma simulação estatística foi realizada para investigar o efeito da variabilidade do tamanho do fertilizante na composição do perfil de material arremessado no solo.

Equações aproximadas das trajetórias de partículas de fertilizante no espaço foram desenvolvidas e comparadas com as soluções numéricas de equações reportadas por MENNEL & REECE (1963), apresentando desvio menor que 7 % .

A simulação mostrou que a variabilidade do tamanho da partícula apresentava pouco efeito na forma do perfil do material disposto no solo, embora o tamanho médio da partícula fosse importante.

PONCE et alli (1983) estudaram amostras de bagaço de cana, visando obter dados de velocidades terminais, tempos de residência em correntes de ar, taxas de combustão e secagem, classificação pneumática, eficiência de ciclone e outras variáveis.

Nove amostras de 20 kg de bagaço inteiro de cana, obtidas de uma usina cubana, foram secas ao ar até atingir a umidade de equilíbrio (8 a 12 %) e classificadas em peneira vibratória de malha de 22,4 mm até 0,354 mm. Toda amostra retida pela peneira de 0,841 mm ou maiores foram quarteadas repetidamente para posterior sub-classificação manual. Cerca de 29 % do total de partículas, menores que 1 mm, não foram classificadas. A moenda da usina produzia partículas muito grandes em comparação com as condições brasileiras.

As partículas de bagaço puderam ser claramente identificadas como tendo forma prismática, retangular e com faces planas e paralelas.

As amostras foram sub-classificadas manualmente, distinguindo-se as partículas com alta relação entre o comprimento e a largura das com baixa relação.

As três dimensões lineares básicas foram medidas e obtidas juntamente com o desvio padrão, volume, área da

superfície, diâmetro equivalente, fator de forma e densidade das partículas. Os dados obtidos podem ser usados para projeto em transporte e classificação pneumáticos.

NEBRA (1985) utilizou-se de um capítulo do trabalho de tese para se referir à caracterização das propriedades geométricas das partículas de bagaço e à determinação da velocidade terminal e do coeficiente de arrasto.

Foi realizado um estudo experimental de tamanhos e formas das partículas de bagaço, assim como a determinação do coeficiente de arrasto em função do número de Reynolds. À propriedade determinada, relacionou-se o fenômeno físico correspondente. No caso da determinação do coeficiente de arrasto, a característica mais importante é a área projetada da partícula, perpendicular à corrente de ar principal.

Para que fosse possível peneirar a amostra inicial, a mesma foi seca e quarteada várias vezes. Por observação visual, pôde-se diferenciar o material em partículas tipo fibras e medula, e então foi realizado um estudo separado entre as tipo fibras e as tipo pó. O critério adotado de classificação das partículas de forma visual e com microscópio apresentou dificuldades para uma classificação precisa, principalmente para partículas pequenas e de baixa relação entre o comprimento e a largura. Partículas tipo fibras apresentavam efetivamente relação entre comprimento e largura, menor que 3:1 para malhas de

peneiras maiores; para malhas finas, relação de 6:1, com segurança na medição. Devido ao número de medições e à forma de classificação, as dimensões médias obtidas foram consideradas representativas e não médias estatísticas.

O artigo INDUSTRIAL cinematography... (1988) expõe as vantagens da filmagem de máquinas ou processos e posterior análise. Algumas vezes, a melhor forma de se analisar os problemas é através de filmagem em velocidade normal e realização da exibição do filme em velocidades bem mais baixas. Filmagens de alta velocidade fornecem uma visão dinâmica do fenômeno.

Pode-se usar filmadoras fotográficas de quadros de alta velocidade, desde 100 a 10.000 quadros por segundo. As imagens podem ser vistas a 1/400 vezes da velocidade de gravação. Porém, os quadros precisam ser processados posteriormente. Um novo sistema de vídeo, utilizando fitas de alta densidade magnética, pode gravar até 1.000 quadros por segundo, enquanto os convencionais estão em torno de 30. Porém, o custo desse equipamento e da fita é elevado, em contraste com o custo do sistema fotográfico.

## 4 FUNDAMENTOS TEÓRICOS

### 4.1 ALIMENTAÇÃO DO MATERIAL NA FACA

A alimentação de material para dentro das facas ocorre durante o percurso das mesmas entre a posição inferior, próxima ao solo, e a carenagem, conforme figura 4.1.

Existe o efeito do coeficiente de restituição do material, que choca-se com a faca ao ser cortado e alimentado. Este valor é baixo, menor que 0,1, segundo determinações preliminares (item 5.2.4). O tempo de permanência dentro da faca deve ser suficiente para evitar que ocorram afastamentos do material de sua superfície até o ponto de descarga. Para efeito de trajetória, considerou-se, portanto, o material em contato com a faca.

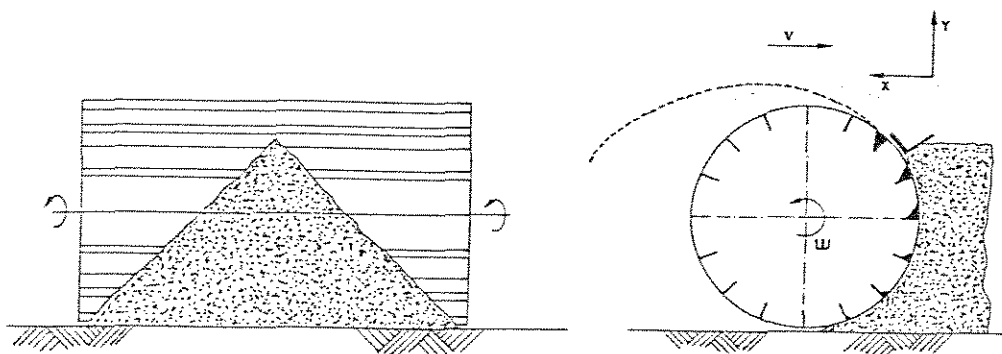


FIGURA 4.1 - Rotor operando em resíduo orgânico.

#### 4.2 MATERIAL EM CONTATO COM A FACA

As equações 4.1, que regem o movimento do material em contato com a faca do rotor, foram baseadas na segunda lei de Newton. Para facilidade de estudo, foi utilizado um sistema de coordenadas girante com a faca, conforme figura

4.2.

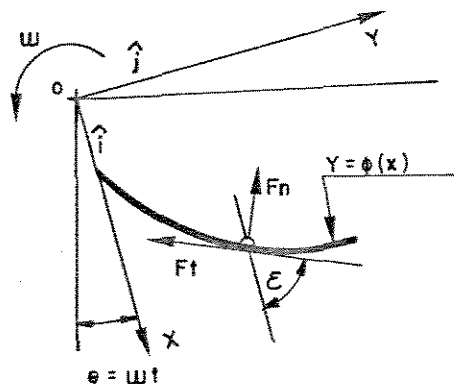


FIGURA 4.2 - Movimento da partícula sobre a faca, sistema de coordenadas retangular, GALILI & SHTEINGAUZ (1982).

$$\left\{ \begin{array}{l} m(\ddot{x} - 2\omega\dot{y} - \omega^2x) = -F_n \sin \epsilon - F_t \cos \epsilon \\ m(\ddot{y} + 2\omega\dot{x} - \omega^2y) = F_n \cos \epsilon - F_t \sin \epsilon \end{array} \right. \quad 4.1.a$$

$$\left\{ \begin{array}{l} m(\ddot{x} - 2\omega\dot{y} - \omega^2x) = -F_n \sin \epsilon - F_t \cos \epsilon \\ m(\ddot{y} + 2\omega\dot{x} - \omega^2y) = F_n \cos \epsilon - F_t \sin \epsilon \end{array} \right. \quad 4.1.b$$

onde:

$m$  - massa da partícula;

$F_n$  - força normal exercida na partícula pela faca;

$F_t$  - Força tangencial exercida na partícula pela faca;

$\epsilon$  - ângulo entre a tangente à faca e o eixo  $x$ .

Dividindo-se a equação 4.1.a pela 4.1.b e utilizando-se as equações 4.2 e 4.3,

$$F_t = \mu F_n \quad 4.2$$

$$y = \phi(x)$$

4.3

onde:

$\mu$  - coeficiente de atrito entre partícula e faca;

$y$  - perfil da faca;

e usando as equações 4.4 a 4.9,

$$\theta = \omega t$$

$$\tan \varepsilon = \frac{dy}{dx}$$

$$x = \omega \frac{dx}{d\theta}$$

$$x = \omega^2 \frac{d^2 x}{d\theta^2}$$

$$y = \omega \left[ \left( \frac{dy}{dx} \right) \left( \frac{dx}{d\theta} \right) \right]$$

$$y = \omega^2 \left[ \frac{d^2 y}{dx^2} \left( \frac{dx}{d\theta} \right)^2 + \frac{dy}{dx} \frac{d^2 x}{d\theta^2} \right]$$

atinge-se o equacionamento geral, equação 4.10:

$$\frac{d^2 x}{d\theta^2} \left[ 1 + \left( \frac{dy}{dx} \right)^2 \right] + \left( \frac{dx}{d\theta} \right)^2 \frac{d^2 y}{dx^2} \left( \mu + \frac{dy}{dx} \right)$$

$$+ 2 \mu \frac{dx}{d\theta} \left[ 1 + \left( \frac{dy}{dx} \right)^2 \right] + x \left[ \mu \frac{dy}{dx} - 1 \right]$$

$$- y \left[ \mu + \frac{dy}{dx} \right] = 0$$

4.10

onde:

$\theta$  - ângulo de rotação do impulsor;

$\omega$  - velocidade angular constante.

Esta equação pode ser resolvida numericamente ou

analiticamente quando a forma da faca  $y = \phi(x)$  e as condições iniciais, equações 4.11 e 4.12, são conhecidas.

$$x_i = R_i \quad 4.11$$

$$\frac{dx}{d\theta_i} = 0 \quad 4.12$$

para:

$$|\alpha_i| < \alpha_f$$

$$\alpha_f = \tan^{-1}\mu$$

$$v = \omega R_i$$

onde:

$R_i$  - raio inicial do material;

$\alpha_i$  - ângulo entre o vetor  $v$  e a força normal à faca;

$\alpha_f$  - ângulo de atrito.

Foi assumido que ocorre impacto plástico na alimentação e o ângulo máximo da faca é igual a  $\alpha_f$ . O coeficiente de restituição do choque do material na faca é desprezível.

#### 4.2.1 FACAS RETAS RADIAIS E INCLINADAS

Para o caso de faca inclinada, conforme figura 4.3,  $y = \phi(x) = kx - b$ , onde  $k$  e  $b$  são constantes.

Substituindo-se a relação acima e as condições iniciais, equações 4.11 e 4.12, na equação 4.10, obtemos:

$$\frac{d^2x}{d\theta^2} + 2\mu \frac{dx}{d\theta} - x = \frac{-b(k + \mu)}{(k^2 + 1)} \quad 4.13$$

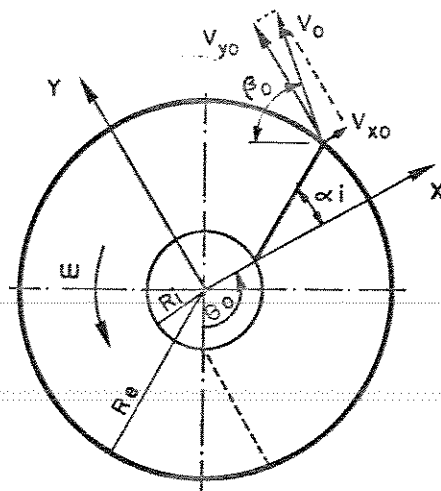


FIGURA 4.3 - Movimento da partícula em faca reta inclinada, GALILI & SHTEINGAUZ (1982).

A solução geral dessa equação é dada por:

$$x = B_1 e^{\lambda_1 \theta} + B_2 e^{\lambda_2 \theta} + \frac{b(c k + \mu)}{(c k^2 + 1)} \quad 4.14$$

onde:

$$\lambda_1 = -\mu + \sqrt{1 + \mu^2} \quad 4.15$$

$$\lambda_2 = -\mu - \sqrt{1 + \mu^2} \quad 4.16$$

$$B_1 = \frac{\left[ \left( \frac{dx}{d\theta_1} \right) - R_1 \lambda_2 \frac{1 - \mu k}{k^2 + 1} \right]}{2 \sqrt{1 + \mu^2}} \quad 4.17$$

$$B_2 = \frac{\left[ \left( \frac{dx}{d\theta_1} \right) - B_1 \lambda_1 \right]}{\lambda_2} \quad 4.18$$

para:

$$\left[ \begin{array}{l} \frac{dx}{d\theta_1} \\ \frac{dy}{d\theta_1} \end{array} \right] = 0,$$

$x_1 = R_1$ , (condições iniciais).

Transformando-se de acordo com as equações apresentadas de 4.6 a 4.9, obtemos os valores das componentes de velocidade da partícula  $v_{x0}$  e  $v_{y0}$ , a seguir:

$$\left\{ \begin{array}{l} v_{x0} = \omega \left[ \left( \frac{dx}{d\theta} \right)_0 - y_0 \right] \\ v_{y0} = \omega \left[ \left( \frac{dy}{d\theta} \right)_0 + x_0 \right] \end{array} \right. \quad 4.19$$

onde:

$v_{x0}$  = velocidade de saída em relação ao eixo de coordenadas girante x;

$v_{y0}$  = velocidade de saída em relação ao eixo de coordenadas girante y;

e,

$$\beta_0 = -\pi - \theta_0 - \tan^{-1} \left( \frac{v_{y0}}{v_{x0}} \right) \quad 4.20$$

onde  $v_{x0}$  e  $v_{y0}$  são obtidos com a ajuda das seguintes expressões:

$$x_0 = B_1 e^{\lambda_1 \theta_0} + B_2 e^{\lambda_2 \theta_0} + \frac{b(k + \mu)}{(k^2 + 1)} \quad 4.21$$

$$\left[ \begin{array}{l} \frac{dx_0}{d\theta_0} \\ \frac{dy_0}{d\theta_0} \end{array} \right]_0 = B_1 \lambda_1 e^{\lambda_1 \theta_0} + B_2 \lambda_2 e^{\lambda_2 \theta_0} \quad 4.22$$

$$y_0 = k x_0 - b \quad 4.23$$

$$\left( \frac{dy}{d\theta} \right)_o = k \left( \frac{dx}{d\theta} \right)_o \quad 4.24$$

onde:

$\theta_o$  - ângulo total de rotação da faca.

Para faca reta e radial,  $k = b = 0$ .

#### 4.3 TRAJETÓRIA DO MATERIAL NO AR

A trajetória de corpo livre do material é calculada tomando-se como condições iniciais o ângulo de saída  $\beta_o$ , com a horizontal e as componentes da velocidade de saída do material da faca  $v_{xo}$  e  $v_{yo}$ , formuladas no item anterior. O ângulo  $\theta_o$ , rodado até o ponto de saída do material, também é usado para localizar a faca e a partícula num mesmo sistema fixo de coordenadas cartesianas no momento de saída da partícula da faca.

As equações clássicas de movimento de uma partícula, considerando-se a força da gravidade e a resistência do ar, equação 4.25, são apresentadas a seguir, conforme figura 4.4.

$$\begin{cases} -F \cos \beta = m \ddot{x} \\ -m g - F \sin \beta = m \ddot{y} \end{cases} \quad 4.25$$

A força de arrasto  $F$ , é uma função da velocidade relativa da partícula com o ar, descrita pela equação:

$$F = \frac{1}{2} C \rho A V^2 \quad 4.26$$

onde:

$C$  - coeficiente de arrasto;

$\rho$  - densidade do ar (pressão e temperatura);

$A$  - área frontal da partícula;

$V$  - velocidade relativa da partícula com o ar.

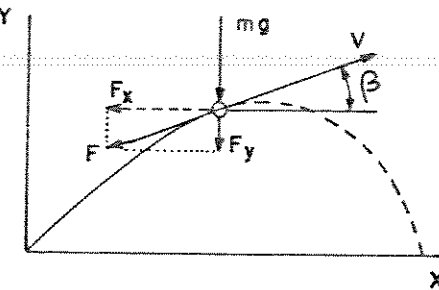


FIGURA 4.4 - Diagrama de corpo livre de partícula em queda livre, influenciada pela gravidade e a resistência do ar, REINTS & YOERGER (1967).

A área frontal da partícula precisa ser definida através de uma metodologia específica. Tem sido adotada a área frontal calculada através das maiores dimensões das partículas pela aproximação elipsoidal. Assim,

$$A = \frac{\pi}{4} l_1 l_2 \quad 4.27$$

onde:

$l_1$  e  $l_2$  - são as duas dimensões máximas da partícula, BILANSKI (1962).

Os valores de  $C$  dependem do fluxo de ar em torno da partícula. A natureza desse fluxo (laminar, transição ou turbulento) e a relação das forças de arrasto resultantes da inércia e viscosidade do fluido são descritas pelo número de Reynolds, dado por:

$$\text{Rey} = \frac{D \cdot V}{\nu}$$

4.28

onde:

D - diâmetro para partícula esférica; pode ser tomado como a maior dimensão quando a partícula é de forma irregular;

V - velocidade relativa da partícula com o ar;

$\nu$  - viscosidade cinemática do ar.

A relação entre o coeficiente de arrasto e o número de Reynolds para uma partícula esférica ou irregular, na faixa de Rey provável de ser encontrada na trajetória de fertilizantes no ar, é mostrada na figura 4.5.

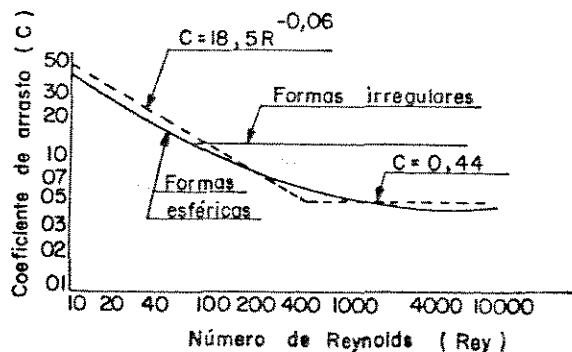


FIGURA 4.5 - Coeficientes de arrasto para partículas esféricas e de forma irregular, MENNEL & REECE (1963).

A relação entre C e Rey pode ser obtida para resíduos orgânicos picados se a sua textura for conhecida. Devem ser encontrados resultados semelhantes aos de fertilizantes, conforme figura 4.5, onde o C e o Rey podem ser relacionados por uma única equação ou por outra, onde os valores de C permanecem constantes numa faixa de Rey e na outra variam na forma de uma função conhecida.

A solução analítica da equação 4.25 torna-se inviável

quando tratada junto à equação 4.26.

Uma solução numérica, utilizando-se o programa de análise dinâmica pela solução de equações diferenciais CONTINUOUS system modeling program... (1983), torna-se bastante conveniente.

As relações auxiliares apresentadas a seguir, 4.29 e 4.30, completam o conjunto de equações necessárias à resolução numérica das equações anteriores.

A velocidade pode ser expressa em termos de seus componentes:

$$v = \sqrt{\dot{x}^2 + \dot{y}^2} \quad 4.29$$

O seno e o cosseno de  $\beta$  podem ser escritos em termos dos componentes de velocidade:

$$\left\{ \begin{array}{l} \sin \beta = \frac{\dot{y}}{\sqrt{\dot{x}^2 + \dot{y}^2}} \\ \cos \beta = \frac{\dot{x}}{\sqrt{\dot{x}^2 + \dot{y}^2}} \end{array} \right. \quad 4.30$$

A velocidade da partícula e as coordenadas espaciais podem então ser obtidas e plotadas para análise.

Devido à variação da granulometria dos resíduos orgânicos, torna-se necessário que se obtenha uma classificação do material por faixas de tamanho e suas respectivas propriedades físicas. Cada faixa de tamanho é resolvida através das equações anteriores, independentemente. Com a superposição dos resultados de cada faixa, chegamos à resolução completa do sistema.

#### 4.3.1 RELAÇÃO ENTRE COEFICIENTE DE ARRASTO E NÚMERO DE REYNOLDS

O coeficiente de arrasto  $C$  é determinado experimentalmente em função do número de Reynolds em um fluido infinito e sem circulação.

As forças de atrito na partícula são de dois tipos.

Para números de Reynolds baixos, a inércia do ar deslocado é negligenciável e o arrasto é devido somente ao cisalhamento viscoso. A força de arrasto é proporcional à velocidade.

Para números de Reynolds altos, o arrasto resulta da formação de turbulência. Enquanto a viscosidade do ar eventualmente absorve a energia dessas turbulências, seu efeito direto sobre o arrasto da partícula é negligenciável. A força de arrasto é proporcional ao quadrado da velocidade relativa, o que implica em um  $C$  constante.

Com o tabelamento dos valores de  $C$  e Rey correspondentes, obtidos experimentalmente, pode-se ajustar uma curva para o coeficiente de arrasto  $C$  da forma a seguir:

$$C = e^{(a \ln b V - c)^d} - f$$

4.31

para:

$$b = \frac{D}{\nu} ;$$

onde:

$a, b, c, d, f$  - constantes.

A determinação das constantes  $a, b, c, d, f$  para o

material lançado define uma equação para uma ampla faixa de Reynolds da curva do coeficiente de arrasto C, REINTS & YOERGER (1967). Para lançadores centrífugos trabalhando com sementes e fertilizantes granulares, o Rey está na faixa de 100 a 15.000.

Valores de C aproximadamente constantes podem também ser utilizados para cada faixa de interesse do Rey. Partículas esféricas e elipsoidais em regime turbulento, com Rey na faixa de 500 a 400.000, produzem C iguais a 0,44 e 0,40, respectivamente, GALILI & SHTEINGAUZ (1982). Em regime laminar, com valores de Rey < 1, embora de pouco interesse para a aplicação agrícola deste trabalho, pode-se adotar  $C = \frac{24}{Rey}$ . Em regime de transição, pode-se adotar  $C = 18,5 Rey^{-0,6}$ , MENNEL & REECE (1963).

#### 4.3.2 MEDIÇÃO DO COEFICIENTE DE ARRASTO

Através da trajetória em queda livre de uma partícula no ar parado, é possível determinar o valor de C através da curva de deslocamento e da velocidade terminal.

Segundo BILANSKI et alii (1962), através da equação de equilíbrio, temos:

$$m \ddot{x} + K \dot{x}^2 - m g = 0 \quad 4.32$$

comparando-se a força de arrasto,  $K \dot{x}^2$  nesta expressão, com a equação 4.26, obtemos:

$$K = \frac{1}{2} C A \rho \quad 4.33$$

$K$  é constante se a área frontal e o coeficiente de

arrasto permanecerem constantes. Se a velocidade inicial é considerada nula para  $x=0$  e  $t=0$ , então a integração da equação 4.32 produz:

$$x = \left[ \frac{v_t^2}{g} \right] \ln \cosh \left[ \frac{g}{v_t} \right] t \quad 4.34$$

que contém uma simples constante arbitrária, a velocidade terminal  $v_t$ . Por substituição, o valor de  $v_t$  é:

$$v_t = \left[ \frac{2 m g}{C A \rho} \right]^{\frac{1}{2}} \quad 4.35$$

Assim, o valor do coeficiente de arrasto pode ser calculado da velocidade terminal se a área frontal é conhecida.

Pode-se determinar a velocidade terminal em um túnel de vento vertical e usá-la na equação anterior.

#### 4.3.3 TRAJETÓRIA EM FUNÇÃO DA VELOCIDADE DE ARRASTO

A constante de arrasto  $K$  pode ser calculada diretamente do valor da velocidade terminal quando a granulometria e a área das partículas não são conhecidas.

Através da equação 4.32, quando a velocidade  $x$  atinge o valor de  $v_t$ , a aceleração  $\dot{x}$  é nula e o valor de  $K$  pode ser calculado conforme a equação 4.36.

$$K = \frac{m g}{v_t^2} \quad 4.36$$

A força de arrasto  $F$  é calculada da seguinte maneira:

$$F = \frac{m g}{v_t^2} \dot{x}^2 \quad 4.37$$

A substituição de  $F$  na equação 4.25, com a utilização das componentes de velocidade descritas na equação 4.30, produz a equação final de resolução da trajetória no ar, equação 4.38.

$$\left\{ \begin{array}{l} \ddot{x} = - \left[ \frac{g}{v_t^2} \right] \dot{x} \sqrt{\dot{x}^2 + \dot{y}^2} \\ \ddot{y} = - \left[ \frac{g}{v_t^2} \right] \dot{y} \sqrt{\dot{x}^2 + \dot{y}^2} - g \end{array} \right.$$

4.38

## 5 MATERIAL E MÉTODOS

### 5.1 MATERIAL

A fase experimental e o processamento de dados da pesquisa foram realizados utilizando o material relacionado a seguir:

#### 5.1.1 TORTA DE FILTRO ROTATIVO OLIVER

Torta fresca, 50 kg acondicionados em um saco plástico, provenientes da Usina São Martinho de Pradópolis em 11/05/89, e 100 kg acondicionados em dois sacos plásticos, provenientes da Usina Modelo de Piracicaba em 30/05/89, com umidades iniciais de 76,63 % e 81,75 %, respectivamente.

Torta fresca, 15 m<sup>3</sup> armazenados a céu aberto em leira de formato triangular de 4 m de largura por 2 m de altura, provenientes da Usina Modelo em 19/01/89.

A torta de filtro proveniente da Usina São Martinho foi utilizada integralmente em testes preliminares de ajuste e desenvolvimento do túnel vertical e do lançador de material.

#### 5.1.2 LABORATÓRIO

O Laboratório Central de Análises da Copersucar realizou as análises de umidade da torta, com secagem das amostras à temperatura de 105 °C, durante 3 h, segundo norma da International Comission for Uniform Methods of Sugar Analysis. A granulometria da torta foi obtida em um separador vibratório com peneiras ABNT EB-22 de malhas 14, 18, 20, 30, 45 e 60.

Balança semi-analítica Metler, modelo PE 3600, com escala de 0 a 3600 g e divisão de escala de 0,01 g; balança semi-analítica Metler, modelo PM 11, com escala de 0 a 11000 g e divisão de escala de 0,1 g.

Estufa com temperatura controlada a 70 °C, bandejas de alumínio e circulação interna de ar.

Barômetro de coluna de mercúrio Princo, com escala de 510 a 810 mmHg e termômetro para leitura de temperatura ambiente.

#### 5.1.3 GRAVAÇÃO E REPRODUÇÃO GRÁFICA DE DADOS

Filmadora de vídeo Sharp, modelo VC-C20UA, portátil, sistema de cor NTSC, para formato de fita VHS, largura 12,7 mm e velocidade de gravação de 33,55 mm/s, iluminação mínima de 10 LUX, lentes F 1,2.

Quadro de referência de papel com dimensões de 1 x 1,25 m, estruturado com barras de alumínio, de cor branca, com linhas quadriculadas de cor preta, espaçadas de 50 mm e realce com marcas mais grossas a cada 5 linhas.

Gravador de fita de vídeo Panasonic, modelo PV-4700, com 4 cabeças magnéticas, congelamento de imagem e avanço

quadro a quadro.

Televisor colorido Telefunken, tela de 508 mm.

#### 5.1.4 PROCESSADOR DE DADOS

Microcomputador Prológica, modelo Solution 16, capacidade de memória "RAM" de 512 kbytes, 16 bites, compatibilidade com PC da IBM.

Planilha eletrônica, SC4 da Computer Associates International, Inc, versão 1.10.

Pacote de análise de dados e ajuste de curvas, MSCHART da Microsoft Corporation, versão 3.0.

Pacote com linguagem de simulação contínua para resolução de equações diferenciais com saída gráfica, IBM system/370 vs-APL CSMP pgm.

Impressora Grafix modelo 80 F/T de 80 colunas.

#### 5.1.5 TÚNEL VERTICAL

O túnel vertical foi desenvolvido utilizando-se os componentes relacionados a seguir, conforme figura 5.1: .).

##### SOPRADOR

Soprador de ar Ibram, modelo CR-8, pressão de 24,5 kPa, vazão de  $2 \text{ m}^3/\text{min}$ , potência de 5,5 kW, tensão de alimentação de 220 V, corrente de 21 A, trifásico.

##### ANEMÔMETRO

Anemômetro Dwyer Instruments Inc., modelo 400-1325, formado por um tubo de Pitot de 8 mm de diâmetro externo e um manômetro de óleo, de coluna inclinada, com escala de 0 a 1,18 kPa.

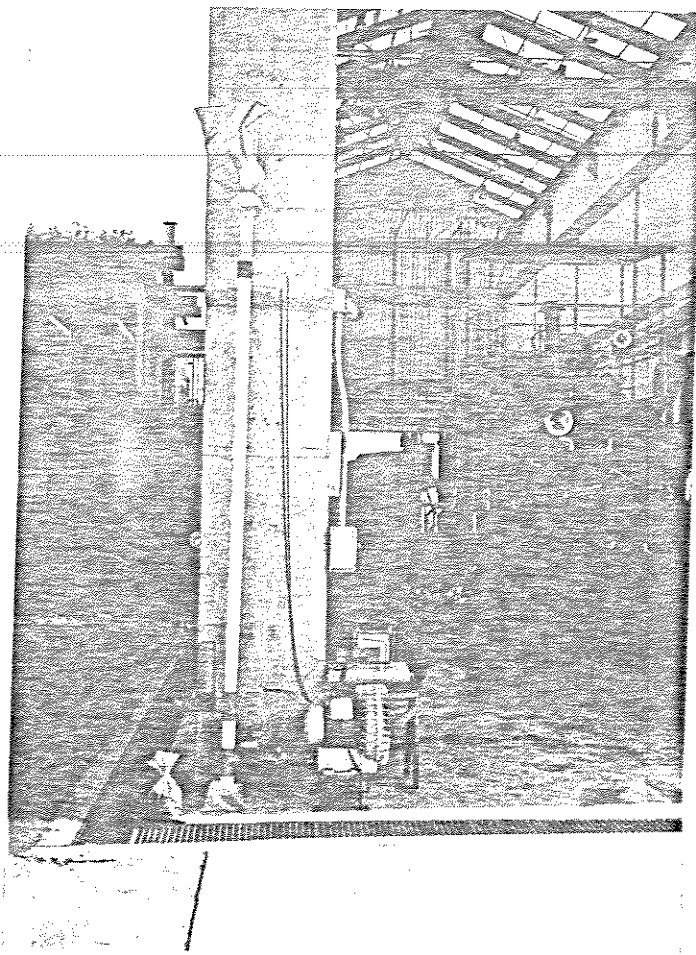


FIGURA 5.1 - Túnel vertical.

#### TERMÔMETRO

Termômetro digital portátil Brastermo, com haste de 6 mm de diâmetro externo, sensor de NiCr, escala de -70 a +199,9 °C, visor de 3 1/2 dígitos e precisão de 0,5 %.

#### ACESSÓRIOS

Tubulação de PVC de 71 mm de diâmetro interno.

Válvula de gaveta de 76 mm de diâmetro nominal, usada para ajuste da velocidade do ar.

Filtro de saída de ar, onde foi utilizado um saco de

tiras de plástico trançadas, do tipo normalmente usado para ensacamento de cereais.

Reservatório de coleta, constituído de um saco plástico impermeável e transparente com volume de 5 L.

Sacos plásticos de 1 e 5 L de volume, para acondicionamento de torta em estado original e torta classificada no túnel vertical.

Alimentador manual de material, formado por êmbolo de aço com manopla e reservatório com tampa, para admissão de torta de filtro.

O procedimento de desenvolvimento do túnel vertical é descrito a seguir:

Segundo o equacionamento teórico da trajetória de material granular no ar, REINTS & YOERGER (1967), equação 4.25, é necessário obter a força  $F$  de arrasto das partículas para que a equação diferencial possa ser resolvida numericamente.

Inicialmente, tentou-se obter a força de arrasto das partículas de torta, equação 4.26, através da determinação das suas dimensões externas máximas, usadas para o cálculo da área frontal, equação 4.27 e através da determinação do coeficiente de arrasto.

Segundo BILANSKI et alii (1962), pode-se calcular o valor do coeficiente de arrasto quando se conhece o valor da velocidade terminal das partículas, uma vez que sua área frontal seja conhecida.

Foi adotado procedimento similar ao utilizado por GALILI & SHTEINGAUZ (1982), ou seja, a determinação da

quantidade de material retido com relação à malha das peneiras utilizadas.

Amostras de torta de filtro fresca, com umidade de 76,63 %, não puderam ser classificadas nas peneiras devido à adesão entre partículas que resultaram em embuchamento das peneiras finas. Realizou-se a secagem do material

para posterior classificação. A torta seca se aglutinou formando partículas maiores, alterando visivelmente sua textura original. A desintegração manual dos torrões alterou essa textura, transformando-a em partículas mais finas que a torta original, o que também não permitiu a utilização do processo. A tabela 5.1 mostra a textura fina da torta da Usina Modelo, que foi secada e destorrcada manualmente.

Pode-se obter a força  $F$  de arrasto das partículas substituindo-se diretamente o valor da velocidade terminal nas equações de equilíbrio citadas.

Para a determinação experimental da velocidade terminal da torta, foram feitas tentativas preliminares de medições de trajetória da torta em queda livre.

Foram filmadas as trajetórias de queda de diversas quantidades de torta, 180, 360 e 540 cm<sup>3</sup> depositadas sobre uma chapa de aço. A torta foi abandonada em queda livre com velocidade inicial nula na direção vertical pela raspagem de outra chapa, perpendicular à anterior. O painel quadriculado de referência usado no lançador de material foi colocado na vertical, atrás do plano de queda do material. A filmadora de vídeo gravou a queda.

TABELA 5.1 - Classificação granulométrica de torta seca a peso constante (Usina Modelo).

Peneira ABNT	Abertura (mm)	Retido (%)
14	1,41	17,0
18	1,00	10,0
20	0,84	12,0
30	0,59	14,6
45	0,35	27,1
60	0,25	6,0
Fundo	-	13,3

Posteriormente, a fita foi reproduzida quadro a quadro, utilizando-se o recurso de congelamento de imagens do gravador de vídeo para que se anotassem as coordenadas verticais em relação ao quadro filmado, ou seja, em relação ao tempo de queda.

O método descrito anteriormente apresenta o inconveniente da filmadora poder gravar, com razoável nitidez, apenas imagens de materiais com velocidades menores que 5 m/s. Este fato limita a obtenção da velocidade terminal da torta, uma vez que ela pode ser superior a esse valor.

Em função das dificuldades observadas, optou-se pela construção de um túnel vertical, BILANSKI et alii (1962).

Para a determinação da velocidade terminal, algumas modificações foram feitas em relação ao modelo inicial, visando reduzir a temperatura do ar e para se obter suficiente material classificado, por faixas de velocidade terminal, para suprir as necessidades do lançador.

Uma abertura de ar foi colocada no sistema para que houvesse resfriamento do ar do soprador durante as leituras, sem precisar modificar o ajuste da válvula de controle de velocidade para realizar o abaixamento da temperatura. Tal fato era especialmente importante para baixas velocidades, onde a restrição da válvula de regulagem de velocidade era maior e a circulação de ar dentro do soprador era menor, gerando elevação da temperatura do ar da ordem de 10 °C.

### 5.1.6 LANÇADOR DE MATERIAL

O lançador foi desenvolvido utilizando-se os componentes relacionados a seguir, conforme figura 5.2:

Torno Nardini, modelo ND 250 BE, potência de 5,8 kW, tensão de alimentação de 220 V, corrente de 25 A, trifásico.

Faca de lançamento de torta construída com chapa de aço, largura de 210 mm e comprimento de 100 mm, montada com raio de cantoneiras de perfil laminado de 25,4 x 31 mm e ângulo regulável entre a faca e o raio através de parafuso e porca.

Carenagem externa móvel, de aço, com centro de giro no próprio centro de giro do torno.

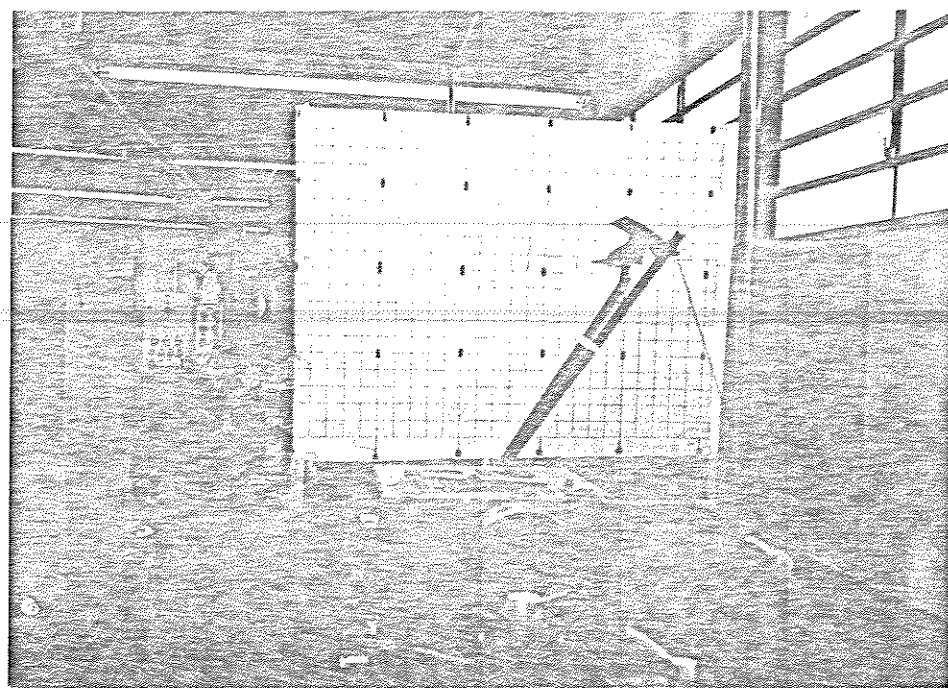


FIGURA 5.2 - Lançador de material.

Fita adesiva Scotch, 3M, largura de 19 mm, para união da faca de lançamento com a carenagem externa móvel.

O procedimento de desenvolvimento do lançador de material é descrito a seguir:

Inicialmente, a faca permanecia parada, com seu braço de sustentação formando ângulo acima da horizontal de cerca de  $30^\circ$  (menor que o ângulo de repouso da torta) para que o material pudesse ser alimentado sem desmoronar. A seguir, o torno era ligado e a trajetória da torta lançada no ar, filmada. O sistema apresentava, conforme esperado, variações de trajetória para diferentes ângulos de faca.

Porém, o sistema partia do repouso, sendo necessário pelo menos  $1/8$  de volta para atingir velocidade angular constante.

Com carenagem externa móvel, pode-se alimentar o material dentro da faca, com o seu braço posicionado a 60° abaixo da horizontal, sem ocorrer vazamento de material até a posição de lançamento, conforme figura 5.2. Isto proporciona tempo de aceleração suficiente para a faca atingir velocidade angular constante antes do lançamento.

A fita adesiva, utilizada como elemento para deslocar a carenagem junto com a faca até o ponto de lançamento, foi ajustada em diversos raios. Foi selecionado o raio em que a faca conseguia arrastar a carenagem sem se romper e, ao mesmo tempo, oferecia a menor resistência possível para ser rompida na posição de lançamento.

O lançador de material possuía o tubo central de transmissão de torque, do torno até o braço radial de sustentação da faca, construído em tubo de aço de 31 mm de diâmetro externo e parede fina. Esse elemento foi trocado por um elemento de aço maciço para evitar vibrações torcionais observadas durante o lançamento.

#### 5.1.7 MÓDULO DE CAMPO

Foi desenvolvido utilizando-se os componentes relacionados a seguir, conforme figura 5.3.

##### ROTOR

Rotor constituído por 16 facas retas, planas, radiais, com raio externo de 0,9 m, comprimento de 0,12 m e largura de 1,325 m. Suportado por uma estrutura acoplada a uma colhedora de cana-de-açúcar, modelo MF 201, ano de fabricação 1974. O acionamento do rotor foi realizado por

dois motores hidráulicos TRW, modelo MAB 24, alimentados pela bomba de engrenagens Vickers da colhedora, e transmissão de corrente com relação de transmissão de 1,76:1.

#### CARENAGEM

Construiu-se uma carenagem em chapa de aço faceando a

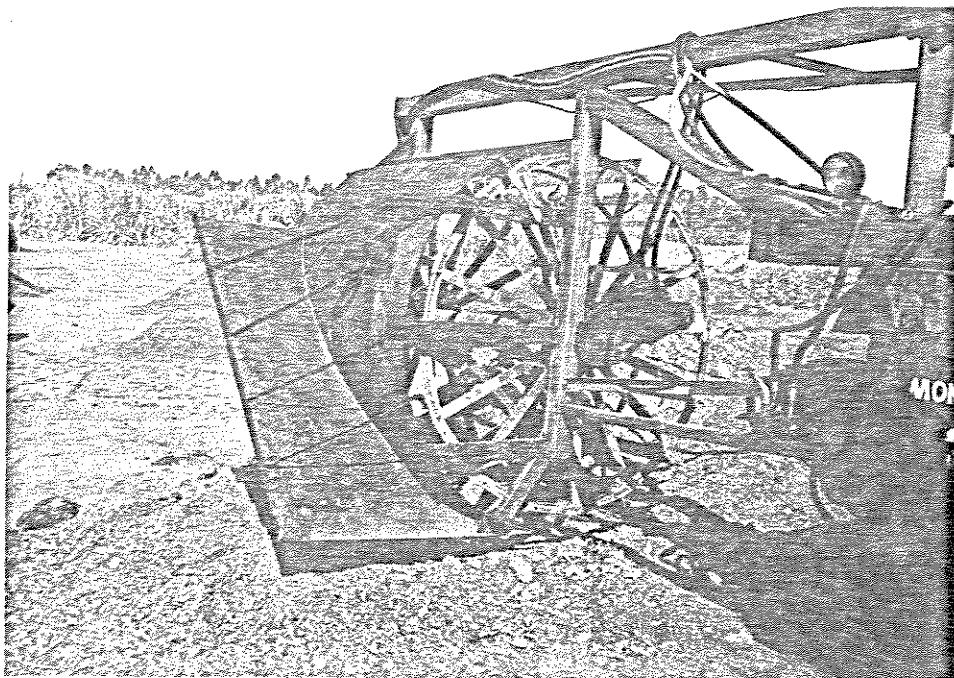


FIGURA 5.3 - Módulo de campo.

ponta das facas do rotor. O fim da carenagem determinava a posição do início do movimento relativo entre a torta e a faca, ou seja, o ponto de saída da torta de dentro da carenagem.

A carenagem, com raio de 0,91 m, abrange desde o ponto inferior do rotor, próximo do solo, até a posição de saída; forma um ângulo de 45° com a direção horizontal.

Na frente do rotor foi colocada uma extensão da

carenagem, construída em chapa de aço, para evitar o espalhamento da torta pelas laterais do rotor.

#### GUINCHO TRATOR

Uma corrente enrolada ao eixo principal de um implemento eliminador de soqueira, modelo Copersucar, montado em um trator Valmet 128 e acionado por um motor hidráulico TRW MAB 24, tracionou a colhedora MF 201, produzindo velocidade de avanço em torno de 260 m/h.

O procedimento de desenvolvimento do módulo de campo é descrito a seguir:

O rotor foi dimensionado para trabalhar com facas radiais, planas, com velocidade periférica de 5 m/s.

O primeiro teste de campo mostrou a potencialidade do equipamento em termos de capacidade operacional, trajetória e pulverização da torta, além da necessidade de se usar uma carenagem para definir o ponto de saída do material e, consequentemente, sua trajetória no ar. Sem carenagem metálica, o próprio monte de torta serve como guia e define o início do movimento do material em relação à faca e o ponto de saída para a trajetória no espaço.

Como o ângulo de saída era muito variável, às vezes o material era lançado com ângulo muito elevado em relação à horizontal, de forma que retornava à faca, sendo realimentado e lançado muito próximo ao rotor, justificando a presença da carenagem. Uma extensão da carenagem, localizada na dianteira do rotor, foi utilizada para que o monte não se espalhasse, ou seja, não fosse se abrindo à medida que o rotor avançava.

A colhedora, com sua transmissão hidrostática, constituída por motor e bomba de pistões axiais, conseguia se deslocar a velocidades de, no mínimo, 700 m/h. A potência disponível ao rotor não era suficiente para a elevada vazão de material que seria obtida com essa velocidade. O guincho trator movimentou o rotor com velocidade de aproximadamente 280 m/h, mais compatível com a potência disponível para o giro do mesmo.

## 5.2 MÉTODOS

### 5.2.1 DIVISÃO DA TORTA EM SUB-AMOSTRAS

Da torta proveniente da Usina Modelo, foram retiradas 4 sub-amostras; a primeira, com aproximadamente 5 kg, foi acondicionada em sacos plásticos para posterior utilização no lançamento de material.

A segunda e terceira sub-amostras, com aproximadamente 5 kg cada, foram secadas em estufa à temperatura de 70°C (para evitar combustão da matéria orgânica) até atingirem as umididades desejadas para os testes. Uma parte foi utilizada no lançamento de material e outra na classificação de velocidade terminal no túnel vertical.

A quarta sub-amostra, com aproximadamente 15 kg, foi utilizada para classificação por velocidade terminal no túnel vertical. As frações classificadas foram utilizadas para o lançamento de material.

O número que identifica as sub-amostras corresponde ao seu teor de umidade. A tabela 5.2 refere-se à

identificação das sub-amostras. ....

TABELA 5.2 - Identificação e umidade das sub-amostras de torta de filtro.

Sub-amostra	Umidade medida	Umidade média	Utilização	
	(% B. U.)	(% B. U.)	Túnel	Lançador
U81	80,90			
	80,87	80,94	-	L
	81,06			
U68	67,47			
	68,64	67,79	T	L
	67,25			
U44	43,09			
	45,25	44,05	T	L
	43,82			
U82	81,75	81,75	T	L

- não realizada  
 T utilizada no túnel vertical  
 L utilizada no lançador de material  
 B. U. base úmida

### 5.2.2 DENSIDADE

Determinou-se a densidade aparente das sub-amostras através da pesagem de um volume de torta de 356 cm<sup>3</sup>, depositada em recipiente plástico, sem introdução de pressão externa. Utilizou-se a balança semi-analítica PE 3600 para a realização das pesagens. Foram feitas 3 repetições para cada medida de densidade. Os resultados são apresentados na tabela 5.3.

TABELA 5.3 - Densidade aparente das sub-amostras de torta de filtro.

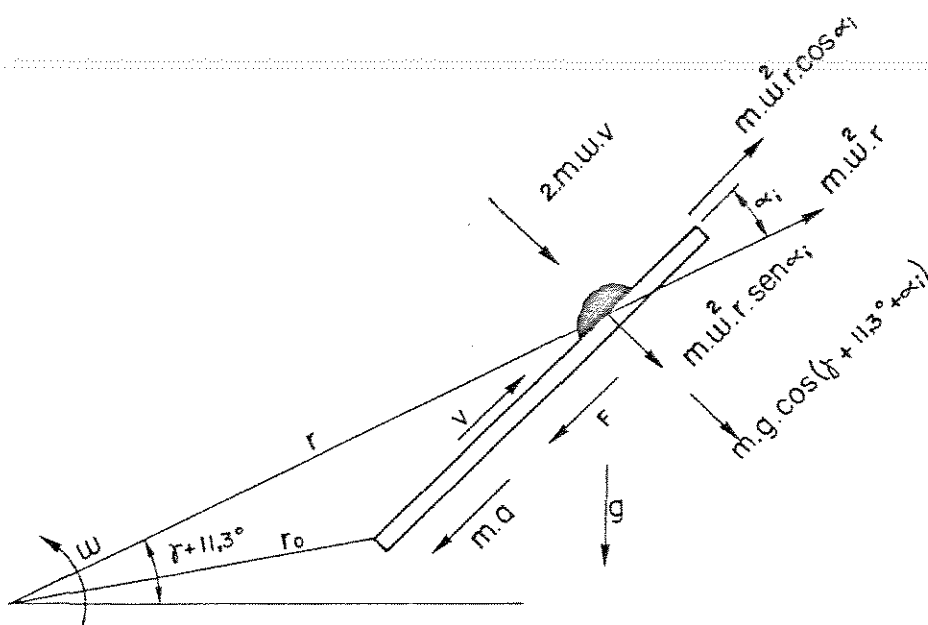
Sub-amostra	Densidade medida (g/cm <sup>3</sup> )	Densidade média (g/cm <sup>3</sup> )
U81	0,419	0,425
	0,422	
	0,433	
U68	0,298	0,308
	0,324	
	0,302	
U44	0,187	0,192
	0,196	
	0,193	
U82	0,482	0,475
	0,455	
	0,487	

### 5.2.3 COEFICIENTE DE ATRITO

Obteve-se o coeficiente de atrito cinético entre a torta e a chapa de aço por interpolação das medições realizadas por BRAUNBECK & DALCOLMO (1981). Para tal, estimou-se a magnitude da carga normal sobre a torta e utilizaram-se os valores de teor de umidade medido das sub-amostras para entrar na tabela de coeficiente de atrito cinético de torta em chapa de aço galvanizada, contida na bibliografia citada.

A magnitude da carga normal entre a torta e a faca depende do peso de torta normal à faca, do ângulo de inclinação da faca e da aceleração de Coriolis. A figura

5.4, análoga à apresentada por CUNNINGHAM (1963) para mostrar um diagrama de forças de fertilizantes granulares sobre facas retas inclinadas, mostra as forças normais à faca, responsáveis pela ação do coeficiente de atrito.



$$F_n = m g \cos (\gamma + 11,3^\circ + \alpha_i) + 2 m \omega V + m \omega^2 r \sin (\alpha_i)$$

FIGURA 5.4 - Diagrama de forças da torta na faca.

Alimentaram-se 356 cm<sup>3</sup> da sub-amostra U81 no lançador de material ajustado com faca radial e realizou-se a leitura da quantidade de quadros, rodada até o centro de massa da torta sair da faca, após a liberação da carenagem externa. Foram percorridos 5 quadros, ou seja, 0,25 m, o que equivale ao ângulo de 0,278 rad (15,9°) e um tempo de 0,05 s com a velocidade angular de 5,236 rad/s.

A distância percorrida pelo centro de massa da torta até sair da faca foi lida diretamente do quadro de

referência, figura 5.2, através do congelamento da imagem do lançamento no gravador de vídeo. Verificou-se que o centro de massa do material encontra-se a 1/2 quadro (2,5 cm) da extremidade da faca, com raio inicial de 0,875 m. Observou-se, também pela imagem, que a área de torta em contato com a faca é aproximadamente igual à área da torta em contato com a carenagem.

Calculou-se, portanto, a velocidade média aproximada de deslizamento da torta sobre a superfície da faca e obteve-se o valor de 0,5 m/s. A parcela relativa à força de Coriolis foi, portanto, de 0,791 N, com peso equivalente a uma massa de 81 g.

Como o volume de torta alimentado permanece constante e a largura da faca é de 21 cm, conclui-se que a largura de contato da torta com a faca é de 5,8 cm, o que produz uma pressão normal devida a Coriolis de  $0,7 \text{ g/cm}^2$ .

A outra parcela da força, devido ao efeito da aceleração centrífuga, não contribui com a carga normal para as faces radiais, pois não há reação da faca, ou seja  $\sin(\alpha_f)$  é igual a zero. Porém, para facas com inclinação positiva essa componente ocorre e foi avaliada para a faca com ângulo de inclinação de  $28^\circ$ .

Como avaliou-se a ordem de grandeza das forças envolvidas, utilizou-se o raio inicial e a área de contato igual ao da faca radial para se avaliar a pressão normal relativa à força centrífuga. Obteve-se uma força de 1,588 N, equivalente ao peso de uma massa de 162 g, e uma pressão normal de  $1,3 \text{ g/cm}^2$ .

O valor do ângulo ( $\gamma + 11,3^\circ$ ) foi avaliado em  $58^\circ$ . Assim, devido ao peso do material, a carga normal é de 1,484 N, equivalente ao peso de uma massa de 151 g, e uma pressão normal de  $0,7 \text{ g/cm}^2$  (faca radial).

Como a tabela para a seleção do coeficiente de atrito apresentada por BRAUNBECK & DALCOLMO (1981) possuía pressões normais de 10, 50 e 90  $\text{g/cm}^2$  e os valores para outros ângulos de faca e outras umidades de torta apresentaram pressões ainda menores, selecionou-se o coeficiente de atrito correspondente à pressão mais próxima, ou seja,  $10 \text{ g/cm}^2$ .

Com esse valor de pressão normal e as umidades medidas das sub-amostras obteve-se a tabela 5.4 para os coeficientes de atrito adotados.

#### 5.2.4 COEFICIENTE DE RESTITUIÇÃO

Obteve-se inicialmente a magnitude do coeficiente de restituição da torta de filtro no piso de cimento do laboratório, através do método padrão da medição da altura de retorno do material abandonado em queda livre. Realizou-se a filmagem e posterior leitura da altura de queda e de retorno com a torta sendo abandonada à frente do painel quadriculado de referência. Os dados indicaram um coeficiente para a amostra U81 da ordem de 5 %, onde a altura da queda foi de 1,25 m.

Segundo INNS & REECE (1962), esferas de aço projetadas sobre blocos sólidos de alumínio atingiram altura de retorno maior do que quando projetadas sobre facas de

TABELA 5.4 - Coeficientes de atrito cinético utilizados.

Umidade % B. U.	Coeficiente de atraito cinético da referência	Coeficiente de atraito cinético adotado
33,10	0,61	-
44,05	-	0,70
54,75	0,79	-
65,30	0,94	-
67,79	-	0,94
75,85	0,94	-
80,94	-	0,94
81,75	-	0,94

- não realizada

B. U. base úmida

alumínio de um rotor. O coeficiente de restituição não depende somente dos materiais usados, mas também das suas massas e rigidez relativas. Espera-se portanto, que o coeficiente de restituição da torta em facas de aço seja menor ou, ao menos, da ordem de 5 %, o que foi confirmado posteriormente. A torta de filtro foi abandonada em queda livre de uma altura aproximada de 1 m sobre a faca do rotor usado no módulo de campo. Como a altura de retorno foi pequena, produzindo um coeficiente menor que o 5 % citado, considerou-se o coeficiente de restituição da

torta com a faca de aço do rotor desprezível para os fins deste trabalho.

### 5.2.5 VELOCIDADE TERMINAL

A velocidade terminal da torta de filtro relativa ao ar foi determinada para as sub-amostras U68, U44 e U82 utilizando-se o túnel vertical. As diversas frações de torta foram separadas de acordo com sua velocidade de arrasto e pesadas posteriormente.

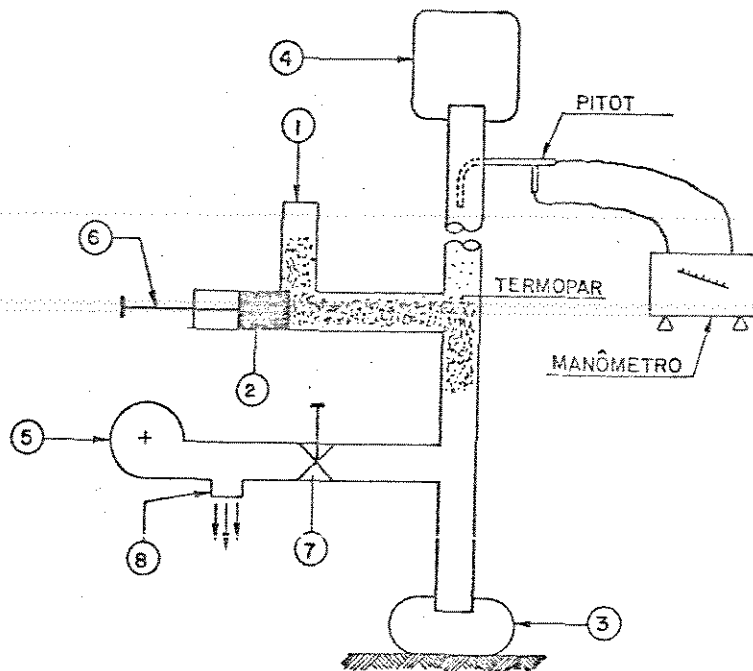
O processo de classificação das sub-amostras é descrito a seguir, com o auxílio de um esquema simplificado do túnel vertical com seus componentes, apresentado na figura 5.5.

#### a) Calibração.

Realizou-se inicialmente a calibração da válvula de regulagem da vazão de ar com o tubo de Pitot, localizado no centro da tubulação vertical do túnel. Para cada vazão de ar ajustada pela válvula, foi lida a velocidade correspondente no manômetro.

Foi feita uma marcação no corpo da válvula, correspondente a cada velocidade de ar, de modo que a mesma pudesse ser reproduzida posteriormente sem a presença do tubo de Pitot, pois, alimentando-se torta para classificação, o tubo de Pitot precisava ser retirado devido a problemas de obstrução em seus furos.

Mediu-se a pressão atmosférica e a temperatura do ar dentro do tubo para se realizar correções nas medições de densidade do ar e, consequentemente, das velocidades



onde:

- 1 - Reservatório de admissão
- 2 - Pistão de alimentação
- 3 - Reservatório de coleta
- 4 - Filtro de ar
- 5 - Soprador de ar
- 6 - Manopla de acionamento do pistão
- 7 - Válvula reguladora de vazão
- 8 - Saída para refrigeração

FIGURA 5.5 - Esquema simplificado do túnel vertical.

obtidas com o manômetro. Obteve-se a pressão atmosférica de 719 mmHg e a temperatura do ar foi lida para cada vazão ajustada. Tais correções foram realizadas utilizando-se as fórmulas dadas no Bulletin no H-11 da Dwyer Instruments, Inc.

Varreduras dos perfis de velocidade ao longo da seção transversal do tubo foram realizadas para obtenção da velocidade média. A posição do Pitot foi ajustada próxima

à parede, em posições intermediárias, passando pelo centro e indo até a parede oposta. Obtiveram-se, desta forma, os perfis de velocidade.

Verificou-se que o comprimento da tubulação de 50 diâmetros, segundo SPINK (1967), foi suficiente para localizar o tubo de Pitot de forma que os perfis de velocidade fossem razoavelmente simétricos e com pouca variação. Esses gráficos, para três faixas de velocidade abrangidas por este trabalho, são mostrados na figura 5.6.

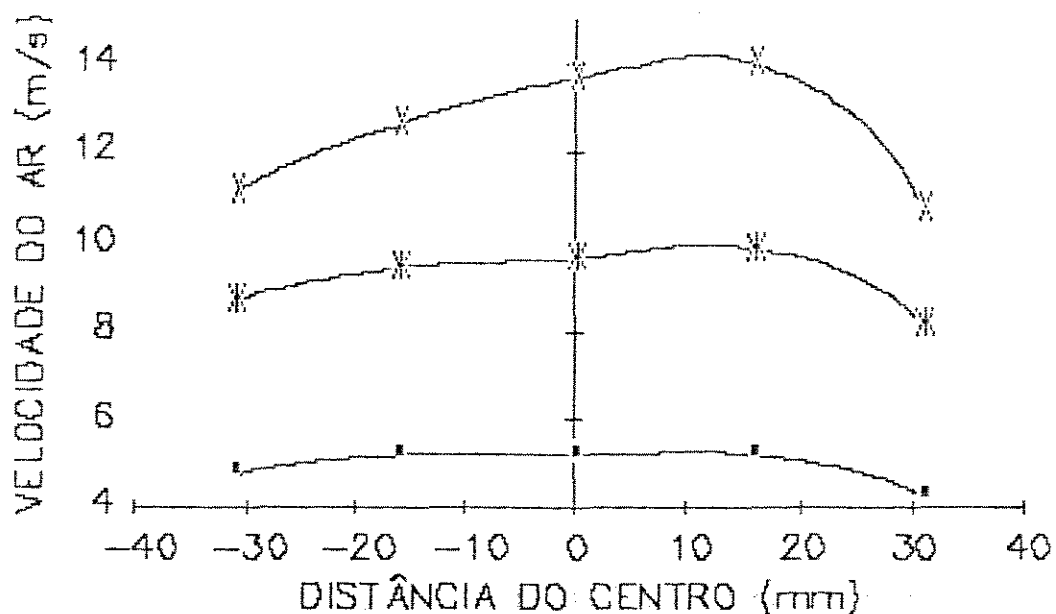


FIGURA 5.6 - Perfis de velocidade ao longo da seção do tubo.

O coeficiente de 0,9 foi adotado para se corrigir a velocidade lida no ponto central do tubo, visando obter a velocidade média do ar, conforme indicado no manual do fabricante do equipamento e observado nos gráficos.

A tabela 5.5 apresenta as velocidades médias medidas

para os seis pontos da calibração da válvula de regulagem de vazão, juntamente com os parâmetros intermediários utilizados para obtenção desses resultados.

TABELA 5.5 - Velocidade média do ar vs posição da válvula.

Posição da válvula	I	II	III	IV	V	VI
Pressão medida (mmH <sub>g</sub> O)	0,2	1,2	3,0	5,0	6,5	10,0
Temperatura (°C)	20,0	27,3	28,9	30,0	30,3	30,9
Densidade (kg/m <sup>3</sup> )	1,138	1,106	1,106	1,106	1,106	1,090
Velocidade no centro do tubo (m/s)	2,09	4,69	7,28	9,41	10,73	13,40
Velocidade média (m/s)	1,9	4,2	6,6	8,5	9,7	12,1

#### b) Classificação textural das sub-amostras.

Retirou-se o tubo de Pitot após a calibração e tampou-se o orifício de modo a mantê-lo sem reentrância ou saliência na superfície interna.

As sub-amostras a serem classificadas foram mantidas em sacos plásticos, próximas ao equipamento. Utilizou-se

uma quantidade maior de torta para a sub-amostra U82, pois suas frações classificadas também seriam utilizadas em lançamentos de material.

Ajustou-se a válvula de vazão para a posição I. Uma parte da sub-amostra U82 foi alimentada no reservatório de admissão até completar o seu volume, em torno de 3.000 cm<sup>3</sup>, com o pistão de alimentação na posição aberta.

A torta presente na parte inferior do reservatório de admissão foi empurrada pelo pistão para dentro da corrente de ar da tubulação vertical. O deslocamento do pistão foi lento, para se formar uma nuvem rala de torta dentro da tubulação.

Uma fração da torta com velocidade de arrasto menor ou igual a 1,9 m/s foi arrastada pela corrente de ar e retida pelo filtro de saída. O restante do material, com velocidade de arrasto maior que 1,9 m/s, caiu em direção contrária à corrente de ar e se depositou no reservatório de coleta.

Todo o material contido no reservatório de admissão foi processado através de sucessivos ciclos, como o já descrito.

A torta contida no saco plástico de espera foi alimentada novamente no reservatório até que se processasse toda a sub-amostra.

As frações de torta retidas no filtro de saída e no reservatório de coleta foram vedadas em sacos plásticos para posterior pesagem ou lançamento.

O mesmo processo de separação foi repetido para as

posições de II a VI da válvula.

Realizou-se procedimento idêntico para as sub-amostras U68 e U44. Todas as frações resultantes do processo de separação foram pesadas em seguida na balança semi-analítica PE 3600.

Durante todas as fases de separação, a temperatura do ar no interior da tubulação foi lida para correção de sua densidade.

Os pesos e percentagens das frações separadas no túnel com as correspondentes velocidades de ar adotadas são mostrados nas tabelas 5.6, 5.7 e 5.8, para as sub-amostras U82, U68 e U44, respectivamente.

TABELA 5.6 - Distribuição de massa da sub-amostra U82 obtida no túnel vertical.

Velocidade de arrasto (m/s)	Quantidade classificada (g)	% do total
$V_A < 4,2$	499,8	11,1
$4,2 \leq V_A < 6,6$	1762,5	39,2
$6,6 \leq V_A < 8,5$	1001,0	22,3
$8,5 \leq V_A < 9,7$	641,8	14,3
$9,7 \leq V_A < 12,1$	313,1	7,0
$12,1 \leq V_A$	279,6	6,2
Total	4497,8	100,1

TABELA 5.7 - Distribuição de massa da sub-amostra U68 obtida no túnel vertical.

Velocidade de arrasto (m/s)	Quantidade classificada (g)	% do total
$V_A < 1,9$	3,7	0,6
$1,9 \leq V_A < 4,2$	347,2	54,8
$4,2 \leq V_A < 6,6$	161,3	25,4
$6,6 \leq V_A < 8,5$	49,5	7,8
$8,5 \leq V_A < 9,7$	28,4	4,0
$9,7 \leq V_A$	46,7	7,4
Total	633,8	100,0

TABELA 5.8 - Distribuição de massa da sub-amostra U44 obtida no túnel vertical.

Velocidade de arrasto (m/s)	Quantidade classificada (g)	% do total
$V_A < 1,9$	23,6	10,3
$1,9 \leq V_A < 4,2$	142,3	62,0
$4,2 \leq V_A < 6,6$	43,7	19,0
$6,6 \leq V_A < 8,5$	15,9	6,9
$8,5 \leq V_A$	4,0	1,7
Total	229,5	99,9

Através das tabelas anteriores, calculou-se a velocidade de arrasto média, característica de cada sub-amostra classificada. Utilizou-se o valor de velocidade correspondente a 50 % da massa total de torta, obtida somando-se da menor para a maior velocidade de arrasto até atingir-se a quantidade citada. Assumiu-se uma distribuição linear dentro de cada faixa de velocidades. Realizando-se uma interpolação de valores, obteve-se o valor final da velocidade de arrasto, citado na tabela 5.9.

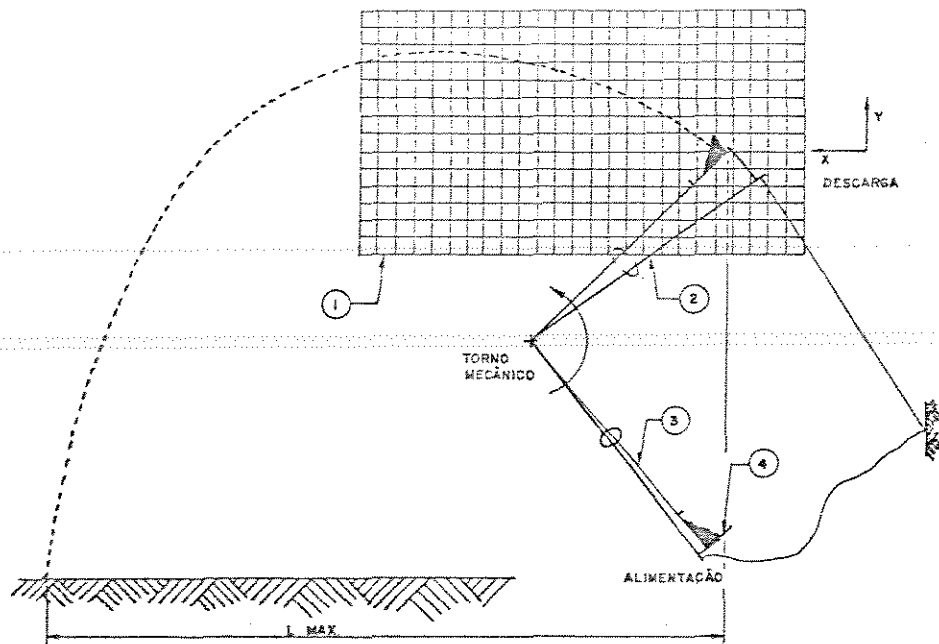
TABELA 5.9 - Velocidades de arrasto obtidas para as sub-amostras.

Sub-amostra	U82, U81	U68	U44
Velocidade de arrasto	(m/s)		
	6,6	4,0	3,4

O valor da velocidade de arrasto da sub-amostra U82 e U81 são os mesmos, pois elas são provenientes da mesma amostra inicial, porém a nomenclatura foi diferenciada por terem tratamento posterior à classificação diferenciado.

#### 5.2.6 REGISTRO DOS DADOS DE LANÇAMENTO

O teste de lançamento é ilustrado com o modelo simplificado da figura 5.7.



onde:

- 1 - Painel quadriculado de referência
- 2 - Braço de sustentação da carenagem
- 3 - Braço de sustentação da faca
- 4 - Carenagem

FIGURA 5.7 - Modelo simplificado do teste de lançamento de torta.

Trabalharam-se com diferentes ajustes do ângulo de faca. Fixaram-se 5 ângulos distintos entre a superfície da faca e o seu raio. Utilizaram-se gabaritos de ângulos para que as posições pudessem ser reproduzidas posteriormente. Mediram-se esse ângulo denominado de  $\alpha_R$ , o valor da distância  $n$  e do raio externo da faca  $R_e$ , conforme mostra a figura 5.8.

A tabela 5.10 apresenta os valores obtidos de  $n$  e  $R_e$ , relativos a cada ângulo  $\alpha_R$ , e a identificação

correspondente.

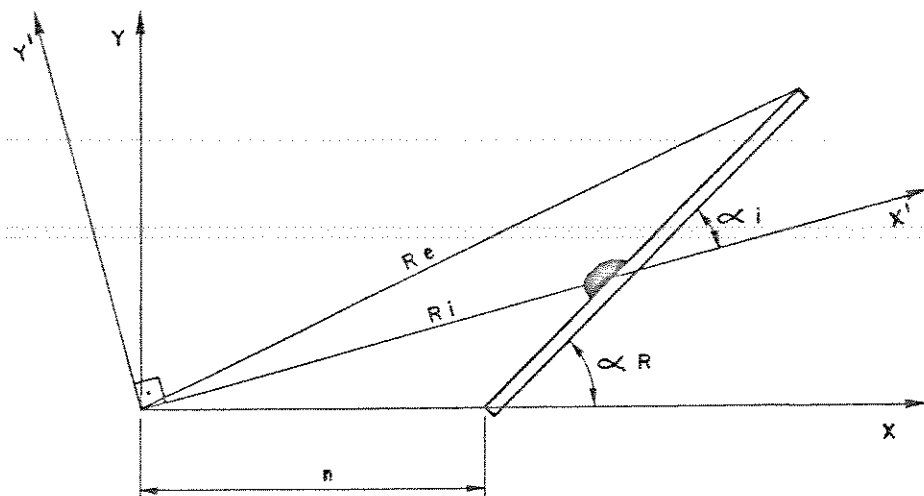


FIGURA 5.8 - Modelo genérico de faca com dimensões principais.

TABELA 5.10 - Posições da faca de lançamento.

Posição da faca	$\alpha_R$ (graus)	n (m)	$R_e$ (m)
A+28	27,9841	0,816	0,906
A+13	13,2882	0,810	0,908
A+00	0,0982	0,805	0,904
A-16	-16,0615	0,810	0,904
A-31	-30,7808	0,820	0,908

As sub-amostras U81, U68 e U44 foram lançadas em todas as posições de faca da tabela anterior. A amostra U82 usou

somente a posição A+00. O lançamento de cada sub-amostra foi repetido 3 vezes em cada posição angular.

A cada lançamento, depositou-se um volume definido de 356 cm<sup>3</sup> de torta sobre a faca, de forma a abranger toda sua superfície. Na posição inferior de alimentação, a faca permaneceu estática, formando um ângulo de aproximadamente 45° com a direção vertical.

Uma frequência angular de 50 min<sup>-1</sup>, correspondente a uma velocidade angular de 5,236 rad/s, foi selecionada no torno. O limitador de curso da carenagem constituiu-se de um cordão de nylon com uma extremidade fixa na própria carenagem e a outra fixa no piso do laboratório. Regulou-se a posição de descarga, de forma que o curso máximo da carenagem na posição superior formasse um ângulo de aproximadamente 45° entre o seu raio e a direção vertical.

O painel quadriculado de referência foi posicionado a 0,25 m do centro da faca de lançamento e um fio de prumo alinhou seus traços com a direção vertical. Uniu-se o braço de sustentação da faca e o da carenagem através da fita adesiva. A filmadora de vídeo foi posicionada a uma distância aproximada de 2,5 m da faca, no mesmo nível do centro do quadro de referência.

O motor do torno foi acionado e o conjunto faca, carenagem e torta partiu da posição inferior e se deslocou até a posição de descarga, chegando com velocidade constante. Nesse ponto o limitador de curso restringiu o movimento da carenagem, rompendo a fita adesiva.

Iniciou-se o deslizamento da torta sobre a faca até que todo o material fosse liberado, continuando sua trajetória no ar. Acionou-se instantaneamente o motor do torno em sentido contrário para frear o movimento da faca.

Registrhou-se a distância atingida pela torta sobre o piso em relação ao centro de rotação do torno, denominada de d. Referências foram previamente marcadas no piso com fita adesiva para facilitar a leitura.

#### 5.2.7 REPRODUÇÃO DOS DADOS DE LANÇAMENTO

As imagens dos testes, registradas em fita magnética, foram reproduzidas através do gravador de vídeo. O quadrante esquerdo inferior do quadro de referência foi utilizado para colocação de caracteres de identificação do ângulo da faca, da umidade da torta e da quantidade de repetições dos lançamentos.

As imagens foram avançadas quadro a quadro. Observou-se o esticamento do cordão de nylon, a parada instantânea da carenagem e o rompimento da fita adesiva. Congelou-se novamente a imagem no quadro em que a ponta da faca de lançamento atingiu a ponta da carenagem, ou seja, na posição do inicio da descarga, e calculou-se o ângulo  $\gamma$  formado entre a direção horizontal e o raio da cantoneira de sustentação da carenagem. Somando-se esse ângulo a um constante de  $11,3^\circ$  (próprio da geometria da carenagem), obtém-se o ângulo da carenagem na posição de descarga com relação à direção horizontal.

Contou-se o número de quadros existentes, nas direções

vertical e horizontal, entre a origem do sistema de referência do painel quadriculado e a ponta da faca, coincidente com a ponta da carenagem na posição de descarga. Estas coordenadas foram definidas como  $y_q$  e  $x_q$ , respectivamente.

A posição de início de descarga foi utilizada como o início da trajetória da torta, primeiramente dentro da faca e posteriormente no ar. Realizou-se a leitura das coordenadas  $x$  e  $y$  em relação ao sistema de referência do quadro guia. A seguir, avançou-se a imagem no monitor de vídeo em mais um quadro e realizou-se a leitura das coordenadas  $x$  e  $y$  da trajetória da torta. Assumiu-se o centro geométrico da torta vista na tela do vídeo como sendo seu centro de massa. O processo de avanço quadro a quadro e leitura das coordenadas foi repetido sucessivamente até a torta alcançar o final do painel quadriculado.

### 5.2.8 AJUSTE DA CURVA EXPERIMENTAL

Realizou-se a troca do sistema de coordenadas do quadro guia para um sistema de referência com ordenada e abscissa paralelas ao sistema anterior e com origem em seu ponto de início de descarga. Subtraíram-se respectivamente as constantes  $x_q$  e  $y_q$  das coordenadas  $x$  e  $y$  experimentais.

Multiplicaram-se as coordenadas  $x$  e  $y$  pela dimensão do quadriculado, 0,05 m, para se obterem as leituras em metros.

As 3 repetições realizadas para uma mesma condição de

lançamento não necessariamente deveriam gerar as mesmas coordenadas x no eixo das abscissas. A leitura das imagens depende da posição de congelamento das mesmas, não sendo possível selecionar imagens com valores de x especificados previamente. Realizou-se, para todos os lançamentos, um ajuste de curvas a cada condição de lançamento, contendo o conjunto de pontos de suas 3 repetições.

Através do ajuste polinomial do MSCHART, realizou-se um ajuste de quinto grau e obtiveram-se os coeficientes do polinômio e o coeficiente de correlação dos pontos em relação à curva ajustada. Digitaram-se no SC4 os coeficientes dos polinômios obtidos para se realizar posteriormente comparação entre os dados teóricos e experimentais.

### 5.2.9 CÁLCULO DA TRAJETÓRIA TEÓRICA

Dividiu-se o cálculo da trajetória do material em duas fases: dentro e fora da faca (no ar).

#### a) Dentro da faca

Utilizou-se a formulação teórica para facas retas radiais e inclinadas, descrita em 4.2.1, para resolução da trajetória dentro da faca.

Considerou-se como trajetória dentro da faca o deslocamento do centro de massa do material desde o início da descarga na carenagem, percorrendo a superfície da faca durante o ângulo  $\theta$  até alcançar o raio externo da faca. Nesse ponto, inicia-se a trajetória do material no ar, perdendo o contato com a faca. A figura 5.9 ilustra o

processo da trajetória do material dentro da faca.

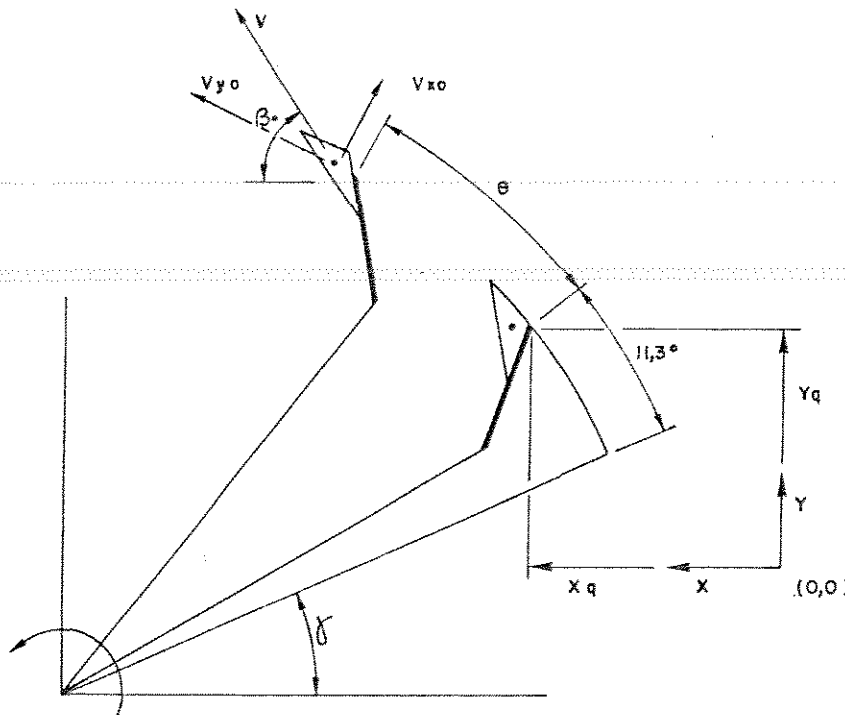


FIGURA 5.9 - Trajetória do material dentro da faca.

Utilizou-se um programa, desenvolvido em SC4, ANEXO A, empregando as equações de 4.2.1 para calcular o ângulo  $\theta$ , necessário para o material se deslocar da posição inicial até a posição de saída da faca. Realizaram-se algumas determinações complementares, utilizadas na condição inicial.

Na posição inicial, considerou-se o material na eminência de saída de dentro da carenagem. Portanto, não ocorre deslocamento relativo entre material e faca. Nesse ponto, consideraram-se apenas a força centrífuga e a gravitacional atuando no centro de massa do material. Não existe aceleração de Coriolis, pois o material não se desloca em relação à faca. Ela ocorre quando a massa está

deslizando sobre a faca durante o processo de descarga.

Assumi-se, portanto, como condição inicial, uma variação nula do deslocamento do material na direção da faca em relação ao ângulo de rotação, ou seja,  $dx/d\theta = 0$ .

Nessa mesma posição, determinou-se graficamente o raio inicial do material. A figura 5.9 ilustra o procedimento utilizado.

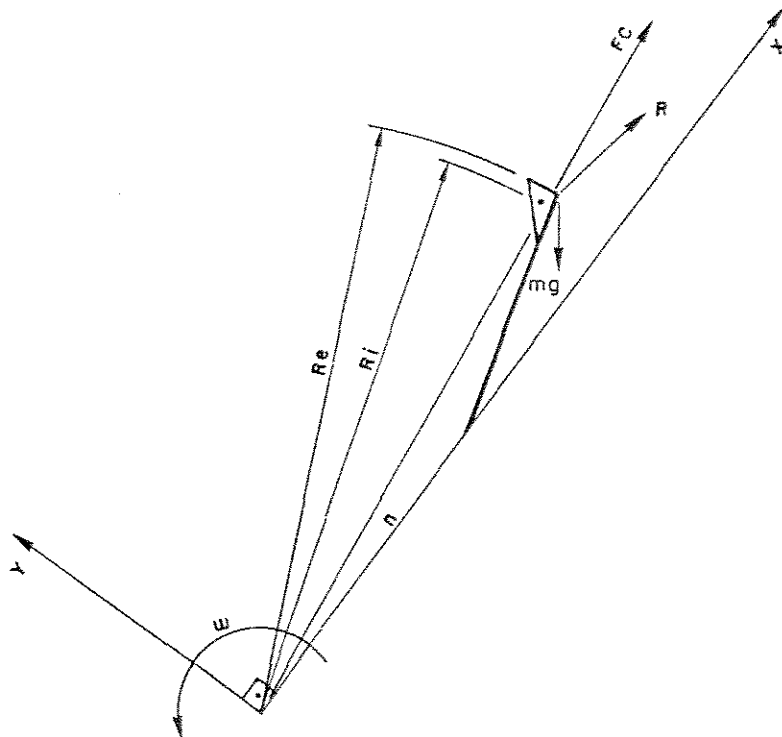


FIGURA 5.10 - Material na posição de inicio de descarga.

Determinaram-se a direção da resultante da força centrífuga e o peso do material. Tomou-se a perpendicular a essa direção e traçou-se a direção do perfil assumido pelo material, adicionando-se seu ângulo de atrito interno. Como o volume de material alimentado foi sempre constante,  $356 \text{ cm}^3$ , e a largura da faca é de 21 cm, a área da seção transversal resultava ser de  $16,95 \text{ cm}^2$ .

Traçaram-se várias paralelas à direção encontrada até se obter a área correspondente de  $16,95 \text{ cm}^2$ . Mediú-se então o raio inicial, correspondente ao centro geométrico do triângulo de material.

O equacionamento teórico considera o ângulo da faca em relação ao raio,  $\alpha_i$ , quando o material encontra-se no raio inicial. Os raios iniciais, obtidos graficamente, foram maiores que as distâncias  $n$ , fazendo com que o ângulos de faca medidos previamente precisassem ser corrigidos de acordo com o raio inicial. Assim, na posição inicial, tomaram-se o raio inicial e o ângulo da faca  $\alpha_i$  correspondente a essa posição. A figura 5.8 ilustra o material dentro da faca na posição inicial, com relação ao sistema de coordenadas anterior e o atual corrigido.

O ângulo inicial  $\alpha_i$  foi corrigido de acordo com a seguinte expressão:

$$\alpha_i = \operatorname{sen}^{-1} \left\{ \frac{n}{R_i} \operatorname{sen} \left[ 180^\circ - \alpha_R \right] \right\} \quad 5.1$$

As seguintes expressões também foram utilizadas para alimentar as condições de contorno no programa citado:

$$k = \tan \alpha_i \quad 5.2$$

$$b = k R_i \quad 5.3$$

As tabelas 5.11, 5.12 e 5.13 apresentam um resumo das condições iniciais dos lançamentos realizados.

A seguir, calculou-se o ângulo  $\theta$  iterativamente. Através do programa em SC4, acrescentaram-se à posição inicial do material incrementos angulares de  $0,1^\circ$  até o

TABELA 5.11 - Condições iniciais do material dentro da faca para sub-amostras U81 e U68.

Posição da faca	A+28	A+13	A+00	A-16	A-31
$n$ (cm)	0,816	0,810	0,805	0,810	0,820
$R_i$ (cm)	0,862	0,875	0,876	0,882	0,890
$R_e$ (cm)	0,906	0,908	0,904	0,904	0,908
$\alpha_R$ ( $^{\circ}$ )	27,98	13,29	0,10	-16,06	-30,78
$\alpha_i$ ( $^{\circ}$ )	26,37	12,28	0,09	-14,72	-28,13
$\gamma$ (U81) ( $^{\circ}$ )	46,4	47,7	46,2	47,3	47,3
$\gamma$ (U68) ( $^{\circ}$ )	47,7	47,3	47,7	47,3	47,3

TABELA 5.12 - Condições iniciais do material dentro da faca para sub-amostra U44.

Posição da faca	A+28	A+13	A+00	A-16	A-31
$n$ (cm)	0,816	0,810	0,805	0,810	0,820
$R_i$ (cm)	0,875	0,875	0,880	0,882	0,890
$R_e$ (cm)	0,906	0,908	0,904	0,904	0,908
$\alpha_R$ ( $^{\circ}$ )	27,98	13,29	0,10	-16,06	-30,78
$\alpha_i$ ( $^{\circ}$ )	26,95	12,28	0,09	-14,62	-28,13
$\gamma$ ( $^{\circ}$ )	50,8	50,7	50,0	48,0	50,2

TABELA 5.13 - Condições iniciais do material dentro da faca para sub-amostra U82.

Posição da faca	A+00	A+00
$v_t$	<4,2, 5,4, 7,6 e 9,1	10,9 e >12,1
$n$ (cm)	0,805	0,805
$R_i$ (cm)	0,876	0,876
$R_e$ (cm)	0,904	0,904
$\alpha_R$ ( $^{\circ}$ )	0,10	0,10
$\alpha_I$ ( $^{\circ}$ )	0,09	0,09
$\gamma$ ( $^{\circ}$ )	47,0	47,9

material alcançar o  $R_e$ . Adotou-se, então, este como sendo o ângulo  $\theta$  necessário.

Para esta posição de descarga, calcularam-se as coordenadas  $x_t$  e  $y_t$ , com relação ao sistema de coordenadas utilizado na gravação de imagens da fase experimental e mostrado na figura 5.9. As coordenadas  $x_t$  e  $y_t$ , com a direção de saída do material da faca em relação à horizontal  $\beta_0$  e a velocidade final de saída do material da faca  $V_0$ , foram utilizadas como condições iniciais da fase seguinte de trajetória do material no ar. Obtiveram-se estes parâmetros através das seguintes expressões:

$$x_t = x_q 0,05 + | \cos (\gamma + 11,3 + \theta) -$$

$$- \cos (\gamma + 11,3) | R_e \quad 5.4$$

$$y_t = y_q 0,05 + | (\sin \gamma + 11,3 + \theta) -$$

$$- \sin (\gamma + 11,3) | R_e \quad 5.5$$

$$\beta_o = \pi - \frac{(\gamma + 11,3)}{57,3} - \theta - \tan^{-1} \left( \frac{v_{yo}}{v_{xo}} \right) \quad 5.6$$

Obtiveram-se as velocidades  $v_{xo}$  e  $v_{yo}$  do programa desenvolvido. São as componentes de velocidade do material nas direções x e y respectivamente, tomadas em relação ao sistema de coordenadas girante com a faca, adotado em 4.2.1.

Calculou-se a velocidade de saída do material  $v_o$ , da seguinte forma:

$$v_o = \sqrt{x_o^2 + y_o^2} \quad 5.7$$

#### b) Fora da faca (no ar)

A trajetória do material no ar teve início no término da descarga do material dentro da faca. Utilizou-se, portanto, como condições iniciais, o ângulo  $\beta_o$  e a velocidade  $v_o$  para o cálculo da trajetória resultante de cada lançamento de torta.

A resolução das seguintes equações, deduzidas no item 4.3.3, regeu a trajetória do material no ar:

$$\ddot{x} = - \left[ \frac{g}{v_t^2} \right] \dot{x} \sqrt{\dot{x}^2 + \dot{y}^2} \quad 5.8$$

$$\ddot{y} = - \left[ \frac{g}{v_t^2} \right] \dot{y} \sqrt{\dot{x}^2 + \dot{y}^2} - g \quad 5.9$$

onde  $x$  e  $y$  são as coordenadas horizontal e vertical da trajetória do material.

Utilizou-se um programa com linguagem de simulação continua, denominado CSMP, desenvolvido pela IBM, para obter numericamente os valores de  $x$  e  $y$ . O diagrama de blocos do programa encontra-se no ANEXO B.

Utilizaram-se as velocidades terminais obtidas anteriormente da classificação das sub-amostras, e as coordenadas  $x_t$  e  $y_t$  para serem alimentadas como condições iniciais do referido programa. As velocidades iniciais nas direções horizontal e vertical foram obtidas através das seguintes expressões:

$$x_0 = v_0 \cos \beta_0 \quad 5.10$$

$$y_0 = v_0 \sin \beta_0 \quad 5.11$$

Resolveram-se as trajetórias das sub-amostras em combinação com as condições de lançamento e armazenaram-se os resultados em arquivos.

#### 5.2.10 COMPARATIVO ENTRE CURVA EXPERIMENTAL E TEÓRICA

Os resultados experimentais foram comparados com os teóricos gerados pelos programas do ANEXO A, referente ao material dentro da faca, e do ANEXO B, referente à

trajetória no ar. Utilizaram-se os coeficientes do ajuste polinomial, realizado com os pontos experimentais no MSCHART, para alimentar uma equação no SC4 utilizando o mesmo  $x$  teórico, porém com a ordenada calculada em função da equação gerada pelo ajuste.

Para cada coordenada  $x$  teórica existe um valor de  $y$  calculado com o CSMP e um valor correspondente, calculado com os coeficientes de ajuste dos dados experimentais. Dessa forma, conseguiram-se os valores teóricos e experimentais com a mesma abscissa  $x$ . Os valores de  $x$  teóricos dependem do incremento de tempo usado na resolução das equações diferenciais com o CSMP e os experimentais, do instante em que a filmadora registra as imagens de lançamento na fita magnética.

#### 5.2.11 MEDIDAÇĀO COM O MÓDULO DE CAMPO

O rotor de corte trabalhou em torta de filtro com 42 % de umidade média. Inicialmente, testou-se sem a carenagem externa e, posteriormente, com ela.

A velocidade de avanço do rotor tracionado pelo guincho foi sempre de 260 m/h e sua rotação de  $54 \text{ min}^{-1}$ , aferida com cronômetro e contagem de rotações. Filmaram-se todos os testes, inclusive o processo de descarga, para posterior congelamento de imagens e avaliação qualitativa.

Mediu-se a pressão do circuito hidráulico para avaliação de demanda de torque.

Testaram-se três ângulos distintos de carenagem externa com relação à horizontal, 45, 58 e  $71^\circ$ , para

avaliar o alcance máximo da trajetória de torta.

---

---

## 6. RESULTADOS E DISCUSSÕES

### 6.1 TRAJETÓRIA DE LANÇAMENTO

As coordenadas experimentais  $x$  e  $y$  dos lançamentos de torta com relação ao sistema de referência fixo com origem na saída da carenagem são apresentadas no ANEXO C. Os coeficientes dos polinômios de quinto grau referentes às curvas ajustadas aos pontos experimentais, e os respectivos coeficientes de correlação, denotados por  $R^2$ , também compõem o ANEXO C.

Os valores teóricos do ângulo  $\theta$  que o centro de massa do material percorre dentro da faca até atingir o ponto de descarga para o ar, os ângulos de lançamento com a direção horizontal  $\beta_0$ , as velocidades de lançamentos  $V_0$  e as coordenadas do ponto de inicio de descarga  $x_i$  e  $y_i$  em relação ao sistema de referência são apresentadas nas tabelas 6.1 a 6.4.

As coordenadas das curvas teóricas de trajetória de torta, calculadas utilizando-se as tabelas 6.1 a 6.4 como condições iniciais da trajetória no ar e as coordenadas das curvas experimentais estão contidas no ANEXO D. Cada valor de  $x$  apresenta os valores correspondentes de  $y$  teórico,  $y$  experimental calculado com a equação ajustada,

a diferença entre as coordenadas y dos valores experimentais e teóricos e as coordenadas do semi-círculo

TABELA 6.1 - Valores teóricos para a sub-amostra U81 no ponto de descarga.

Posição da faca	A+28	A+13	A+00	A-16	A-31
$\theta$ ( $^{\circ}$ )	32,3	19,9	15,6	12,6	11,2
$\beta_o$ ( $^{\circ}$ )	6,7	21,0	28,7	31,5	32,7
$V_o$ (m/s)	5,1	5,0	4,8	4,6	4,4
$x_t$ (m)	0,484	0,292	0,223	0,180	0,159
$y_t$ (m)	0,140	0,112	0,103	0,084	0,077

TABELA 6.2 - Valores teóricos para a sub-amostra U68 no ponto de descarga.

Posição da faca	A+28	A+13	A+00	A-16	A-31
$\theta$ ( $^{\circ}$ )	32,3	19,9	15,6	12,6	11,2
$\beta_o$ ( $^{\circ}$ )	5,4	21,4	27,2	31,5	32,7
$V_o$ (m/s)	5,1	5,0	4,8	4,6	4,4
$x_t$ (m)	0,487	0,291	0,226	0,180	0,159
$y_t$ (m)	0,129	0,114	0,097	0,084	0,077

TABELA 6.3 - Valores teóricos para a sub-amostra U44 no ponto de descarga.

Posição da faca	A+28	A+13	A+00	A-16	A-31
$\theta$ ( $^{\circ}$ )	22,6	18,7	14,1	10,7	11,6
$\beta_o$ ( $^{\circ}$ )	12,9	20,1	26,2	30,9	29,2
$v_o$ (m/s)	5,2	5,1	4,8	4,6	4,4
$x_t$ (m)	0,340	0,279	0,207	0,153	0,169
$y_t$ (m)	0,101	0,094	0,082	0,072	0,071

TABELA 6.4 - Valores teóricos para a sub-amostra U82 no ponto de descarga.

Posição da faca	A+00	A+00
$v_t$ (m/s)	<4,2; 5,4; 7,6 e 9,1	10,9 e >12,1
$\theta$ ( $^{\circ}$ )	15,6	15,6
$\beta_o$ ( $^{\circ}$ )	27,9	27,0
$v_o$ (m/s)	4,8	4,8
$x_t$ (m)	0,225	0,226
$y_t$ (m)	0,100	0,096

descrito pelo raio externo da faca. -.

A trajetória teórica dentro da faca, para efeito de comparação com a trajetória experimental medida com o quadro de referência, é considerada a mesma do círculo descrito pelo raio externo da faca pois, a dimensão de 5 cm do quadrículado de referência é maior que a distância percorrida pelo centro de massa do material dentro da faca até ser descarregado.

As figuras 6.1 a 6.21 apresentam as trajetórias de lançamento de todas as sub-amostras. Cada figura contém os pontos experimentais, a curva experimental ajustada, a curva teórica calculada e o semi-círculo descrito pela ponta da faca de lançamento. O semi-círculo foi calculado a partir do raio externo, das coordenadas  $x_t$  e  $y_t$ , e do ângulo  $\gamma$  formado pelo braço de sustentação da faca com a direção horizontal.

As figuras 6.22 a 6.25 apresentam as diferenças ocorridas entre as ordenadas das curvas teóricas e experimentais ajustadas para cada abscissa  $x$ . O máximo desvio ocorrido para todas as sub-amostras lançadas com ângulo de faca A+00 e com abscissas na faixa de 0 à 0,7 m foi inferior a um quadro de referência.

Para a faixa de  $x$  entre 0,7 e 1,0 m os desvios foram maiores para as sub-amostras com menores umidades. Nesta faixa, as curvas teóricas ficaram mais baixas que as experimentais.

Estes resultados indicam que a resistência do ar é inferior à considerada no equacionamento teórico da

trajetória. As constantes de arrasto teóricas, geradas a partir das velocidades terminais medidas no túnel vertical, foram maiores que as experimentais, ou seja, a velocidade terminal da "nuvem" de material lançada pela faca é superior à correspondente da "nuvem" em suspensão no túnel vertical. Este fato também ocorreu com umidades menores, nas sub-amostras U68 e U44. O agrupamento mais compacto (denso) de partículas, no caso de lançamento por facas, sofre menor resistência do ar que a distribuição bastante dispersa conseguida dentro do túnel.

Os resultados obtidos com as sub-amostras U82, lançadas por facas radiais, foram melhores com relação às outras sub-amostras. Provavelmente, devido à maior homogeneidade deste material que foi classificado no túnel vertical e a seu elevado teor de umidade. O maior teor de umidade aumenta a coesão do material, contribuindo para evitar a dispersão da "nuvem", aumentando sua velocidade terminal no túnel.

Ocorreu uma tendência de afastamento das curvas teóricas em relação às experimentais à medida que os ângulos de faca foram aumentados da posição A+00. Esta tendência ocorreu independentemente da umidade do material lançado. As facas ajustadas com A+28 sofreram o maior desvio, os quais diminuíram para as facas ajustadas com A+13.

As facas ajustadas com ângulos A-16 e A-31, de modo geral, apresentaram desvios razoavelmente pequenos. Ocorreu uma tendência de afastamento da curva experimental

em relação à teórica no início da trajetória, para abscissa na faixa de 0 a 0,2 m.

Na seção teórica, o material dentro da faca foi modelado como uma partícula de massa  $m$  sujeita à sua ação e com resistência do ar desprezada.

Observou-se das gravações preliminares de lançamento de torta em queda livre que sua área final, quando esta atinge a velocidade de 5 m/s, aumenta em cerca de 4 a 5 vezes em relação à posição inicial, com velocidade nula.

O efeito do atrito do ar na camada superficial da massa liberada faz com que sejam desagregadas partículas da superfície, pulverizando a massa. O efeito é similar ao provocado pelo pulverizador de líquidos.

Este fenômeno também foi observado no módulo de campo, de forma contínua.

Para ângulos de descarga  $\theta$  reduzidos, das posições A+00 a A-31, a torta, ao sair da faca, sofre o efeito da resistência do ar em todas as suas partículas quase que simultaneamente. Para ângulos maiores, A+13 e A+28, a descarga não pode ser considerada simultânea.

Para ângulos de descarga positivos, A+13 e A+31, a torta que sai inicialmente da faca, sofre imediatamente a resistência do ar (velocidade de 5 m/s), pulverizando-se e aumentando sua área. O material que continua se deslocando dentro da faca só irá sofrer este efeito posteriormente, no momento de sua descarga, ou seja, embora ainda exista uma parte de torta dentro da faca, a outra já foi descarregada. Quanto maior é o ângulo da faca, mais

pronunciado é este efeito.

Os desvios ocorrem pois as premissas teóricas de uma partícula de massa  $m$ , sofrendo simultânea e integralmente a sua ação e a não influência do ar na trajetória considerada como dentro da faca ocorrem apenas parcialmente. A elevação da altura da ordenada  $y$  média medida é devida ao espalhamento da torta que vai sendo lançada no ar enquanto a torta em contato com a faca não é alterada em relação ao teórico.

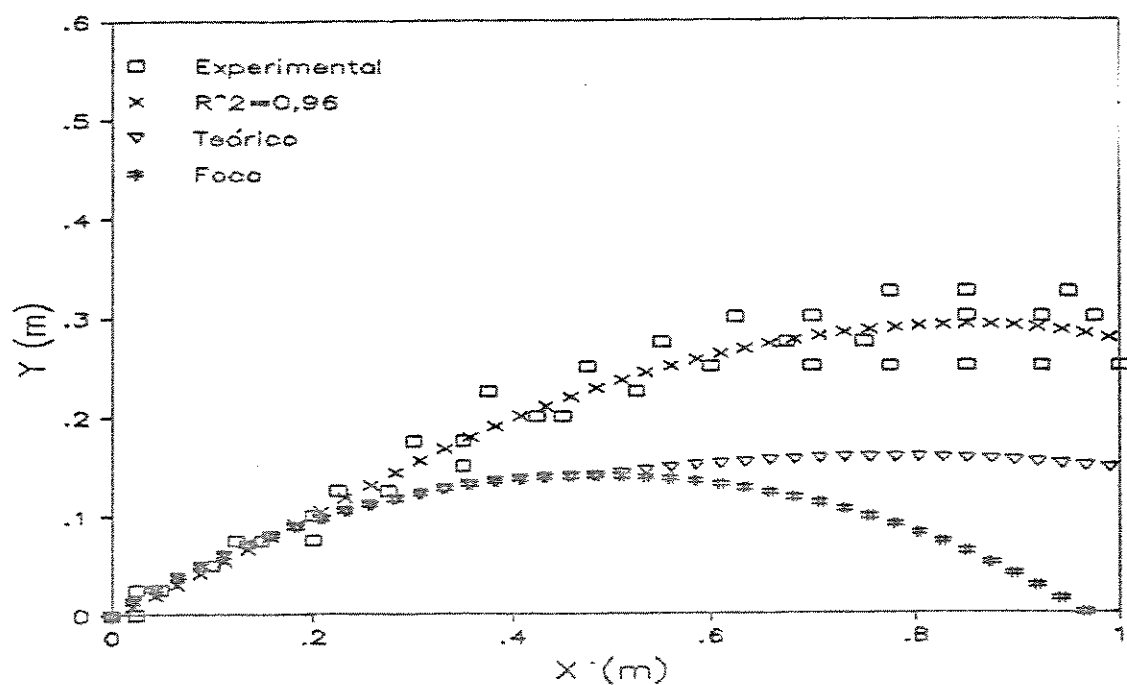


FIGURA 6.1 - Trajetórias de lançamento na condição U81A+28.

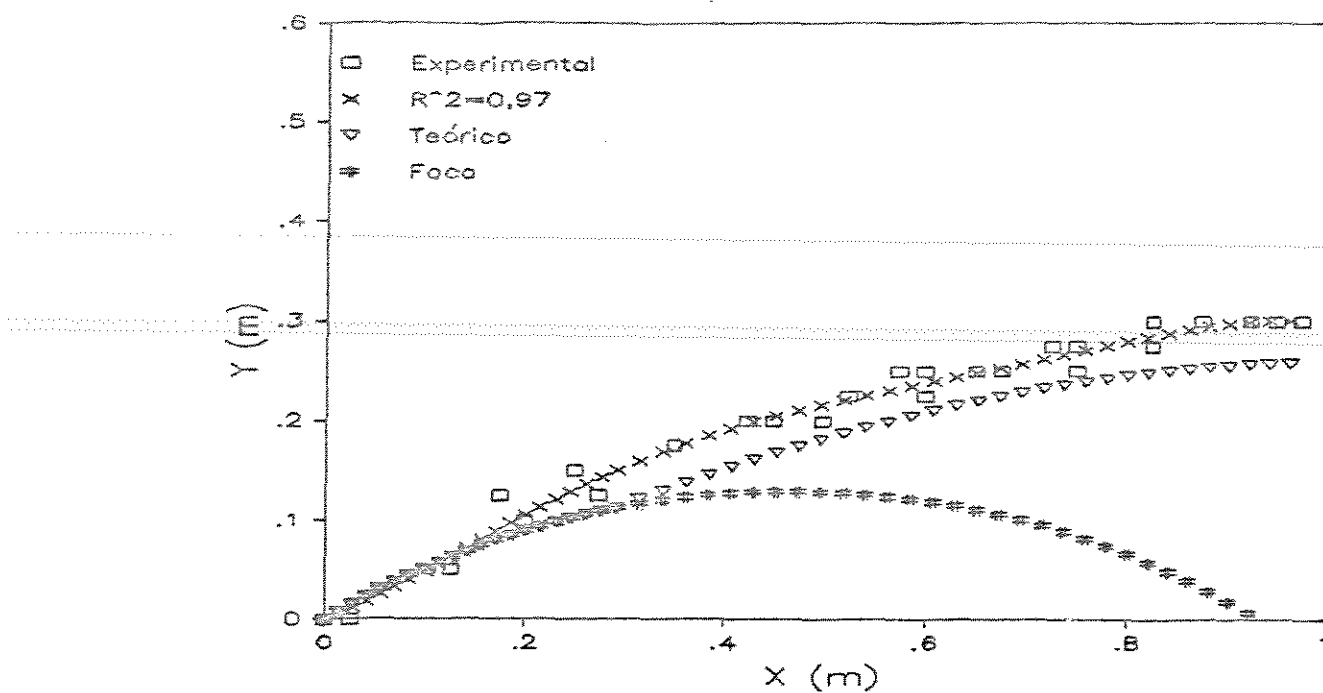


FIGURA 6.2 - Trajetórias de lançamento na condição U81A+13.

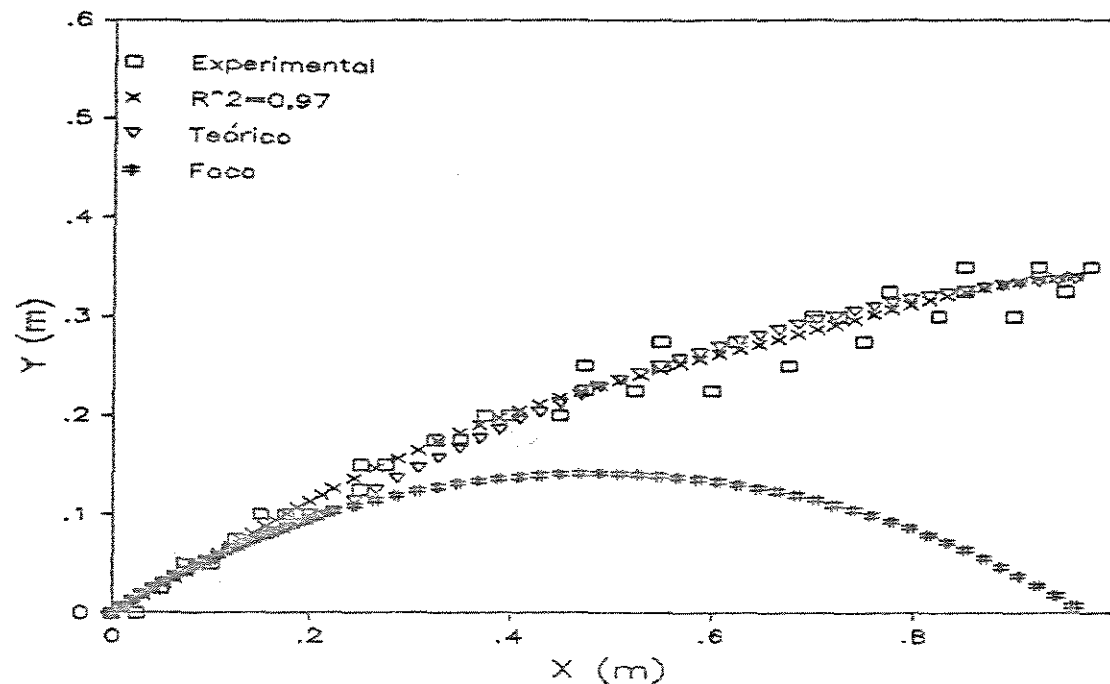


FIGURA 6.3 - Trajetórias de lançamento na condição U81A+00.

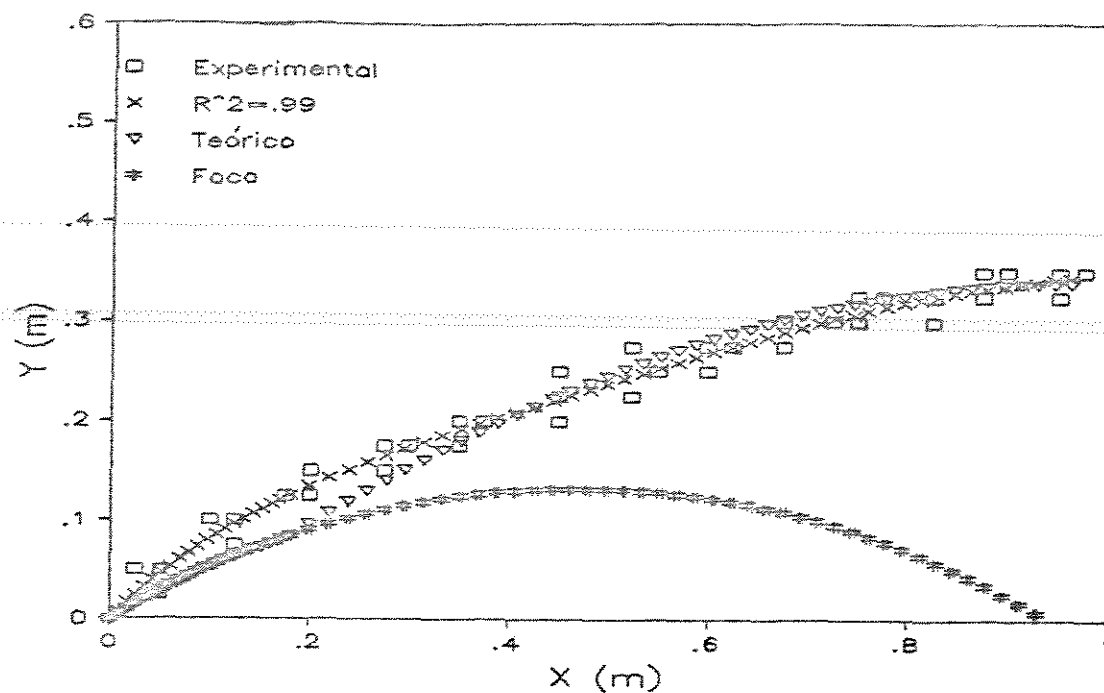


FIGURA 6.4 - Trajetórias de lançamento na condição U81A-16.

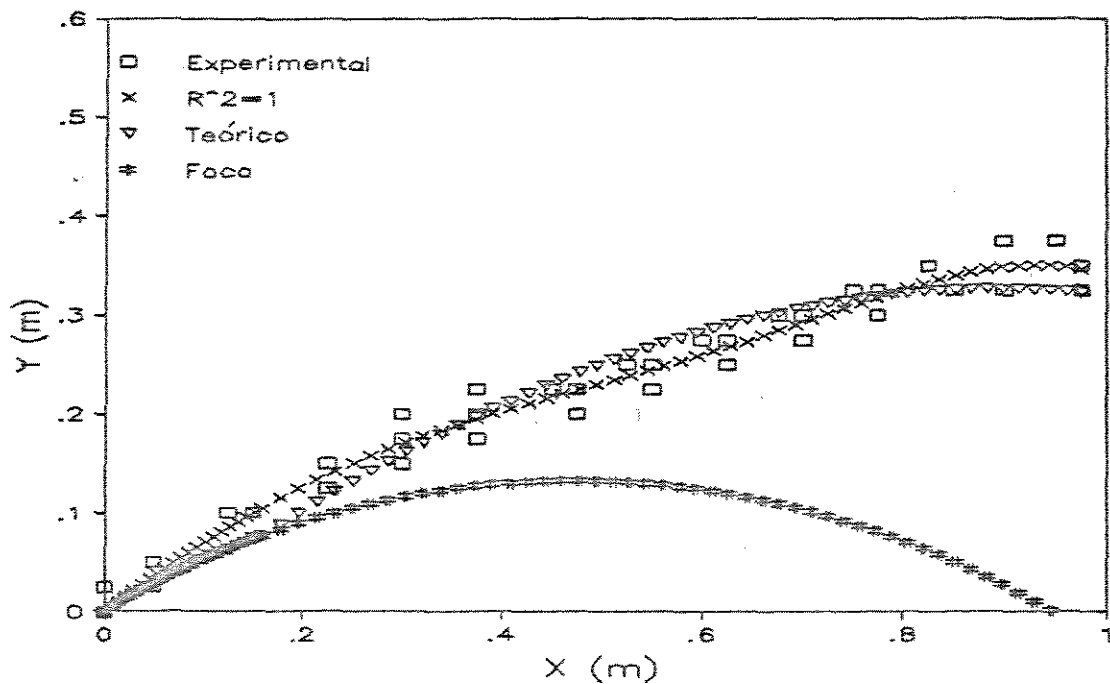


FIGURA 6.5 - Trajetórias de lançamento na condição U81A-31.

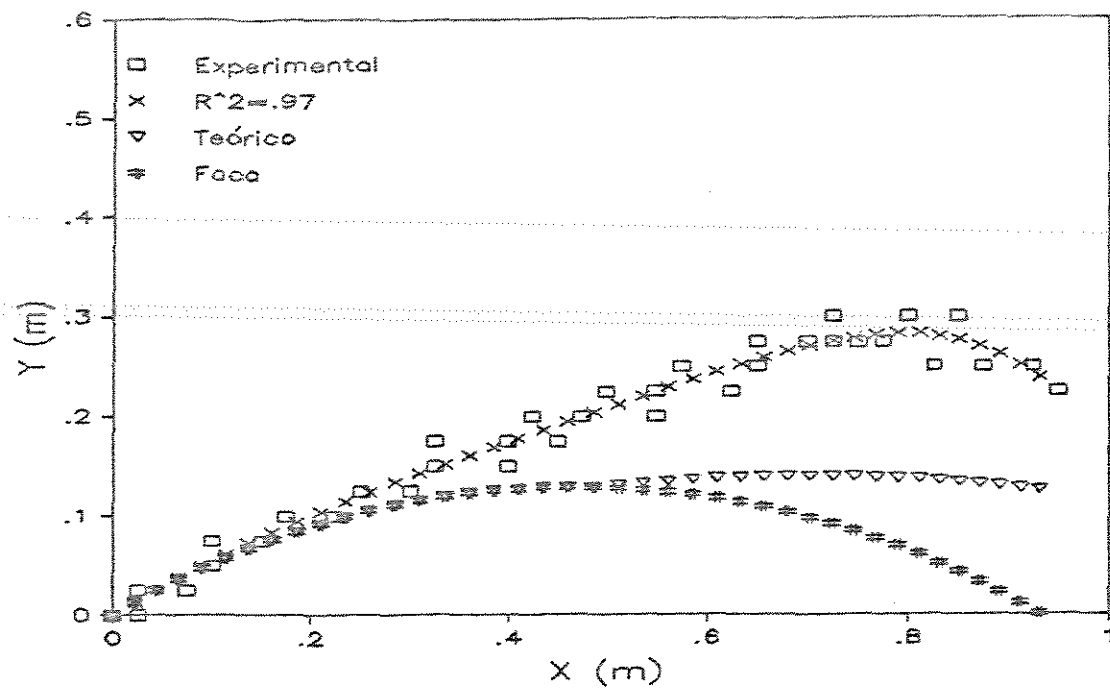


FIGURA 6.6 - Trajetórias de lançamento na condição U68A+28.

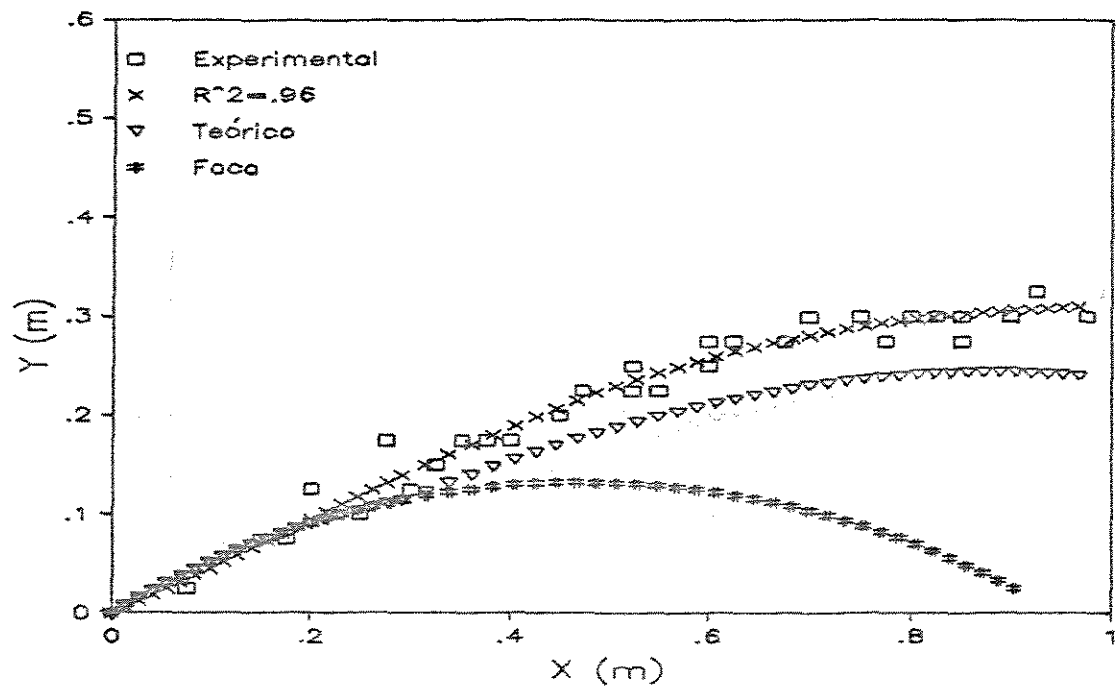


FIGURA 6.7 - Trajetórias de lançamento na condição U68A+13.

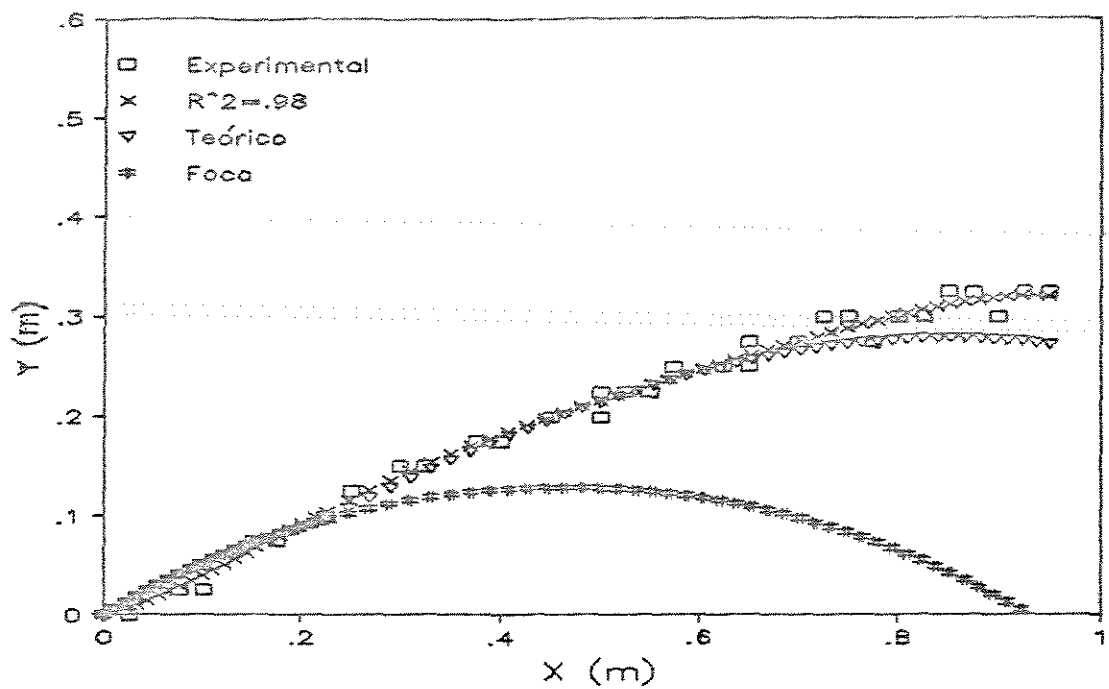


FIGURA 6.8 - Trajetórias de lançamento na condição U68A+00.

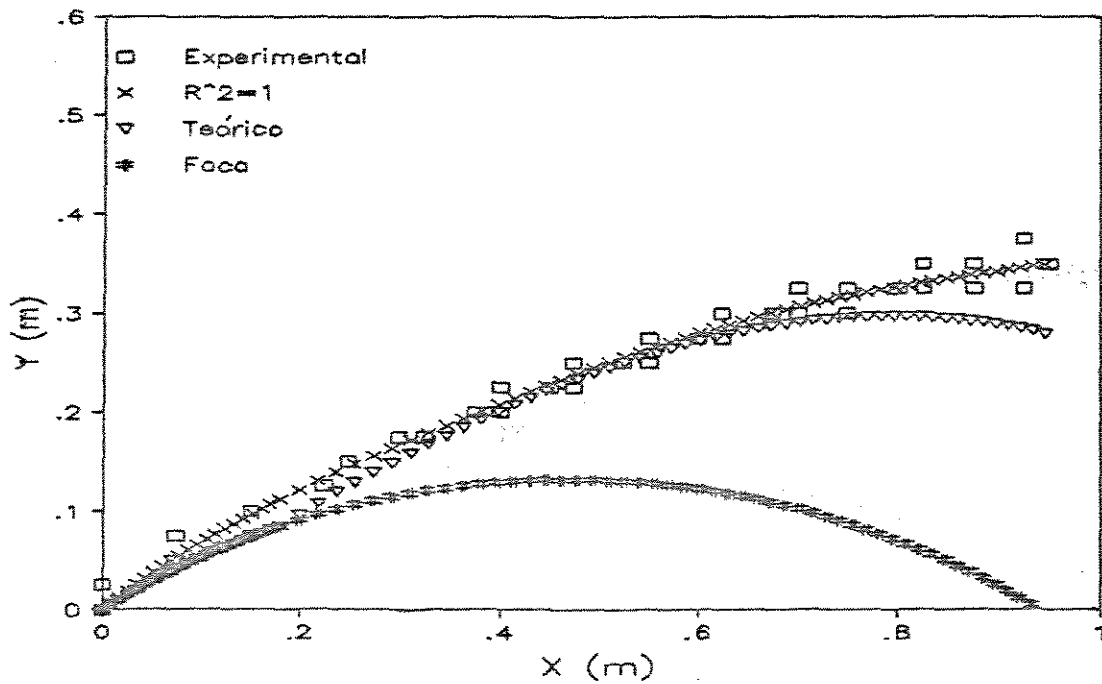


FIGURA 6.9 - Trajetórias de lançamento na condição U68A-16.

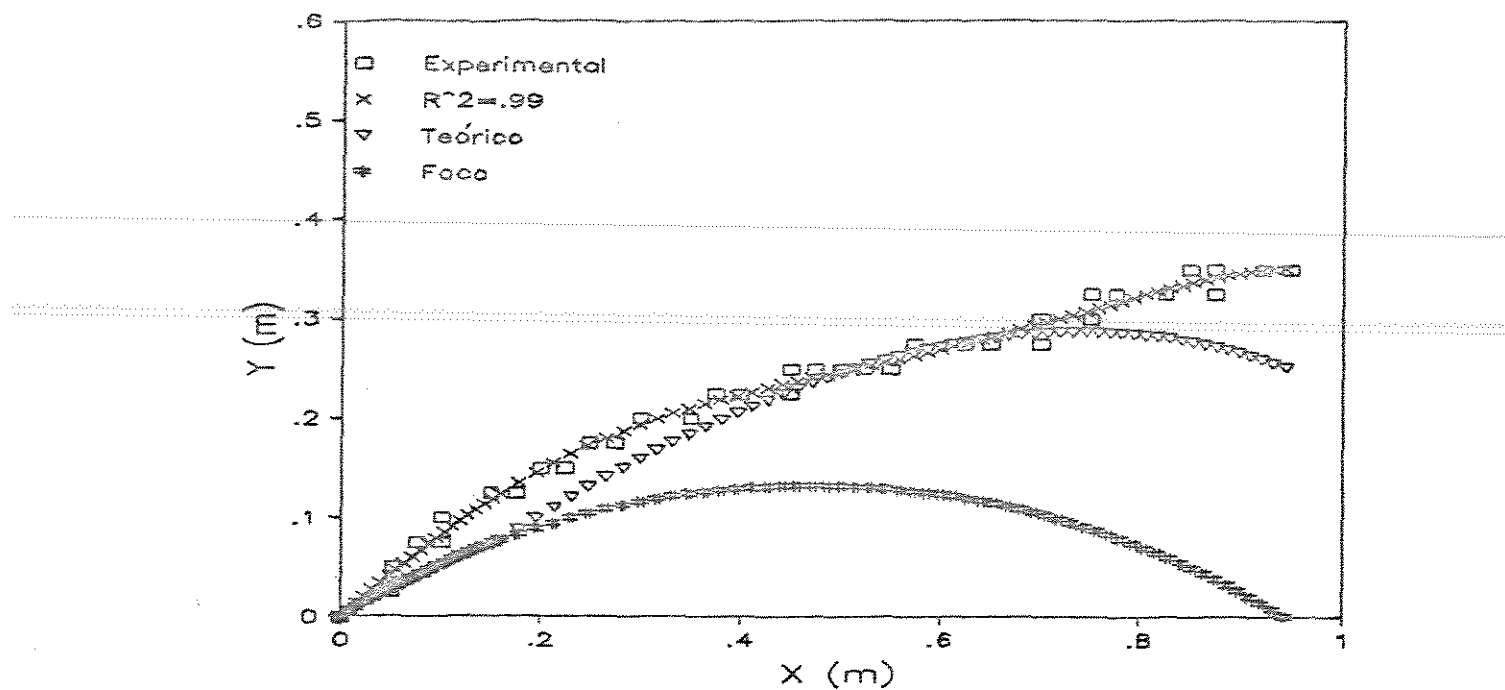


FIGURA 6.10 - Trajetórias de lançamento na condição U68A-31.

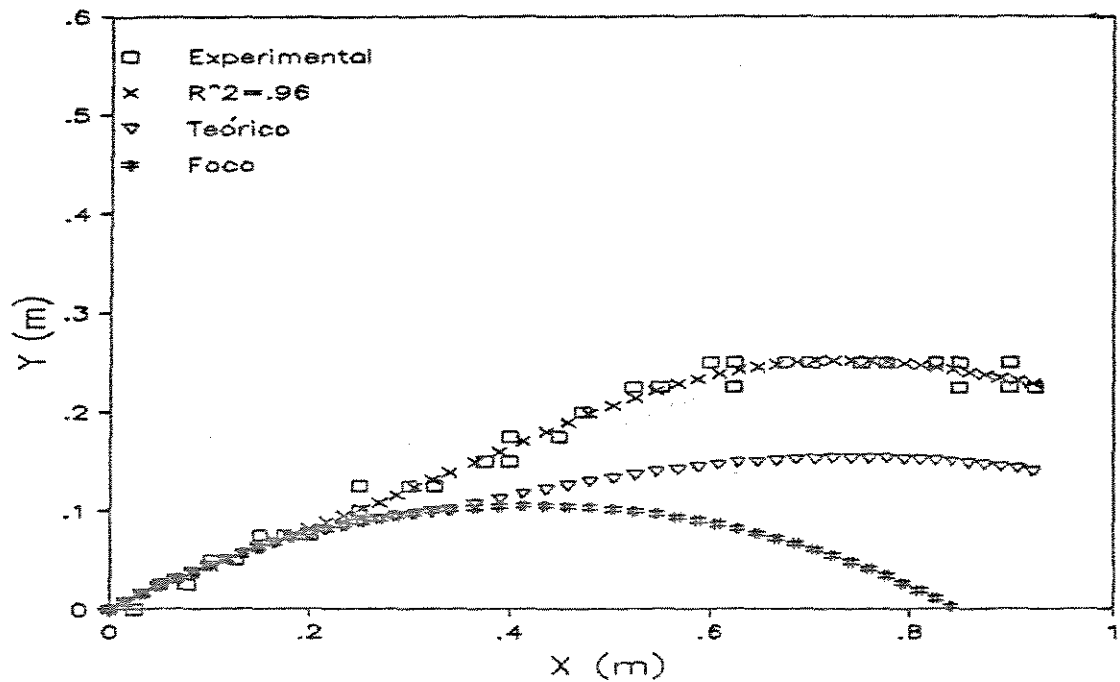


FIGURA 6.11 - Trajetórias de lançamento na condição U44A+28.

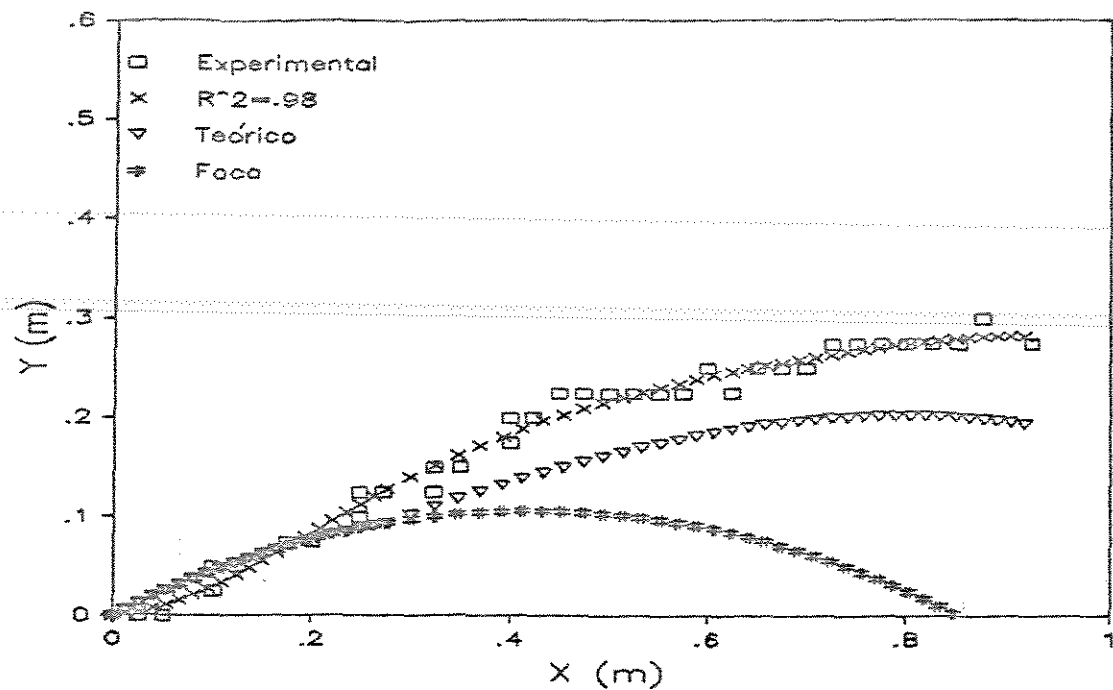


FIGURA 6.12 - Trajetórias de lançamento na condição U44A+13.

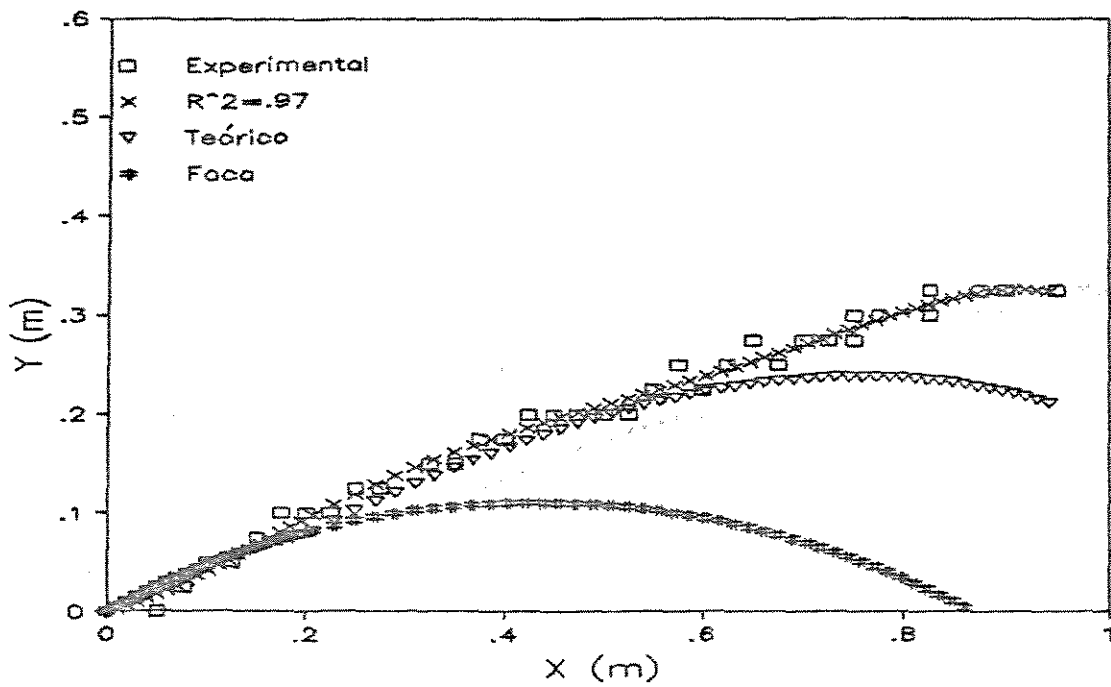


FIGURA 6.13 - Trajetórias de lançamento na condição U44A+00.

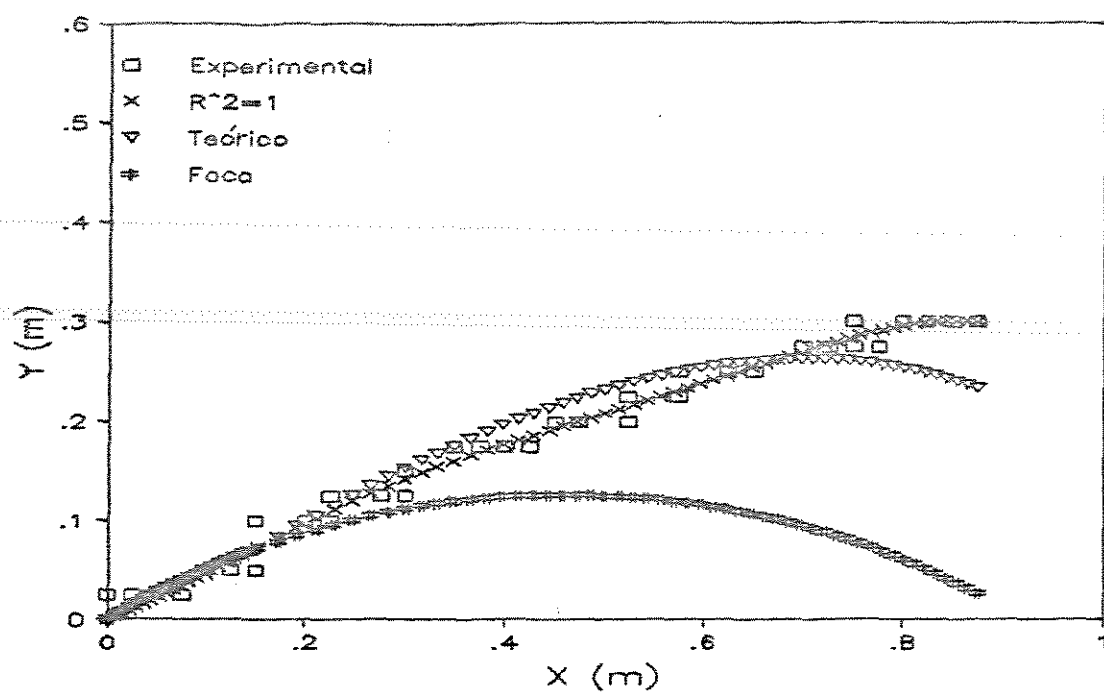


FIGURA 6.14 - Trajetórias de lançamento na condição U44A-16.

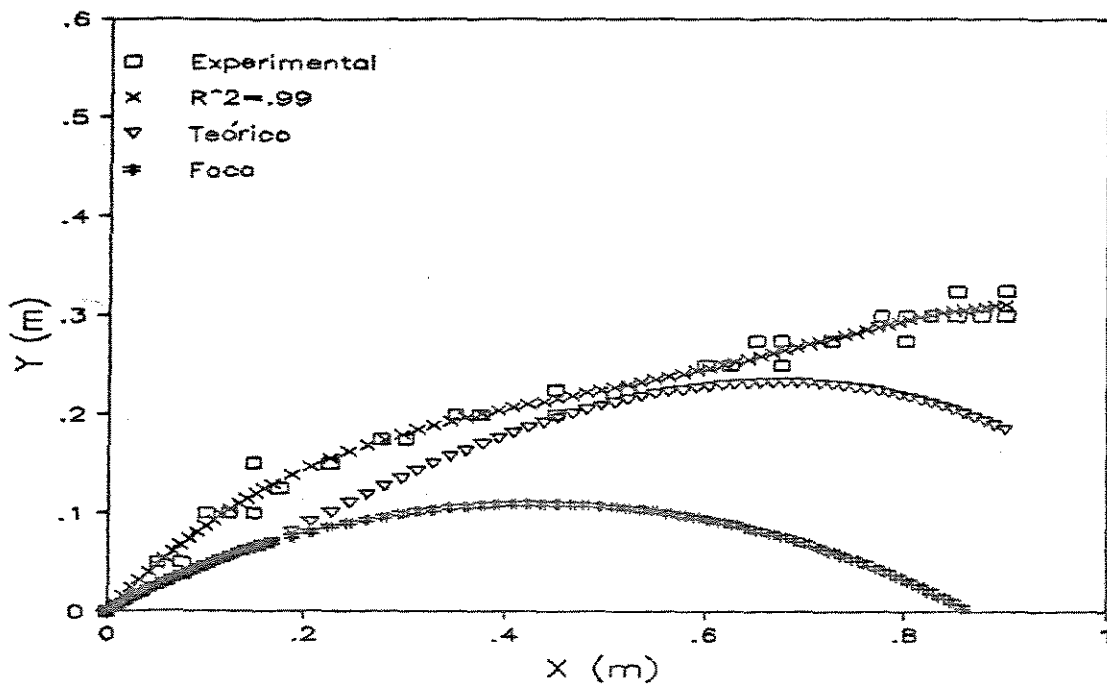


FIGURA 6.15 - Trajetórias de lançamento na condição U44A-31.

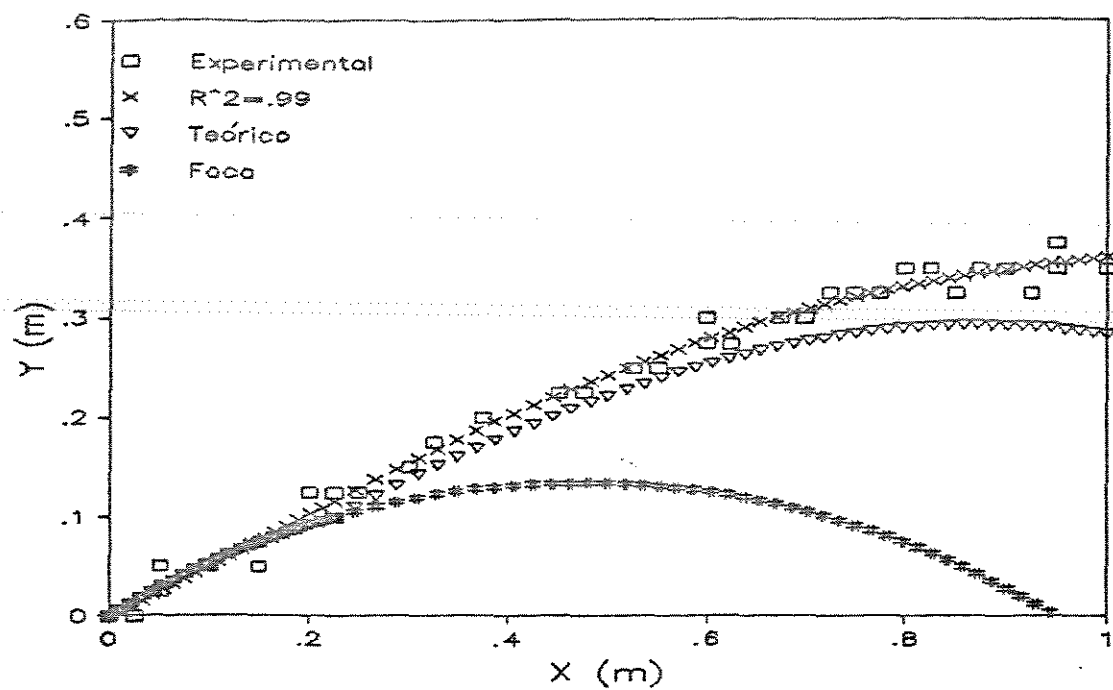


FIGURA 6.16 - Trajetórias de lançamento na condição U82A+00,  $V_t < 4,2 \text{ m/s}$ .

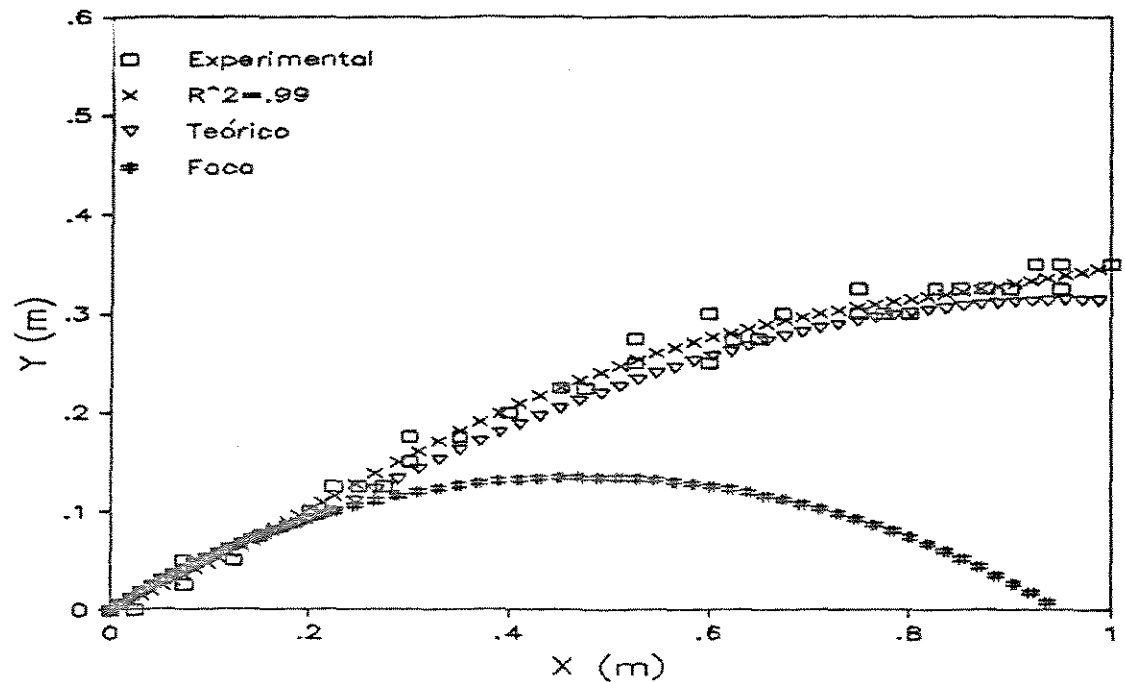


FIGURA 6.17 - Trajetórias de lançamento na condição U82A+00,  $V_t = 5,4 \text{ m/s}$ .

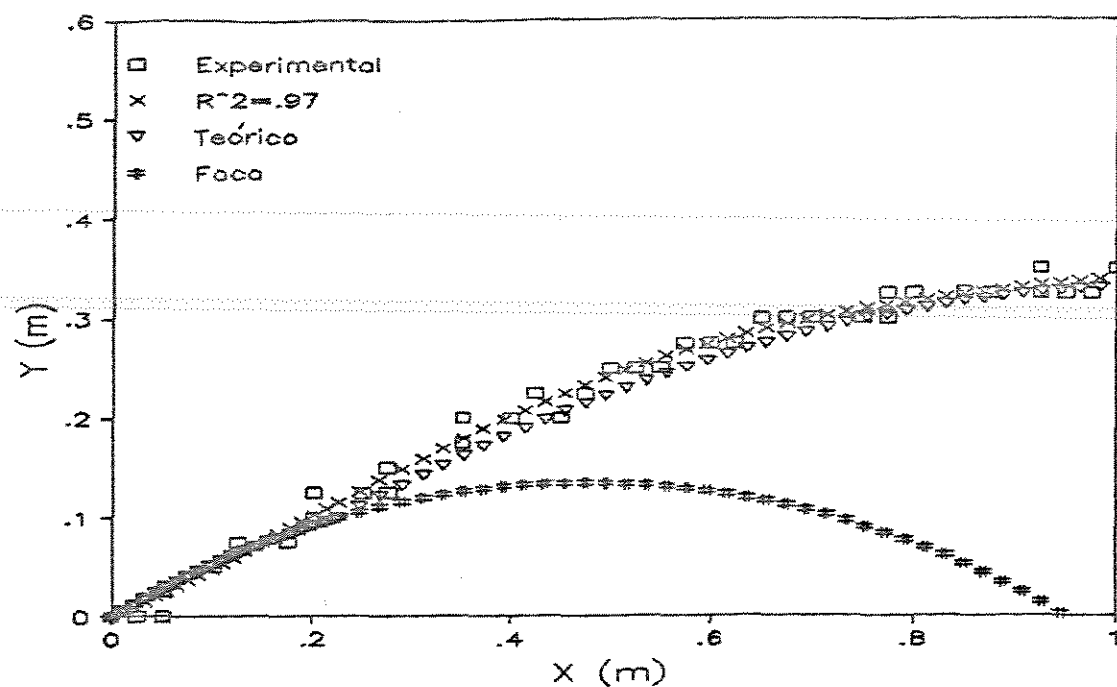


FIGURA 6.18 - Trajetórias de lançamento na condição U82A+00,  $V_t = 7,6 \text{ m/s}$ .

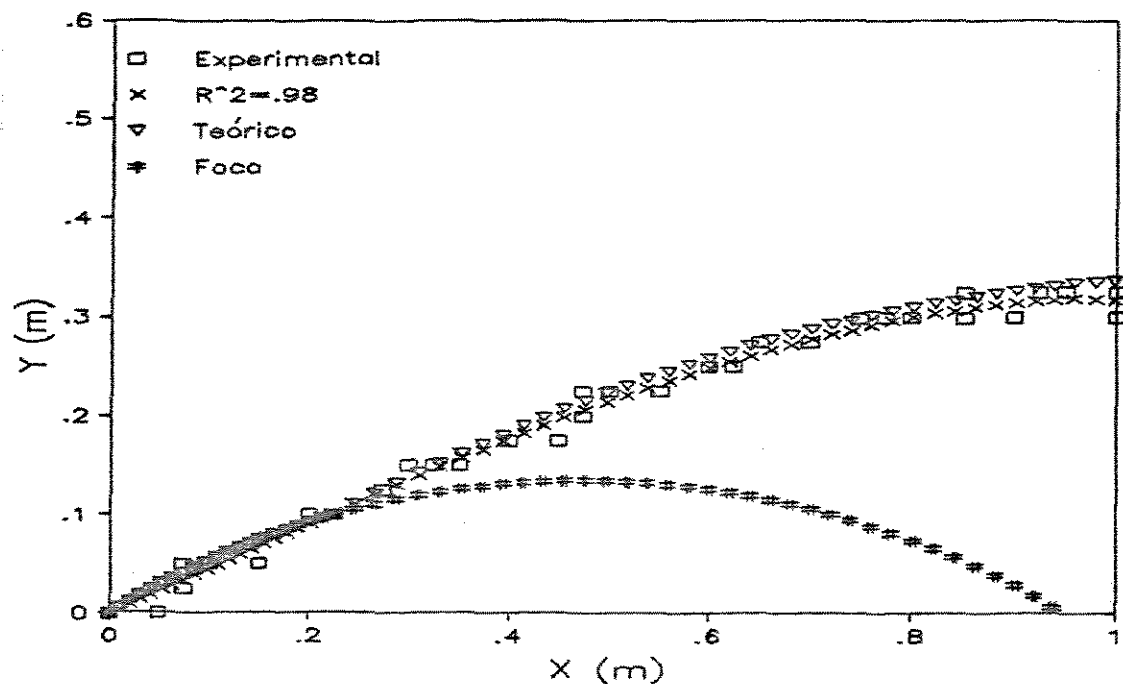


FIGURA 6.19 - Trajetórias de lançamento na condição U82A+00,  $V_t = 9,1 \text{ m/s}$ .

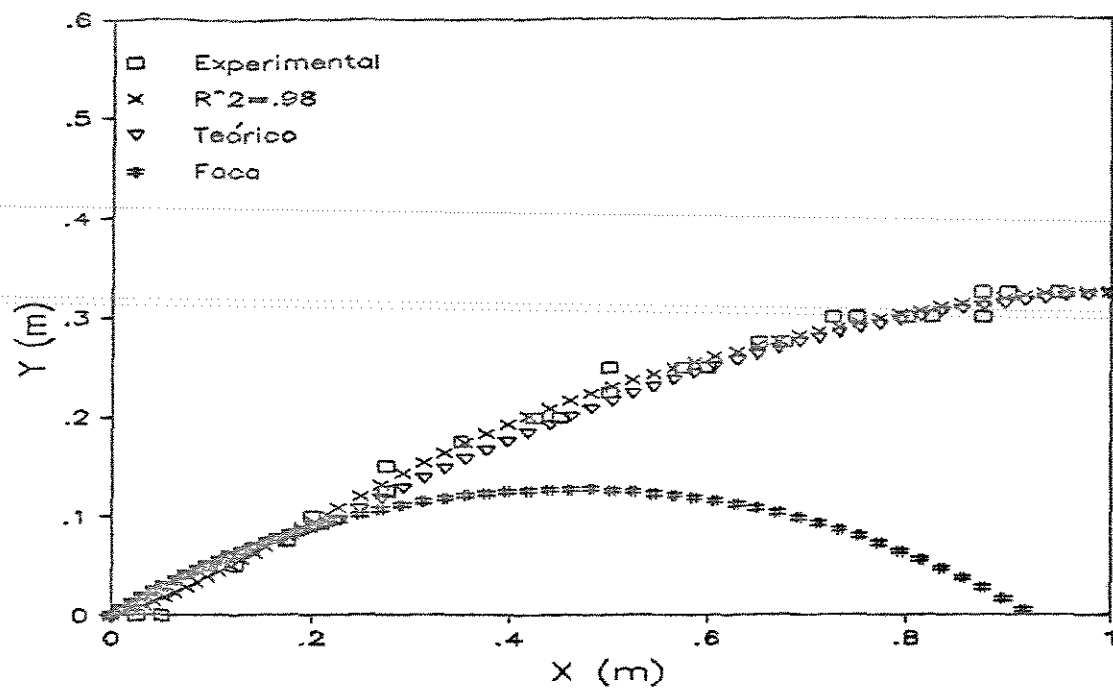


FIGURA 6.20 - Trajetórias de lançamento na condição U82A+00,  $V_t=10,9$  m/s.

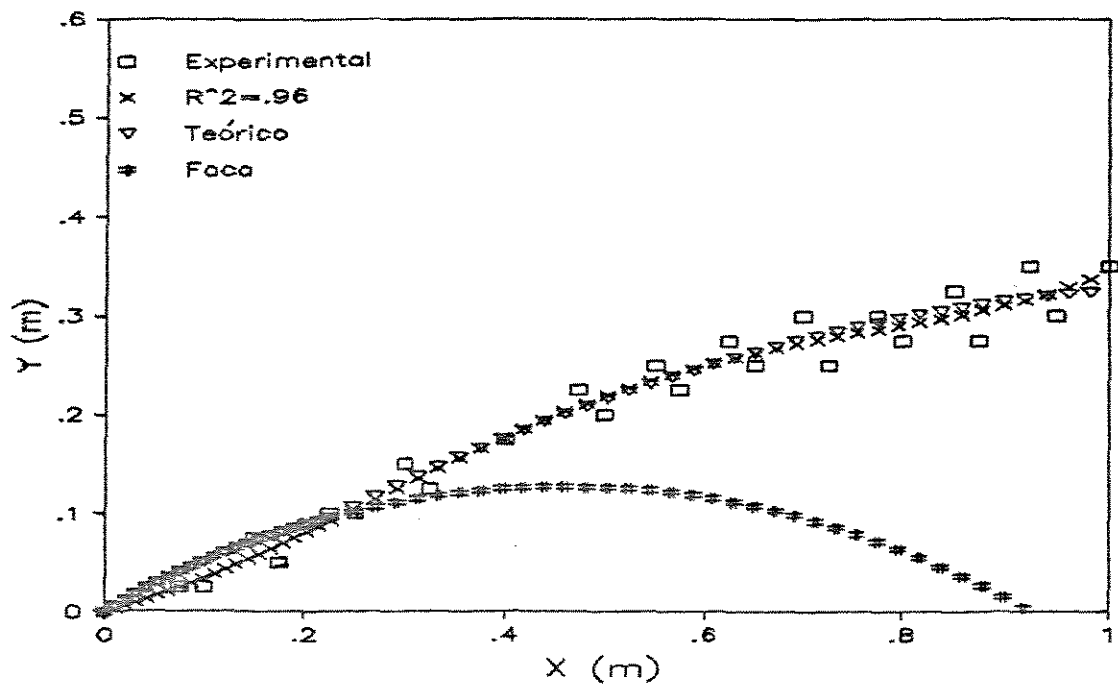


FIGURA 6.21 - Trajetórias de lançamento na condição U82A+00,  $V_t>12,1$  m/s.

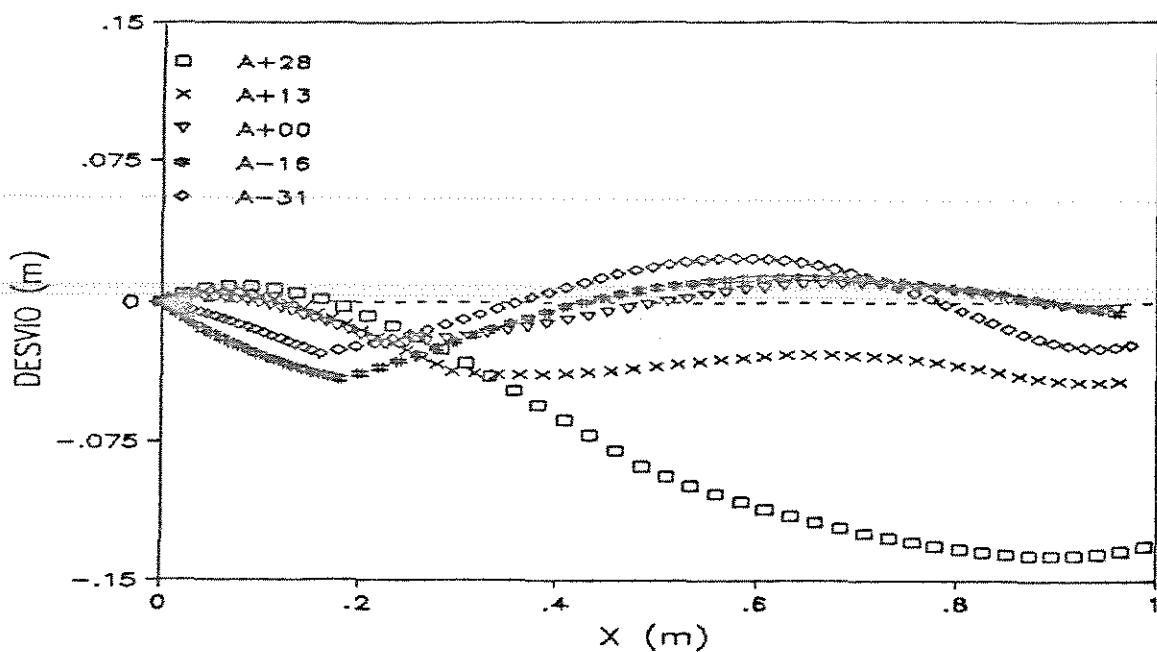


FIGURA 6.22 - Diferença entre trajetória experimental e teórica na condição U81.

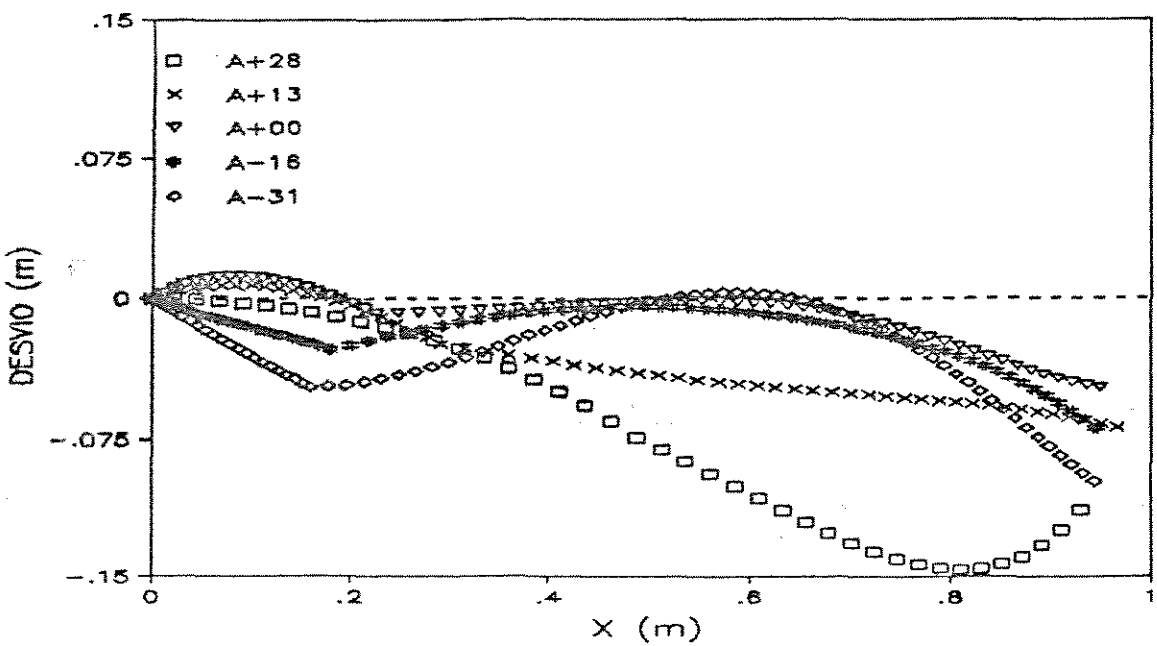
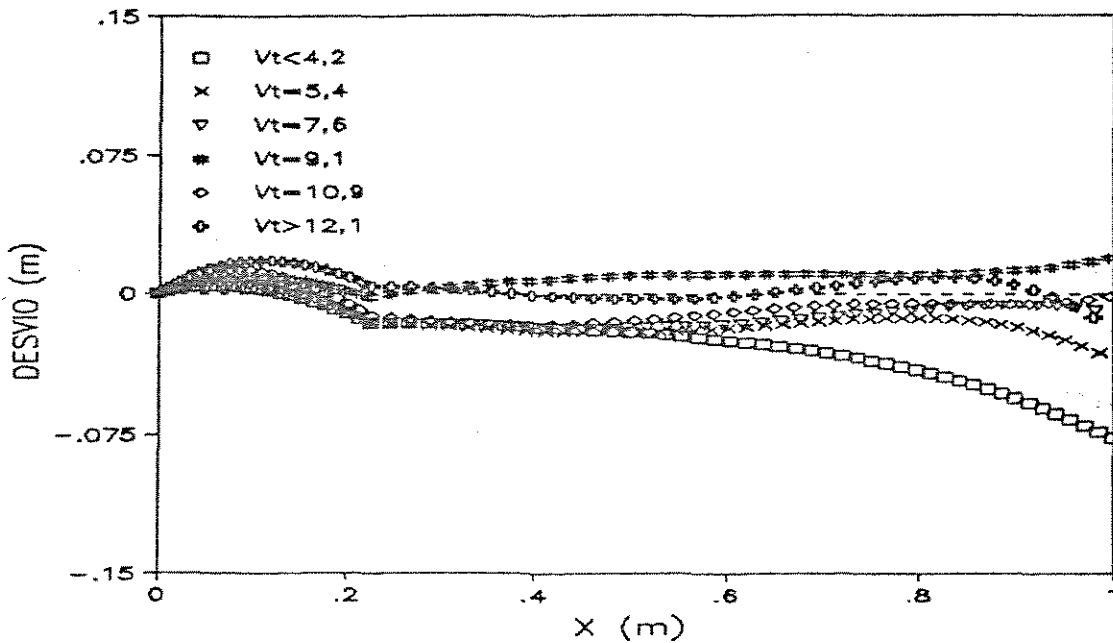
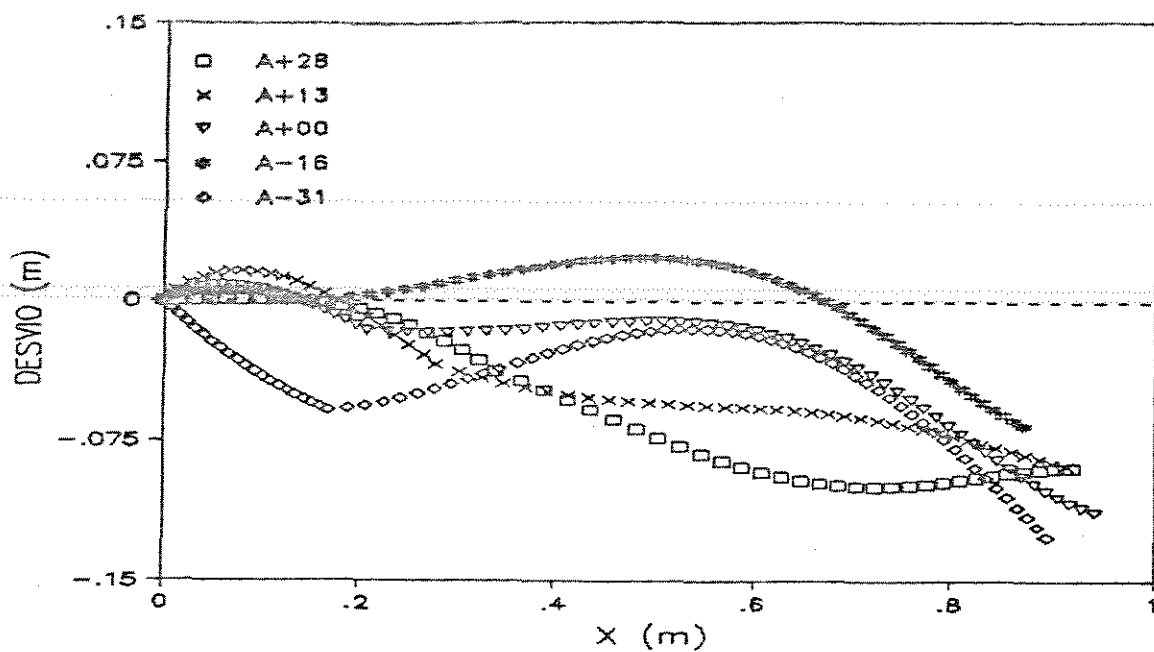


FIGURA 6.23 - Diferença entre trajetória experimental e teórica na condição U68.



## 6.2 DISTÂNCIA DE LANÇAMENTO

Foram calculadas as distâncias teóricas alcançadas pela torta, desde a sua liberação da carenagem até atingir a cota mínima (piso do laboratório), a uma altura de 1,965 m, denominadas de  $L_{max}$ . Os  $L_{max}$  experimentais e os teóricos são apresentados nas tabelas 6.5 a 6.7. O  $L_{max}$  experimental foi medido somando-se a distância D da torta, no piso, até o centro de rotação do lançador, com a distância desse ponto até o extremo da carenagem. A distância D foi obtida da média de três repetições e a mínima divisão da escala foi de 0,25 m.

Foi calculado o valor de  $L_{max}$  com valores de  $\beta_0$ ,  $V_0$ ,  $x_t$  e  $y_t$  pertencentes à curva experimental ajustada, no ponto de saída da torta da faca. As coordenadas  $x_t$  e  $y_t$

TABELA 6.5 - Distâncias atingidas pelo lançamento da sub-amostra U81.

Posição da faca	$L_{max}$		
	Teórico (m)	Experimental (m)	Desvio (%)
A+28	3,26	3,73	12,7
A+13	3,19	3,47	8,1
A+00	3,01	3,65	17,6
A-16	2,81	3,81	26,2
A-31	2,66	3,72	28,6

TABELA 6.6 - Distâncias atingidas pelo lançamento da sub-amostra U68.

Posição da faca	$L_{max}$ Teórico (m)	$L_{max}$ Experimental (m)	Desvio (%)
A+28	2,44	2,80	13,0
A+13	2,26	2,72	16,8
A+00	2,12	2,72	21,9
A-16	1,97	2,47	20,1
A-31	1,88	2,39	21,2

TABELA 6.7 - Distâncias atingidas pelo lançamento da sub-amostra U44.

Posição da faca	$L_{max}$ Teórico (m)	$L_{max}$ Experimental (m)	Desvio (%)
A+28	2,03	2,51	19,2
A+13	1,94	2,43	19,9
A+00	1,80	2,35	23,4
A-16	1,67	2,38	29,9
A-31	1,65	1,93	14,6

foram lidas do ANEXO D, utilizando-se o ponto em que a diferença entre as ordenadas  $y$  experimental e  $y$  da ponta da faca foi em torno de 25 mm (1/2 quadro de referência).

O valor de  $\beta_o$  foi obtido calculando-se o ângulo entre a tangente à curva no ponto referido e a direção horizontal. O valor da velocidade  $V_o$  foi calculado dividindo-se a velocidade periférica da faca pelo cosseno da diferença entre o ângulo  $\beta_o$  e o ângulo formado entre a tangente à ponta da faca e a direção horizontal no ponto  $x_t$  e  $y_t$ . As tabelas 6.8 a 6.10 apresentam estes valores de  $\beta_o$ ,  $V_o$ ,  $x_t$  e  $y_t$ .

Este procedimento possibilita calcular o alcance  $L_{max}$  com condições iniciais obtidas da curva de trajetória experimental, excluindo-se o efeito referente à trajetória do material dentro da faca.

TABELA 6.8 - Valores da curva ajustada para a sub-amostra U81 no ponto de descarga.

---

Posição	A+28	A+13	A+00	A-16	A-31
da faca					

---

$\beta_o$ ( $^{\circ}$ )	26,9	26,5	26,8	34,9	30,0
$V_o$ (m/s)	4,9	4,9	4,8	4,8	4,8
$x_t$ (m)	0,282	0,247	0,245	0,088	0,151
$y_t$ (m)	0,143	0,129	0,136	0,073	0,100

---

TABELA 6.9 - Valores da curva ajustada para a sub-amostra U68 no ponto de descarga.

Posição da faca	A+28	A+13	A+00	A-16	A-31
$\beta_o$ ( $^{\circ}$ )	19,9	25,1	24,5	27,2	38,0
$V_o$ (m/s)	4,8	4,9	4,9	4,8	4,9
$x_t$ (m)	0,309	0,315	0,310	0,170	0,086
$y_t$ (m)	0,143	0,150	0,145	0,107	0,073

TABELA 6.10 - Valores da curva ajustada para a sub-amostra U44 no ponto de descarga.

Posição da faca	A+28	A+13	A+00	A-16	A-31
$\beta_o$ ( $^{\circ}$ )	22,6	28,7	26,2	22,8	40,5
$V_o$ (m/s)	4,9	5,0	4,9	4,8	4,9
$x_t$ (m)	0,305	0,265	0,249	0,282	0,058
$y_t$ (m)	0,124	0,121	0,119	0,135	0,054

As tabelas 6.11 a 6.13 apresentam os valores de  $L_{max}$  calculados a partir das tabelas 6.8 a 6.10, para as condições: sem resistência do ar, com as velocidades terminais obtidas da classificação no túnel vertical (6.6,

4,0 e 3,4 m/s) e com velocidades terminais estimadas para minimizar os desvios (10,7, 5,1 e 4,4 m/s). O valor de velocidade terminal de 10.000 m/s foi utilizado para o alcance da torta sem resistência do ar, referência de máximo alcance, ou através de BERNACKI et alii (1972).

Os valores de  $L_{max}$  teóricos (tabelas 6.5 à 6.7) e os calculados com as velocidades terminais obtidas no túnel vertical (6,6, 4,0 e 3,4 m/s), porém com condições iniciais estimadas da curva experimental, apresentam desvios máximos de aproximadamente 0,25 m. Ambos atingem cerca de 0,5 m a menos que o  $L_{max}$  experimental. Este fato sugere que as velocidades terminais utilizadas no cálculo do  $L_{max}$  são menores do que as reais, o qual é coerente com os desvios de trajetória discutidos no item 6.1. Portanto,

TABELA 6.11 - Distâncias atingidas pelo lançamento da sub-amostra U81 com condições iniciais da curva ajustada.

Posição da faca	$V_i = 6,6 \text{ m/s}$	$V_i = 10,7 \text{ m/s}$	$V_t = 10.000 \text{ m/s}$
	(m)	(m)	(m)
A+28	3,11	3,72	3,89
A+13	3,06	3,66	3,87
A+00	3,05	3,65	3,85
A-16	2,81	3,41	3,84
A-31	2,91	3,51	3,84

TABELA 6.12 - Distâncias atingidas pelo lançamento da sub-amostra U68 com condições iniciais da curva ajustada.

Posição da faca	$L_{max}$		
	$V_t = 4,0 \text{ m/s}$ (m)	$V_t = 5,1 \text{ m/s}$ (m)	$V_t = 10.000 \text{ m/s}$ (m)
A+28	2,23	2,67	3,71
A+13	2,24	2,71	3,89
A+00	2,24	2,70	3,88
A-16	2,05	2,50	3,80
A-31	1,88	2,34	3,86

TABELA 6.13 - Distâncias atingidas pelo lançamento da sub-amostra U44 com condições iniciais da curva ajustada.

Posição da faca	$L_{max}$		
	$V_t = 3,4 \text{ m/s}$ (m)	$V_t = 4,4 \text{ m/s}$ (m)	$V_t = 10.000 \text{ m/s}$ (m)
A+28	1,93	2,42	3,86
A+13	1,88	2,39	4,04
A+00	1,86	2,35	3,89
A-16	1,89	2,38	3,79
A-31	1,54	2,02	3,89

foram calculadas velocidades terminais para produzirem o mesmo alcance que o experimental.

Foram calculados valores de  $L_{max}$  referentes aos desvios minimizados que, em relação aos valores experimentais das tabelas 6.5 a 6.7, geraram um desvio máximo de 10,5 %.

O fato da velocidade terminal medida no túnel ser menor que a necessária para se atingir o alcance medido pode ser justificado por uma levea secagem e desintegração da torta dentro do túnel, superior àquela que ocorre no lançamento, produzindo partículas mais finas e com consequente menor velocidade terminal.

Outra possibilidade é que o efeito da quantidade de partículas em batelada, superior à existente na "nuvem rala" do túnel vertical, altere o Rey e o coeficiente de arrasto das partículas.

De acordo com KIKER & ROSS (1966), também ocorreu variação do coeficiente de arrasto em função do Rey e do grau de turbulência para material granular se deslocando confinado em um duto de descarga vertical.

STRAUSS (1975) estudou a interação entre as partículas presentes em correntes de gás. Estas são consideráveis e irão aumentar a resistência do fluido ao movimento das partículas, mesmo para baixas concentrações volumétricas.

O movimento de um grupo de partículas em um fluido não confinado, resulta em movimento de partículas em torno do grupo. Quando as partículas estão suficientemente próximas, ou coesas, o fluido entre as partículas move-se

com elas e o grupo pode ser considerado como uma nuvem. Quando as partículas estão suficientemente separadas, ou sem coesão, ou seja existem vazios, então o fluido move-se entre elas. Na prática ocorre uma situação intermediária entre grupos e partículas individuais. Porém, o fenômeno é bastante complexo de ser quantificado. Em geral nuvens densas tendem a se mover mais rapidamente e grupos unidos por paredes tendem a se mover mais devagar.

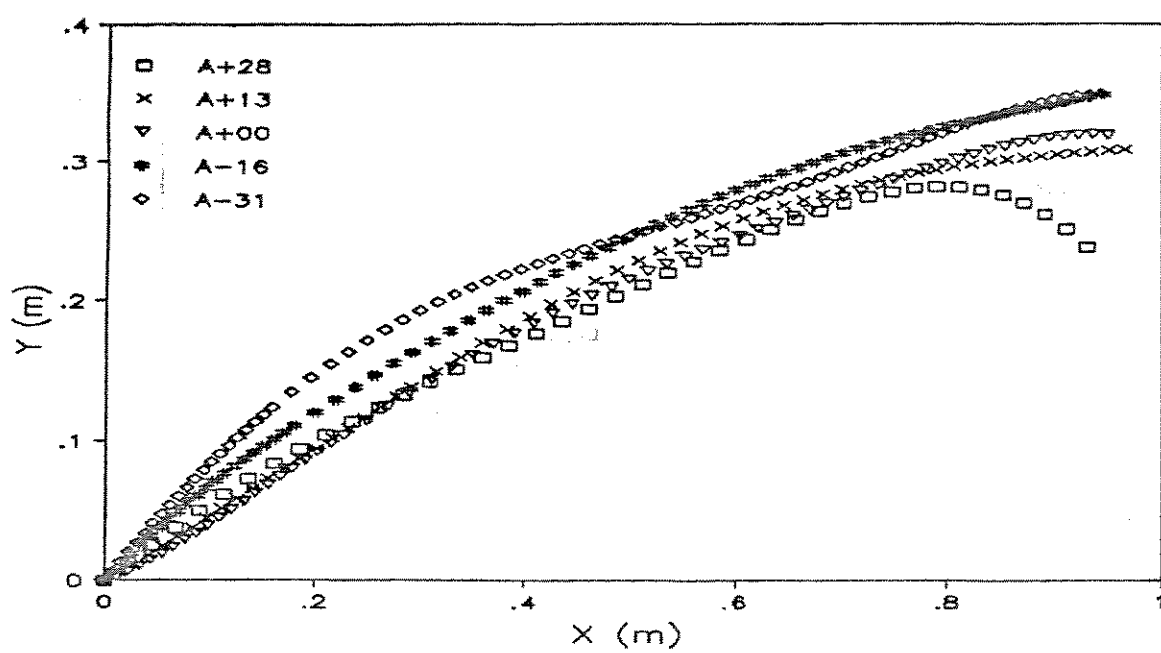
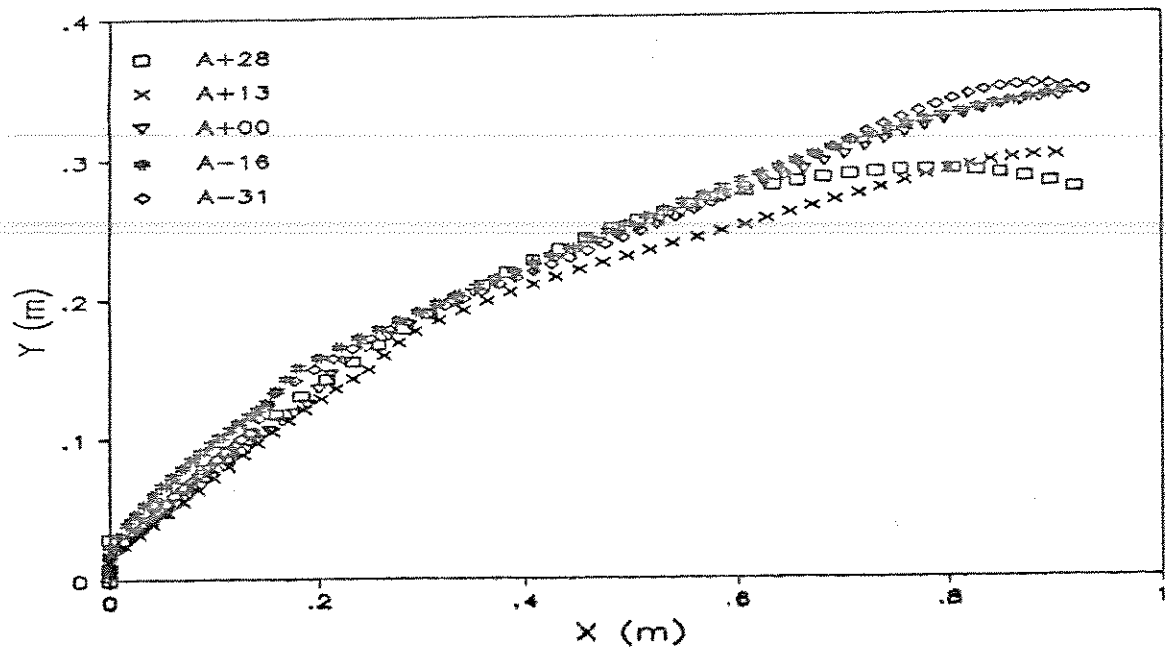
Assim, pode ocorrer uma variação do coeficiente de arrasto dentro do túnel vertical, bem como na trajetória devido à presença de batelada de partículas, que pode aumentar a sua velocidade terminal.

### 6.3 RESULTADOS COMPARATIVOS

As curvas experimentais de cada sub-amostra, com os cinco ângulos de faca utilizados, foram ilustradas nas figuras 6.26 a 6.29 para efeito comparativo.

Observa-se destas figuras que, para abscissas na faixa de 0 a 1 m, não ocorreram diferenças significativas, menores que um quadriculo (50 mm) entre as trajetórias experimentais correspondentes aos diversos ângulos de faca testados. Teoricamente, tais diferenças deveriam ser mais significativas, principalmente devido ao efeito dos ângulos de faca positivos. Para as posições A+26, por exemplo, o abaixamento esperado desta curva em relação ao medido deveria ser de 140 mm.

As curvas teóricas geradas pela simulação do lançamento das sub-amostras até atingirem o piso foram



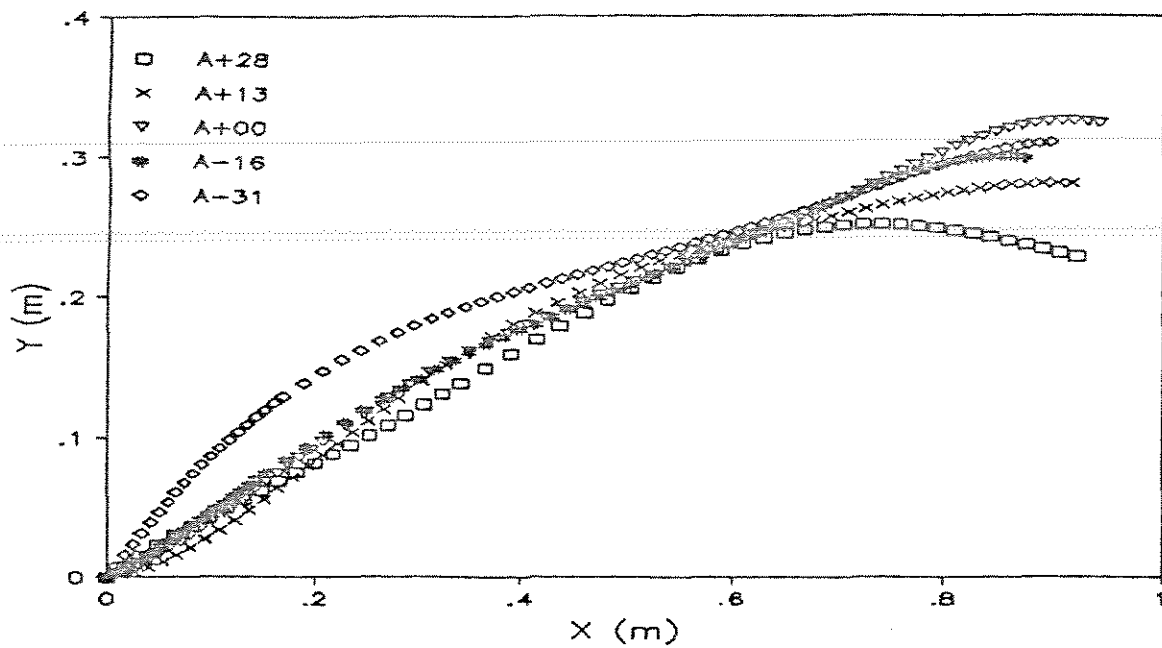


FIGURA 6.28 – Curvas experimentais da condição U44.

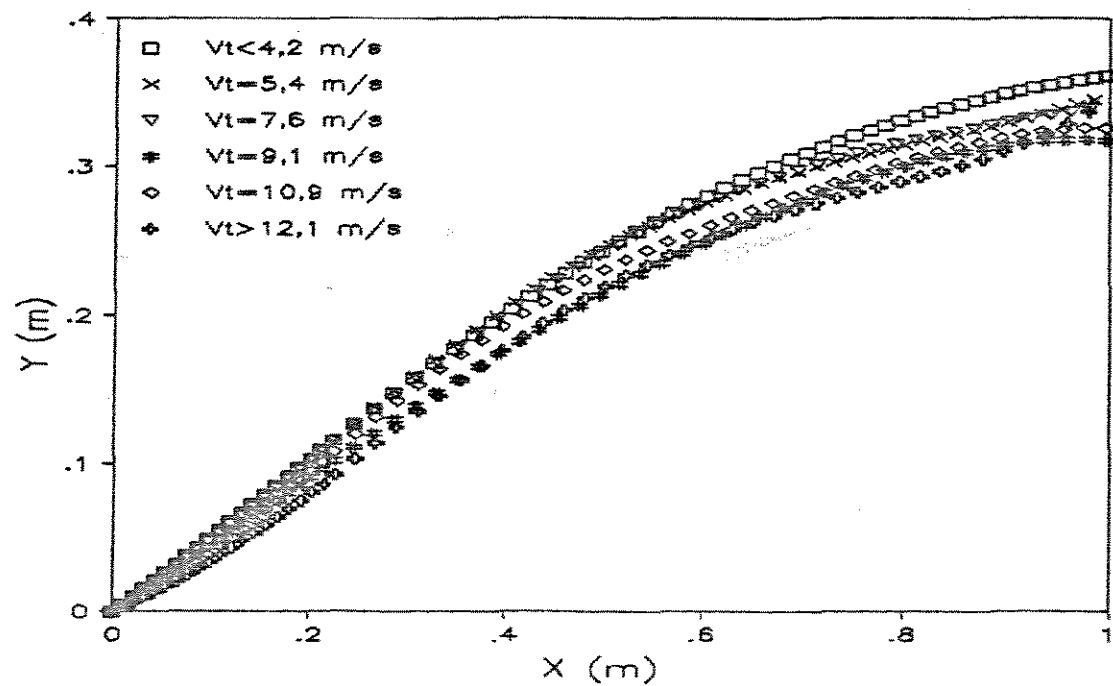


FIGURA 6.29 – Curvas experimentais das condições U82.

comparadas nas figuras 6.30 a 6.33 para todos os ângulos de faca regulados. Os valores iniciais do lançamento são os das tabelas 6.1 a 6.4.

Em termos de  $L_{max}$ , o alcance da torta varia pouco em relação aos ângulos de lançamento  $\beta_0$  e velocidades de lançamento  $V_0$  estudadas. Por outro lado, as velocidades terminais utilizadas produzem diferenças significativas no alcance. Entre as figuras 6.30 e 6.32, com velocidades terminais de 6,8 e 3,4 m/s respectivamente, correspondente às sub-amostras com 81 e 44 % de umidade, o  $L_{max}$  sofre redução em torno de 0,8 m. Na figura 6.33, onde os ângulos e velocidades de lançamento são praticamente os mesmos para todas as curvas, a diferença do alcance  $L_{max}$  entre a torta classificada com velocidade terminal menor que 4,2

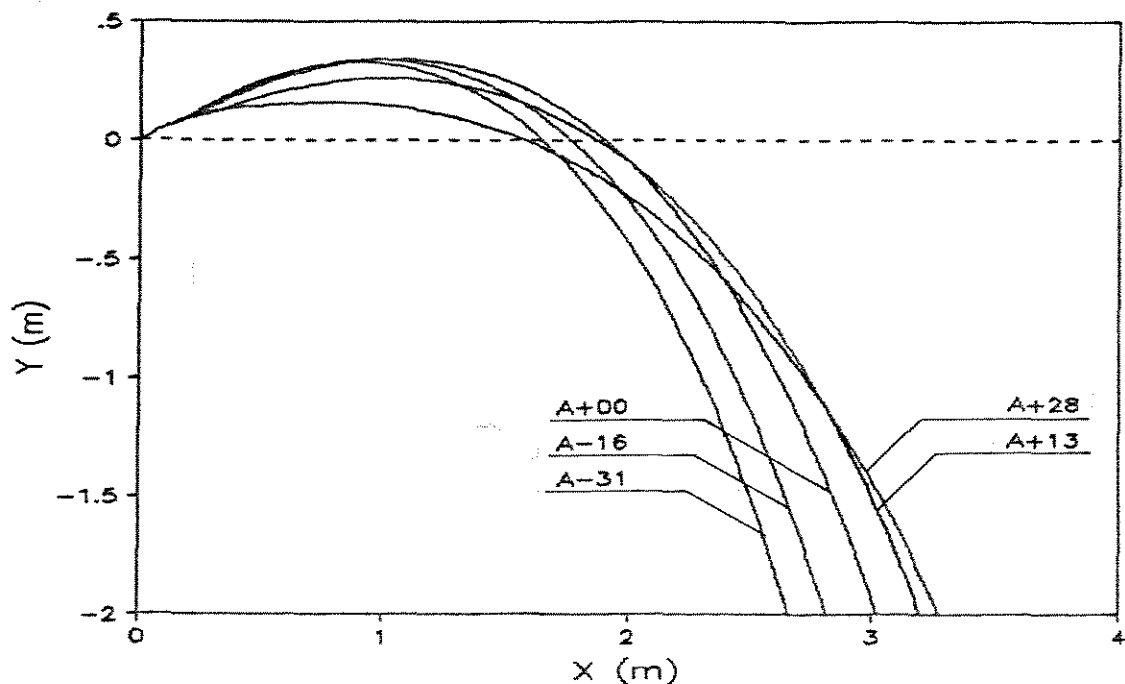


FIGURA 6.30 - Alcance para as curvas teóricas da condição U81.

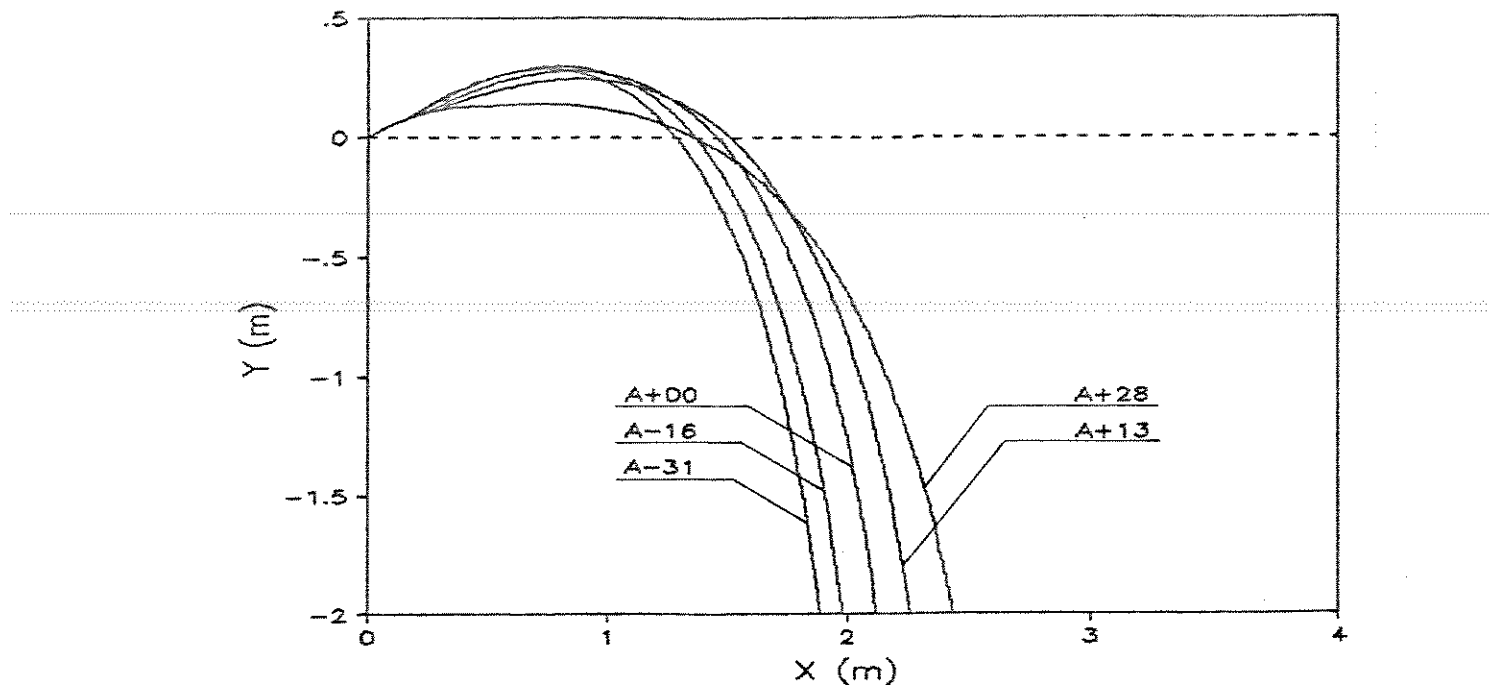


FIGURA 6.31 – Alcance para as curvas teóricas da condição U68.

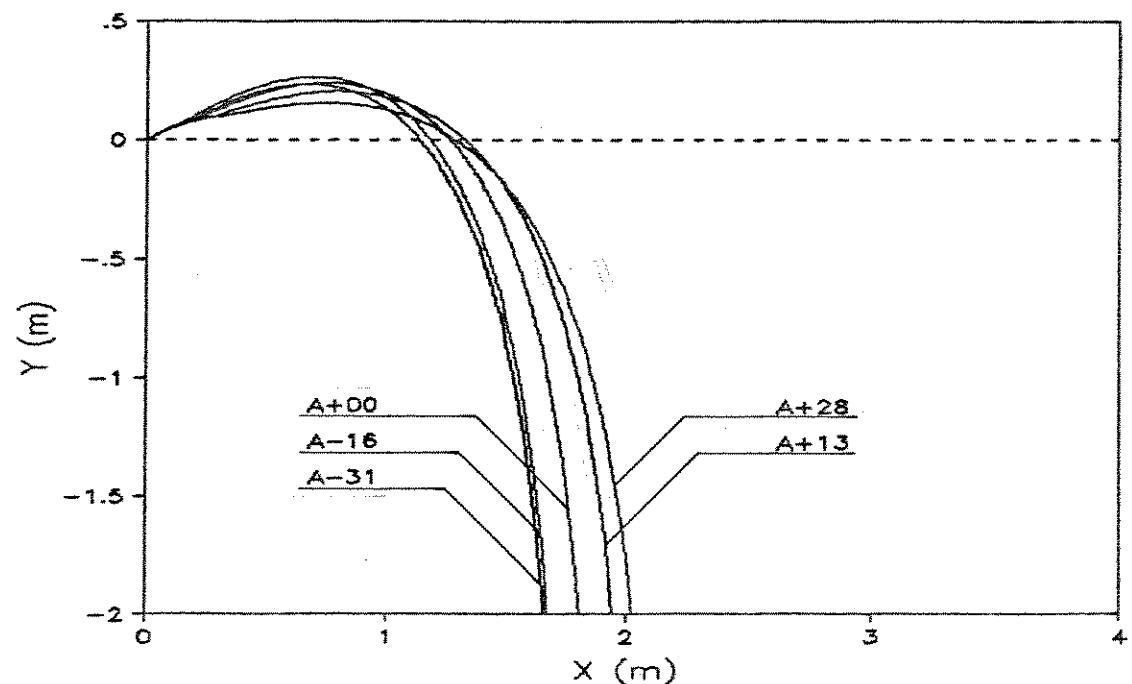


FIGURA 6.32 – Alcance para as curvas teóricas da condição U44.

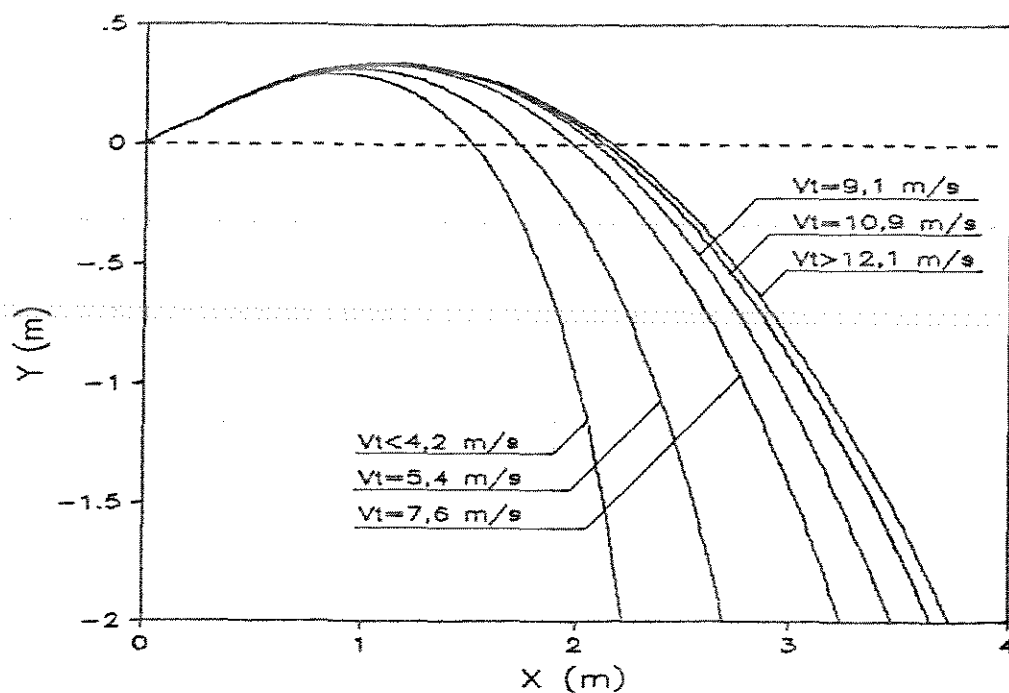


FIGURA 6.33 – Alcance para as curvas teóricas da condição U82.

m/s e maior que 12,1 m/s é ainda mais significativa. Esta diferença é de aproximadamente 1,7 m.

Teóricamente portanto, a redução do teor de umidade das sub-amostras de 82 para 44 % reduz significativamente o alcance da torta lançada. Esta afirmação é compatível com os alcances experimentais constantes nas tabelas 6.5 a 6.7, onde a diferença entre a média dos alcances experimentais das sub-amostras U81 e U44 está em torno de 1,4 m.

#### 6.4 MÓDULO DE CAMPO

As avaliações qualitativas com o módulo de campo indicaram que a utilização dos três ângulos da carenagem

... com a horizontal (45, 58 e 71°) tiveram efeito visualmente significativo tanto na variação da trajetória de saída da torta como no alcance da torta no solo. O ângulo de 58° foi o que apresentou o maior alcance.

O ângulo  $\theta$  de permanência da torta dentro da faca do rotor foi suficientemente pequeno para que a torta alimentada fosse lançada antes da faca iniciar o próximo ciclo de alimentação. O fato do material permanecer por mais de um ciclo dentro da faca até ser descarregado diminui a eficiência do rotor em termos energéticos. Ocorre consumo desnecessário de energia por atrito.

Sem a carenagem de aço, o próprio monte de torta faz o papel da carenagem. Porém, o monte atuando como carenagem define um ângulo de saída em relação à horizontal com variações, ou seja, a definição do ponto de início de descarga não é tão precisa como ocorre quando se tem a carenagem, que determina uma trajetória bem definida.

A altura do monte de torta atuando como carenagem, define o ponto de inicio de descarga. Observou-se desde a ocorrência de torta sendo liberada do rotor com ângulos  $\beta_0$  negativos, abaixo da direção horizontal, até torta sendo lançada praticamente na direção vertical. Neste segundo caso, a torta era lançada prematuramente, não obtinha alcance suficiente para sair do rotor, sendo realimentada no rotor pela periferia da faca e descarregada a seguir. Este fato aumentou a dispersão da trajetória da torta no rotor sem a carenagem externa.

A medição da pressão do circuito hidráulico de

acionamento do rotor na rotação utilizada indicou uma demanda de torque em torno de 2200 N.m. Entretanto, em grande parte do tempo houve falta de torque e consequente diminuição da velocidade de rotação do rotor pela redução da vazão de óleo, resultante da abertura da válvula de alívio. Para as condições trabalhadas, estima-se que cerca de 4000 N.m sejam mais indicados.

## 7 CONCLUSÕES

As seguintes conclusões resultaram do desenvolvimento do presente trabalho:

7.1 - Os seguintes dados de projeto são satisfatórios para leiras de torta com umidades entre 82 e 44 % B.U. e formato triangular de 4 m de largura por 2 m de altura:

Rotor de facas radiais com 1,8 m de diâmetro externo, altura das facas de 0,12 m, número de facas igual a 16, velocidade periférica mínima de 5 m/s, preferivelmente com carenagem externa, produção de  $1000 \text{ m}^3/\text{h}$  para velocidade de avanço de 260 m/h.

7.2 - As trajetórias geradas pelo modelo matemático derivadas de material granular são válidas para resíduos orgânicos nas condições experimentais dos lançamentos com ângulos de faca A+00, A-16 e A-31 para todas as umidades utilizadas. Os ângulos de faca positivos A+13 e A+28 apresentam desvios devido ao elevado tempo de permanência do material dentro da faca, fazendo com que para estes ângulos o material não deva ser modelado simplesmente como uma partícula.

7.3 - Durante a trajetória da torta no ar ocorre pulverização parcial da massa e aumento de sua área, semelhante ao pulverizador de líquidos.

7.4 - A velocidade terminal da nuvem de material lançado pela faca é superior à velocidade da nuvem em suspensão no túnel vertical. O agrupamento mais compacto das partículas no lançamento aumenta sua velocidade terminal em relação ao túnel vertical.

7.5 - A menor coesão entre as partículas da torta, provocada pela diminuição de umidade, conduz à redução de sua velocidade terminal.

7.6 - O alcance do material  $L_{max}$ , é mais influenciado pela velocidade terminal, relacionado ao teor de umidade, do que pelo conjunto velocidade  $V_o$  e ângulo de lançamento com a horizontal  $\beta_o$ . A redução do teor de umidade de 82 para 44 % reduz o alcance em 1,4 m aproximadamente.

7.7 - O lançador de material reproduz simplificadamente o fenômeno de descarga das facas do rotor.

7.8 - A medição da velocidade terminal da torta através da sua filmagem em queda livre, utilizando-se filmadora com velocidade de gravação compatível com a velocidade medida, deve resultar em valores mais próximos dos verificados no lançamento.

7.9 - O ângulo de descarga  $\theta$  é bastante sensível ao raio inicial do centro de massa da torta,  $R_i$ .

7.10 - A desagregação e aeração, condições necessárias à realização de uma boa compostagem, são conferidas à torta pela ação das facas do rotor e pelo espalhamento durante a trajetória no ar.

7.11 - A modificação do ângulo da carenagem provoca maior influência na trajetória e no alcance do material do que a mudança do ângulo da faca. O ângulo da carenagem em torno de  $58^\circ$  com relação a direção horizontal é a condição que produz o maior alcance.

7.12 - O rotor trabalhando nas condições em que se realizaram os testes de campo, descarrega a torta alimentada antes desta completar um ciclo dentro das suas facas. Sem a presença da carenagem ocorre aumento da dispersão da trajetória. O material permanece mais tempo dentro da faca devido à realimentação dos materiais lançados prematuramente. Em consequência, mais tempo é gasto dentro da faca até serem descarregados novamente, na parte inferior do rotor e próxima ao solo. Com a carenagem, o ponto de descarga é bem definido e o tempo de descarga é menor.

**ANEXO A - RESOLUÇÃO DA TRAJETÓRIA DO MATERIAL DENTRO  
DA FACA.**

SUB-AMOSTRA 081

Posição da faca	A+28	A+13	A+00	A-16	A-31
<b>CONDIÇÕES DE CONTORNO</b>					
$\mu$	.94	.94	.94	.94	.94
$R_i$	(m)	.862	.875	.876	.882
$(dx/d\theta)_i$		0	0	0	0
$\theta$	(grau)	32.3	19.9	15.6	12.6
$\infty_i$	(grau)	26.37131	12.28501	.0902409	-14.7193
$k$		.4957803	.2177612	.0015750	-.262705
$b$		.4273626	.1905411	.0013797	-.231706
$\alpha_T$	(grau)	27.9841	13.2882	.0982	-16.0615
$n$	(m)	.816	.81	.805	.81
$w$	(rad/s)	5.235988	5.235988	5.235988	5.235988
$\delta$	(grau)	46.4	47.7	46.2	47.3
<b>RESOLUÇÃO DA EQUAÇÃO DE POSIÇÃO DO MATERIAL DENTRO DA FACA</b>					
$l_{a1}$		.4324431	.4324431	.4324431	.4324431
$l_{a2}$		-2.31244	-2.31244	-2.31244	-2.31244
$B_1$		.3112579	.5597155	.7368962	.8667193
$B_2$		.0582074	.1046707	.1378048	.1620826
$X$	(m)	.9055280	.9079214	.9036953	.9038610
$Y$	(m)	.0215803	.0071690	.0000436	-.005743
$R_e$	(m)	.9057851	.9079497	.9036953	.9038792
<b>RESOLUÇÃO DA EQUAÇÃO DE VELOCIDADE</b>					
$(dx/d\theta)_o$		.1352103	.1728566	.1886995	.1868002
$(dy/d\theta)_o$		.0670346	.0376415	.0002972	-.049073
$V_{xo}$	(m/s)	.5949650	.8675385	.9878000	1.008154
$V_{yo}$	(m/s)	5.092326	4.950955	4.733284	4.475658
<b>RESOLUÇÃO COM MATERIAL NO RAIO EXTERNO DA FACA</b>					
$\theta_o$	(grau)	6.663975	21.03884	28.68798	31.49416
$V_o$	(m/s)	5.126965	5.026389	4.835268	4.587797
$V_x$	(m/s)	5.092326	4.691316	4.241724	3.911985
$V_y$	(m/s)	.5949650	1.804477	2.321119	2.396719
$X_t$	(m)	.4841232	.2921996	.2234173	.1800620
$Y_t$	(m)	.1401928	.1124576	.1027605	.0843472

## SUB-AMOSTRA U68

## Posicao da faca

A+28 A+13 A+00 A-16 A-31

## CONDICÕES DE CONTORNO

$\mu$		.94	.94	.94	.94	.94
$R_i$	(m)	.862	.875	.876	.882	.89
$(dx/d\theta)_i$		0	0	0	0	0
$\theta$	(grau)	32.3	19.9	15.6	12.6	11.2
$\alpha_i$	(grau)	26.37131	12.28501	.0902409	-14.7193	-28.1320
$k$		.4957903	.2177612	.0015750	-.262705	-.534668
$b$		.4273626	.1905411	.0013797	-.231706	-.475855
$\alpha_r$	(grau)	27.9841	13.2882	.0982	-16.0615	-30.7808
$n$	(m)	.816	.81	.805	.81	.82
$w$	(rad/s)	5.235988	5.235988	5.235988	5.235988	5.235988
$\gamma$	(grau)	47.7	47.3	47.7	47.3	47.3

## RESOLUÇÃO DA EQUAÇÃO DE POSIÇÃO DO MATERIAL DENTRO DA FACA

$l_{a1}$		.4324431	.4324431	.4324431	.4324431	.4324431
$l_{a2}$		-2.31244	-2.31244	-2.31244	-2.31244	-2.31244
$B_1$		.3112579	.5597155	.7368962	.8667193	.8761522
$B_2$		.0582074	.1046707	.1378048	.1620826	.1638466
$X$	(m)	.9055280	.9079214	.9036953	.9038610	.9076988
$Y$	(m)	.0215803	.0071690	.0000436	-.005743	-.009463
$R_e$	(m)	.9057851	.9079497	.9036953	.9038792	.9077481

## RESOLUÇÃO DA EQUAÇÃO DE VELOCIDADE

$(dx/d\theta)_o$		.1352103	.1728566	.1886995	.1868002	.1712082
$(dy/d\theta)_o$		.0670346	.0376415	.0002972	-.049073	-.091540
$V_{xo}$	(m/s)	.5949650	.8675385	.9878000	1.008154	.9459922
$V_{yo}$	(m/s)	5.092326	4.950955	4.733294	4.475658	4.273399

## RESOLUÇÃO COM MATERIAL NO RAIO EXTERNO DA FACA

$B_o$	(grau)	5.363975	21.43884	27.18798	31.49416	32.68214
$V_o$	(m/s)	5.126965	5.026389	4.835268	4.587797	4.376853
$V_x$	(m/s)	5.104513	4.678604	4.301030	3.911985	3.683906
$V_y$	(m/s)	.4792886	1.837184	2.209289	2.396719	2.363404
$X_t$	(m)	.4871792	.2914074	.2260307	.1800620	.1591946
$Y_t$	(m)	.1291732	.1144948	.0968769	.0843472	.0769577

## SUB-ANOSTRA U44

Posição da faca	A+28	A+13	A+00	A-16	A-31
-----------------	------	------	------	------	------

## CONDIÇÕES DE CONTORNO

$\mu$		.7	.7	.7	.7
$R_i$	(m)	.875	.875	.88	.888
$(dx/d\theta)_i$		0	0	0	0
$\theta$	(grau)	22.6	18.7	14.1	10.7
$\alpha_i$	(grau)	25.95004	12.28501	.0898307	-14.6176
$k$		.4866536	.2177612	.0015678	-.260909
$b$		.4256219	.1905411	.0013797	-.231598
$\alpha_r$	(grau)	27.9841	13.2882	.0982	-16.0615
$n$	(m)	.816	.81	.805	.81
$w$	(rad/s)	5.235988	5.235988	5.235988	5.235988
$\delta$	(grau)	50.8	50.7	50	48

## RESOLUÇÃO DA EQUAÇÃO DE POSIÇÃO DO MATERIAL DENTRO DA FACA

$l_{a1}$		.5206556	.5206556	.5206556	.5206556	.5206556
$l_{a2}$		-1.92066	-1.92066	-1.92066	-1.92066	-1.92066
$B_1$		.3669736	.5570417	.6915619	.7735438	.7483256
$B_2$		.0994800	.1510041	.1874701	.2096940	.2028578
$X$	(m)	.9058179	.9078488	.9039244	.9037891	.9078354
$Y$	(m)	.0149976	.0071532	.0000375	-.004118	-.009536
$R_e$	(m)	.9059420	.9078770	.9039244	.9037984	.9078855

## RESOLUÇÃO DA EQUAÇÃO DE VELOCIDADE

$(dx/d\theta)_o$		.1450551	.1887939	.1848417	.1625179	.1688351
$(d\theta/dt)_o$		.0705916	.0411120	.0002898	-.042386	-.090271
$V_{x0}$	(m/s)	.6809792	.9510686	.9876322	.8725034	.9339492
$V_{y0}$	(m/s)	5.112468	4.968747	4.734454	4.510295	4.280758

## RESOLUÇÃO COM MATERIAL NO RAIO EXTERNO DA FACA

$\theta_o$	(grau)	12.88712	20.13593	26.15108	30.94847	29.20758
$V_o$	(m/s)	5.157622	5.058950	4.832326	4.593912	4.381456
$V_x$	(m/s)	5.027708	4.749740	4.337665	3.939877	3.824387
$V_y$	(m/s)	1.150309	1.741536	2.129797	2.362497	2.138041
$X_t$	(m)	.3402567	.2789282	.2067077	.1526816	.1689296
$Y_t$	(m)	.1014349	.0941408	.0820501	.0723354	.0706648

## SUB-ANOSTRA U82 com A=0°

Velocidade terminal (m/s)	(4,2, 5,4, 7,6 e 9,1)	10,9 e >12,1
---------------------------	-----------------------	--------------

## CONDICÕES DE CONTORNO

$\mu$	.94	.94
$R_i$	(m)	.876
$(dx/d\theta)_i$		0
$\theta$	(grau)	15.6
$\alpha_i$	(grau)	.0902409
$k$		.0015750
$b$		.0013797
$\alpha_r$	(grau)	.0982
$n$	(m)	.805
$w$	(rad/s)	5.235988
$\delta$	(grau)	47
		47.9

## RESOLUÇÃO DA EQUAÇÃO DE POSIÇÃO DO MATERIAL DENTRO DA FACA

$l_{a1}$	.4324431	.4324431
$l_{a2}$	-2.31244	-2.31244
$B_1$	.7368962	.7368962
$B_2$	.1378048	.1378048
$X$	(m) .9036953	.9036953
$Y$	(m) .0000436	.0000436
$R_e$	(m) .9036953	.9036953

## RESOLUÇÃO DA EQUAÇÃO DE VELOCIDADE

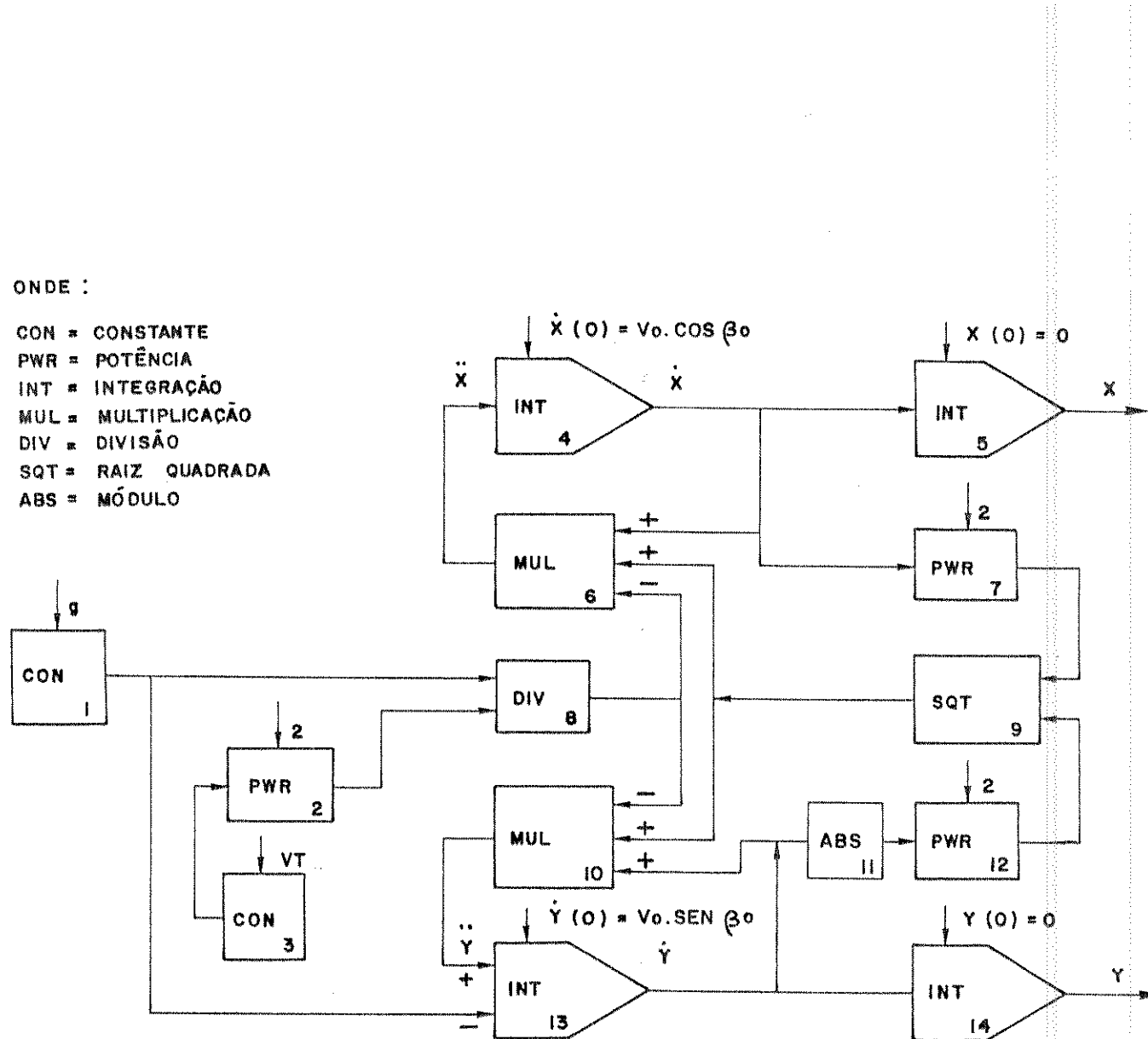
$(dx/d\theta)_o$	.1886995	.1886995
$(dy/d\theta)_o$	.0002972	.0002972
$V_{xo}$	(m/s) .9878000	.9878000
$V_{yo}$	(m/s) 4.733294	4.733294

## RESOLUÇÃO COM MATERIAL NO RAIO EXTERNO DA FACA

$B_o$	(grau) 27.88798	26.98798
$V_o$	(m/s) 4.835268	4.835268
$V_x$	(m/s) 4.273718	4.308716
$V_y$	(m/s) 2.261669	2.194262
$X_t$	(m) .2248302	.2263674
$Y_t$	(m) .0996310	.0960873

ONDE :

CON = CONSTANTE  
 PWR = POTÊNCIA  
 INT = INTEGRAÇÃO  
 MUL = MULTIPLICAÇÃO  
 DIV = DIVISÃO  
 SQT = RAIZ QUADRADA  
 ABS = MÓDULO



## ANEXO C - DADOS EXPERIMENTAIS DAS TRAJETÓRIAS.

		US1A-26		US1A-12		US1A-16		US1A-15		US1A-28	
		x (m)	y (m)								
<b>1a) Lançamento</b>											
		0	0	.025	0	.05	.025	.05	.025	0	0
		.05	.025	.1	.05	.125	.075	.125	.075	.05	.05
		.15	.075	.2	.1	.2	.1	.2	.15	.15	.1
		.225	.125	.25	.15	.25	.15	.25	.15	.225	.15
		.3	.175	.35	.175	.35	.175	.35	.175	.3	.175
		.375	.225	.45	.2	.45	.2	.45	.2	.375	.2
		.475	.25	.55	.25	.55	.25	.55	.25	.475	.25
		.55	.275	.6	.25	.6	.25	.6	.25	.55	.25
		.625	.3	.65	.25	.65	.25	.65	.25	.625	.25
		.7	.3	.75	.25	.75	.25	.75	.25	.75	.25
		.775	.35	.825	.25	.825	.3	.825	.3	.775	.325
		.85	.35	.925	.3	.925	.3	.925	.325	.85	.35
		.95	.35					.95	.325	.95	.375
<b>2a) Lançamento</b>											
		.425	0	.4	0	.425	0	.425	0	0	.425
		.1	.05	.15	.05	.15	.05	.15	.05	.05	.05
		.2	.075	.25	.05	.25	.05	.25	.05	.15	.1
		.275	.125	.35	.15	.35	.15	.35	.15	.225	.15
		.35	.15	.45	.15	.45	.15	.45	.15	.35	.15
		.45	.225	.55	.2	.55	.2	.55	.2	.375	.225
		.55	.25	.65	.25	.65	.25	.65	.25	.475	.25
		.6	.25	.75	.25	.75	.25	.75	.25	.55	.25
		.725	.3	.825	.25	.825	.3	.825	.3	.725	.3
		.775	.35	.85	.35	.85	.35	.85	.35	.775	.325
		.85	.35	.925	.35	.925	.35	.925	.35	.85	.325
		.95	.35					.95	.35	.95	.35
<b>3a) Lançamento</b>											
		.105	.05	.125	.05	.125	.05	.125	.05	.105	.05
		.125	.075	.145	.05	.145	.05	.145	.05	.125	.075
		.145	.1	.175	.05	.175	.05	.175	.05	.145	.1
		.175	.125	.225	.05	.225	.05	.225	.05	.175	.125
		.225	.15	.25	.05	.25	.05	.25	.05	.175	.15
		.25	.175	.35	.05	.35	.05	.35	.05	.225	.175
		.35	.2	.45	.05	.45	.05	.45	.05	.35	.2
		.45	.225	.55	.05	.55	.05	.55	.05	.45	.225
		.55	.25	.65	.05	.65	.05	.65	.05	.55	.225
		.65	.25	.75	.05	.75	.05	.75	.05	.65	.225
		.75	.3	.825	.05	.825	.3	.825	.05	.775	.3
		.85	.3	.925	.05	.925	.3	.925	.05	.85	.325
		.95	.3	.975	.05	.975	.3	.975	.05	.95	.325
M	0	M	0	M	0	M	0	M	0	M	0
A1	.3726134	A1	.3823355	A1	.5173837	A1	1.021876	A1	.7263991	A1	
A2	1.014861	A2	1.546514	A2	.7818748	A2	-2.41756	A2	-.151863	A2	
A3	-2.81166	A3	-5.45468	A3	-3.49436	A3	4.023336	A3	-2.38527	A3	
A4	2.628514	A4	6.331813	A4	4.358974	A4	-3.22347	A4	4.377089	A4	
A5	-.949225	A5	-2.52620	A5	-1.81543	A5	.9426663	A5	-2.22999	A5	
R^2	0,98	R^2	0,97	R^2	0,97	R^2	0,99	R^2	1		

USA-28		USA-12		USA-48		USA-15		USA-28	
x (a)	s (a)	x (a)	s (a)	x (a)	s (a)	x (a)	s (a)	x (a)	s (a)
<b>1o Lancamento</b>									
.825	.6	.675	.625	.4	.425	.4	.425	.4	.4
.4	.45	.15	.075	.175	.075	.075	.075	.45	.45
.15	.075	.2	.125	.25	.125	.15	.1	.1	.1
.875	.125	.275	.175	.325	.15	.25	.15	.2	.15
.85	.15	.35	.175	.4	.175	.325	.175	.225	.175
.4	.175	.45	.2	.5	.2	.4	.225	.35	.2
.475	.2	.585	.35	.55	.25	.475	.25	.45	.225
.55	.225	.4	.275	.45	.25	.55	.275	.5	.35
.45	.25	.475	.275	.5	.275	.425	.25	.375	.225
.725	.275	.75	.3	.775	.275	.7	.325	.45	.275
.775	.275	.825	.3	.825	.3	.78	.325	.7	.3
.875	.35	.925	.325	.9	.3	.825	.35	.775	.325
.925	.35	.925	.325	.925	.35	.925	.375	.925	.35
<b>2o Lancamento</b>									
.4	.6	.475	.425	.475	.425	.475	.45	.4	.4
.475	.425	.475	.425	.45	.475	.45	.475	.475	.425
.15	.075	.35	.1	.225	.1	.225	.125	.15	.125
.825	.1	.85	.15	.3	.15	.3	.175	.225	.15
.3	.125	.35	.15	.375	.175	.4	.2	.3	.2
.4	.15	.475	.225	.45	.225	.475	.225	.375	.225
.6	.175	.55	.225	.525	.225	.55	.25	.45	.225
.55	.2	.625	.275	.625	.25	.625	.275	.525	.25
.625	.225	.7	.3	.7	.3	.75	.325	.625	.225
.7	.25	.725	.3	.775	.3	.78	.325	.7	.3
.75	.275	.825	.3	.825	.3	.825	.325	.75	.3
.825	.35	.925	.325	.925	.35	.925	.375	.925	.35
.925	.35	.925	.325	.925	.35	.925	.375	.925	.35
<b>3o Lancamento</b>									
.425	.425	.475	.425	.425	.4	.4	.4	.425	.425
.1	.075	.15	.075	.175	.075	.075	.1	.1	.075
.475	.1	.225	.1	.175	.125	.225	.125	.175	.125
.25	.125	.3	.15	.225	.15	.3	.175	.25	.175
.325	.175	.375	.175	.325	.15	.375	.125	.2	.175
.425	.2	.45	.2	.45	.225	.425	.225	.3	.225
.5	.225	.585	.225	.575	.25	.5	.225	.475	.225
.575	.25	.625	.225	.625	.25	.575	.25	.55	.25
.625	.275	.725	.275	.725	.3	.675	.3	.625	.275
.725	.3	.825	.3	.825	.3	.75	.3	.7	.3
.825	.3	.925	.3	.825	.3	.825	.325	.75	.325
.925	.3	.925	.3	.925	.3	.925	.325	.825	.325
<b>4o Lancamento</b>									
A6	0	A6	0	A6	0	A6	0	A6	0
A1 .5986157		A1 .4317158		A1 .2928268		A1 .7951947		A1 .9129251	
A2 -.363792		A2 .3522445		A2 1.6344649		A2 -1.38237		A2 -.812398	
A3 -.791216		A3 -.754146		A3 -4.97661		A3 2.727576		A3 -1.92818	
A4 2.553274		A4 2.187466		A4 5.638735		A4 -2.89755		A4 3.175292	
A5 -1.8254		A5 .4568758		A5 -2.29732		A5 1.116826		A5 -2.4822	
E'2 4,97		E'2 4,96		E'2 4,98		E'2 4		E'2 4,99	

	U44-28		U44-12		U44-48		U44-15		U44-28	
	x (a)	y (a)								
<b>lo lancamento</b>										
.65	.15		.65	0	.65	0	.65	.15	0	0
.125	.15		.125	.15	.125	.15	.125	.15	.125	.15
.2	.075		.2	.075	.2	.075	.2	.2	.1	.1
.3	.15		.075	.15	.075	.15	.275	.125	.225	.15
.35	.15		.3	.15	.3	.15	.35	.175	.3	.175
.45	.15		.45	.15	.45	.15	.45	.175	.375	.2
.485	.225		.5	.225	.5	.225	.525	.2	.45	.225
.525	.225		.525	.225	.525	.225	.575	.225	.525	.225
.575	.225		.575	.225	.575	.225	.65	.25	.6	.25
.625	.225		.625	.225	.625	.225	.725	.275	.675	.275
.675	.225		.675	.225	.675	.225	.775	.275	.725	.275
.725	.225		.725	.225	.725	.225	.825	.3	.785	.3
.75	.225		.75	.225	.75	.225	.875	.3	.825	.3
.825	.225		.825	.225	.825	.225	.875	.3	.825	.3
.9	.225		.9	.225	.9	.225	.875	.3	.875	.3
<b>2o lancamento</b>										
.45	0		.45	0	.45	0	.45	.15	0	0
.075	.15		.1	.15	.125	.15	.1	.15	.05	.1
.15	.075		.125	.075	.125	.075	.15	.125	.15	.15
.185	.15		.185	.15	.185	.15	.225	.125	.175	.175
.25	.15		.25	.15	.25	.15	.3	.15	.25	.2
.3	.15		.4	.15	.45	.2	.4	.175	.35	.225
.35	.15		.35	.15	.35	.15	.475	.2	.425	.225
.385	.15		.385	.15	.385	.15	.525	.125	.485	.225
.425	.15		.425	.15	.425	.15	.575	.125	.525	.225
.45	.15		.45	.15	.45	.15	.625	.125	.575	.225
.485	.15		.485	.15	.485	.15	.675	.125	.625	.225
.525	.15		.525	.15	.525	.15	.725	.125	.675	.225
.575	.15		.575	.15	.575	.15	.775	.125	.725	.225
.625	.15		.625	.15	.625	.15	.825	.125	.775	.225
.675	.15		.675	.15	.675	.15	.875	.125	.825	.225
.725	.15		.725	.15	.725	.15	.875	.125	.825	.225
.75	.15		.75	.15	.75	.15	.875	.125	.825	.225
.825	.15		.825	.15	.825	.15	.875	.125	.825	.225
.9	.15		.9	.15	.9	.15	.875	.125	.825	.225
<b>3o lancamento</b>										
.45	0		.45	0	.45	0	.45	.15	0	0
.1	.15		.1	.15	.125	.15	.1	.15	.05	.1
.175	.075		.175	.075	.175	.075	.225	.125	.175	.175
.25	.15		.25	.15	.25	.15	.3	.15	.25	.2
.3	.15		.35	.15	.35	.15	.375	.125	.35	.2
.35	.15		.4	.15	.45	.2	.4	.175	.45	.225
.385	.15		.385	.15	.385	.15	.525	.125	.485	.225
.425	.15		.425	.15	.425	.15	.575	.125	.525	.225
.45	.15		.45	.15	.45	.15	.625	.125	.575	.225
.485	.15		.485	.15	.485	.15	.675	.125	.625	.225
.525	.15		.525	.15	.525	.15	.725	.125	.675	.225
.575	.15		.575	.15	.575	.15	.775	.125	.725	.225
.625	.15		.625	.15	.625	.15	.825	.125	.775	.225
.675	.15		.675	.15	.675	.15	.875	.125	.825	.225
.725	.15		.725	.15	.725	.15	.875	.125	.825	.225
.75	.15		.75	.15	.75	.15	.875	.125	.825	.225
.825	.15		.825	.15	.825	.15	.875	.125	.825	.225
.9	.15		.9	.15	.9	.15	.875	.125	.825	.225
M	0		M	0	M	0	M	0	M	0
A1	.5417747		A1	.0793658	A1	.2407551	A1	.3794164	A1	.1323399
A2	-1.37778		A2	2.944587	A2	2.329829	A2	1.327999	A2	-1.79884
A3	4.725142		A3	-7.57712	A3	-7.71966	A3	-5.45377	A3	.8676859
A4	-6.43895		A4	7.67991	A4	9.548748	A4	7.52914	A4	1.291599
A5	2.738341		A5	-2.80564	A5	-4.14797	A5	-3.58424	A5	-1.14053
R2	1,96		R2	1,98	R2	1,97	R2	1	R2	1,99

nº	V=4,2 m/s		V=5,4 m/s		V=7,6 m/s		V=9,1 m/s		V=11,9 m/s		V=12,1 m/s	
	x (m)	z (m)	x (m)	z (m)	x (m)	z (m)	x (m)	z (m)	x (m)	z (m)	x (m)	z (m)
<b>1º lançamento</b>												
-	-	-	-	-	.425	-	-	-	.425	-	.4	.425
.15	.15	.475	.15	.45	.175	.475	.15	.45	.175	.45	.175	.45
.15	.075	.45	.075	.15	.125	.125	.125	.1	.125	.15	.125	.1
.2	.2	.25	.25	.15	.25	.15	.25	.1	.25	.15	.25	.15
.3	.35	.15	.35	.15	.4	.15	.4	.15	.425	.2	.5	.2
.35	.35	.45	.35	.45	.475	.25	.475	.225	.5	.225	.55	.225
.45	.45	.55	.45	.55	.55	.25	.55	.225	.575	.25	.65	.25
.55	.55	.65	.55	.65	.625	.25	.625	.225	.65	.25	.725	.25
.6	.6	.75	.6	.75	.7	.3	.7	.25	.725	.3	.8	.25
.65	.65	.85	.65	.85	.775	.35	.775	.3	.875	.35	.875	.35
.75	.75	.95	.75	.95	.825	.35	.825	.35	.875	.35	.95	.35
.85	.85	.95	.85	.95	.875	.35	.875	.35	.925	.35	.925	.35
.95	.95	.95	.95	.95	.925	.35	.925	.35	.975	.35	.975	.35
1	1	1	1	1	1	1	1	1	1	1	1	1
<b>2º lançamento</b>												
-	-	-	-	-	.425	-	-	-	.425	-	.425	-
.15	.15	.475	.15	.45	.175	.45	.15	.45	.175	.45	.15	.475
.15	.075	.45	.075	.15	.225	.15	.225	.1	.225	.15	.225	.1
.2	.2	.25	.25	.15	.275	.15	.275	.1	.275	.15	.3	.15
.3	.35	.15	.35	.15	.425	.15	.425	.15	.475	.15	.475	.15
.35	.35	.45	.35	.45	.525	.15	.525	.15	.575	.15	.55	.15
.45	.45	.55	.45	.55	.575	.15	.575	.15	.625	.15	.625	.15
.55	.55	.65	.55	.65	.625	.15	.625	.15	.675	.15	.725	.15
.6	.6	.75	.6	.75	.675	.15	.675	.15	.725	.15	.775	.15
.65	.65	.85	.65	.85	.725	.15	.725	.15	.775	.15	.825	.15
.75	.75	.95	.75	.95	.775	.15	.775	.15	.825	.15	.875	.15
.85	.85	.95	.85	.95	.825	.15	.825	.15	.875	.15	.925	.15
.95	.95	.95	.95	.95	.875	.15	.875	.15	.925	.15	.975	.15
1	1	1	1	1	1	1	1	1	1	1	1	1
<b>3º lançamento</b>												
-	-	-	-	-	.425	-	-	-	.425	-	.425	-
.15	.15	.475	.15	.45	.175	.45	.15	.45	.175	.45	.15	.475
.15	.075	.45	.075	.15	.225	.15	.225	.1	.225	.15	.225	.1
.2	.2	.25	.25	.15	.275	.15	.275	.1	.275	.15	.3	.15
.3	.35	.15	.35	.15	.425	.15	.425	.15	.475	.15	.475	.15
.35	.35	.45	.35	.45	.525	.15	.525	.15	.575	.15	.55	.15
.45	.45	.55	.45	.55	.575	.15	.575	.15	.625	.15	.625	.15
.55	.55	.65	.55	.65	.625	.15	.625	.15	.675	.15	.725	.15
.6	.6	.75	.6	.75	.675	.15	.675	.15	.725	.15	.775	.15
.65	.65	.85	.65	.85	.725	.15	.725	.15	.775	.15	.825	.15
.75	.75	.95	.75	.95	.775	.15	.775	.15	.825	.15	.875	.15
.85	.85	.95	.85	.95	.825	.15	.825	.15	.875	.15	.925	.15
.95	.95	.95	.95	.95	.875	.15	.875	.15	.925	.15	.975	.15
1	1	1	1	1	1	1	1	1	1	1	1	1
M	0	M	0	M	0	M	0	M	0	M	0	M
A1	.4829193	A1	.4879944	A1	.4489529	A1	.4349912	A1	.2472992	A1	.2839515	A1
A2	.3945567	A2	.8183777	A2	.5141228	A2	.1999347	A2	.1932481	A2	.1921488	A2
A3	-.988892	A3	-.1791111	A3	-.114291	A3	-.658978	A3	-.656598	A3	-.114688	A3
A4	.4746966	A4	.1491524	A4	.5274531	A4	.4668923	A4	.5141461	A4	.386558	A4
A5	-.693441	A5	-.692955	A5	-.264981	A5	-.179818	A5	-.5945155	A5		A5
R²	0,99	R²	0,99	R²	0,97	R²	0,98	R²	0,98	R²	0,98	R²

**ANEXO D - COORDENADAS AJUSTADAS DAS TRAJETÓRIAS TEÓRICAS E EXPERIMENTAIS.**

08IA+28				08IA+13				08IA+08			
I	X(T)	Y(E)	Y(T)-Y(E)	I	X(T)	Y(E)	Y(T)-Y(E)	I	X(T)	Y(E)	Y(T)-Y(E)
.021753	.0133481	.0471821	.0143391	.112349	.0125868	.0456835	.0054691	.002316	.011681	.0554515	.0154734
.143179	.0266116	.0187118	.0476931	.4246616	.0273693	.0157299	.0114574	.0042225	.0157691	.0293381	.0129465
.088193	.0501287	.0297761	.0033768	.0381529	.0411845	.0282957	.0160247	.0052762	.0232969	.0195344	.0191758
.4892345	.0496861	.0412799	.0453262	.0496461	.0551498	.0361948	.0249745	.0051475	.0365821	.012168	.0253663
.1123724	.0644115	.0533479	.0074635	.0044115	.0692975	.0074623	.0028957	.0053276	.0374623	.0293184	.012167
.1258437	.0725604	.0584668	.0471727	.0745805	.0634894	.0444185	.0319222	.0041931	.0444185	.0302622	.0374681
.1375157	.0690458	.0753469	.0013769	.0038458	.0978331	.0589654	.0477936	.003128	.0589656	.0747492	.0425733
.1634836	.0638575	.0712423	.0427667	.0388275	.1122873	.0572628	.0558518	.0014118	.0572626	.0852404	.0482773
.2078993	.0678916	.1044652	.007671	.0979116	.1285847	.0633076	.0518448	.004733	.0633076	.0768217	.0532474
.222167	.1044491	.1176512	.0013212	.1144391	.1415169	.0699988	.0720677	.003219	.0699988	.1079576	.0588655
.2504732	.1111198	.1044924	.0019297	.1111198	.1562814	.0746345	.0684624	.005168	.0746345	.1191624	.0393116
.2615584	.1172537	.1436493	.0052441	.1172538	.1711398	.079129	.0638782	.000915	.079129	.1394457	.0638447
.3045183	.1226141	.1553841	.002778	.1226142	.1886877	.0849232	.0478919	.0012159	.0849235	.1419148	.0734641
.3314278	.1272847	.1672897	.0044921	.1272848	.2012424	.0891818	.0152942	.005512	.0891818	.153227	.0782682
.3546852	.1312499	.1707593	.004754	.1312498	.2162336	.0941893	.1131792	.003799	.0941894	.1647622	.0826565
.3821896	.1344462	.187251	.005205	.1344463	.2314225	.0994237	.1208955	.0025282	.0994238	.1743342	.0859483
.4078482	.1389554	.204174	.0052821	.1389555	.2466827	.1023727	.1289755	.0024942	.1023738	.1878275	.0818281
.4304754	.1382535	.2147764	.017323	.1382535	.2620096	.1040892	.1357954	.002989	.1040982	.1994740	.0950587
.4585891	.1397828	.2194668	.007574	.1397828	.2773994	.1095359	.1431363	.003348	.1095359	.211173	.0695768
.464123	.1401973	.2201578	.007945	.1401973	.2922	.112458	.1497544	.0072992	.1125791	.223417	.1125434
.549515	.1433442	.2362819	.003237	.1392369	.315593	.121038	.156532	.003325	.1565325	.244571	.1142128
.534759	.1454285	.2437946	.001914	.1454287	.336952	.129918	.1688585	.003941	.1295181	.265458	.125384
.559858	.147749	.2507471	.002758	.1374218	.361963	.130827	.1773594	.0039152	.1252922	.286534	.1362825
.584816	.1504115	.2574491	.007434	.1345799	.384987	.1426195	.1852003	.0038995	.1252921	.307349	.1467475
.649634	.151825	.2423349	.0011014	.1314576	.407845	.153915	.1924265	.002811	.1277215	.328956	.158986
.634314	.15233	.2398114	.007461	.152337	.43642	.161338	.1994922	.0037754	.1529345	.349556	.166929
.6568536	.1544882	.2728421	.0018129	.1521831	.452323	.166478	.2052549	.0043779	.1525777	.369175	.174574
.683264	.155733	.2774648	.0012724	.1486356	.475766	.173535	.2107946	.0035649	.1294559	.389541	.18593
.707541	.156533	.2847415	.0024169	.1122136	.49816	.181911	.2163398	.0034428	.1291795	.407829	.194992
.731684	.157404	.2838865	.0028993	.1571742	.524308	.182046	.2213847	.0031079	.1281566	.430417	.203765
.755694	.157397	.2915524	.0021919	.1592321	.5423	.194226	.2261917	.003163	.1265938	.454105	.212255
.777579	.157445	.2934993	.0012524	.1594434	.564468	.199772	.2308117	.0038941	.1249498	.474896	.224449
.803334	.157257	.294265	.003344	.1582964	.586584	.2054943	.2353446	.0029842	.1218497	.489969	.228365
.826983	.158826	.2913218	.0034496	.1729248	.608409	.2193441	.2377188	.0042978	.1197162	.507788	.235996
.856467	.158153	.2917412	.003588	.1628231	.531224	.2155849	.2444963	.0028527	.1154384	.529492	.243347
.873847	.155233	.2915121	.003274	.1628273	.551731	.2242227	.2484749	.0026244	.1142377	.549104	.254419
.897114	.154484	.2915238	.003584	.1645748	.573231	.2244818	.2528647	.0028249	.1161141	.568425	.257213
.92424	.152691	.2882874	.002405	.1628321	.594625	.228742	.2572773	.0028355	.1140669	.588655	.262731
.943254	.151861	.2843894	.003289	.1582889	.715916	.2326482	.2617657	.0029144	.1054934	.607394	.269795
.966153	.149194	.2825988	.003765	.1613194	.737103	.2361978	.2662618	.0036464	.0887916	.626649	.275945
.980832	.147493	.2765425	.003154	.1613475	.758188	.2395282	.2707634	.0031231	.0819562	.645815	.281644
					.779172	.242646	.2725348	.0028229	.0745818	.664895	.287071
					.804437	.245421	.2796244	.0034245	.0666611	.683291	.292232
					.826443	.247977	.2838734	.0032897	.0581859	.728281	.297125
					.841531	.254277	.2878971	.0037620	.0491463	.721632	.301751
					.862123	.252321	.2916423	.0037281	.0395299	.74638	.304112
					.882822	.254112	.2948788	.0044767	.0293230	.759146	.31021
					.903822	.255849	.2975997	.0041951	.0185143	.777433	.314646
					.92333	.258735	.2996221	.0042887	.0079735	.796141	.317621
					.943546	.257977	.3047832	.0042816	.0050889	.814571	.324725
					.963337	.258755	.3049156	.0042181	.0017768	.832923	.323992
										.851199	.32679
										.863499	.329333
										.887524	.33162
										.905571	.333453
										.923553	.335433
										.941458	.337961
										.95291	.338238

USA-14				USA-31				USA-48			
X	T(E)	T(E) T(T)-T(E)	T(FAC)	X	T(E)	T(E) T(T)-T(E)	T(FAC)	X	T(E)	T(E) T(T)-T(E)	T(FAC)
.005126	.0051321	.005264	-.003394	.0051321	.0051574	.0045887	.0055120	-.005726	.0045887	.0026724	.0120425
.0178811	.0161783	.0167691	-.005599	.0161783	.0152373	.0076189	.0116342	-.01835	.0076189	.0044379	.0236379
.0237445	.0151139	.0247462	-.009322	.0151139	.0229258	.0135332	.0165372	-.005821	.0135332	.0044379	.0236379
.0343812	.0197625	.034354	-.012473	.0197625	.0343536	.0178782	.0207531	-.004177	.0178782	.0072358	.0366384
.0431117	.0247153	.0318728	-.015157	.0247153	.0384245	.0221844	.0275818	-.0053397	.0221844	.0193374	.0175488
.0518705	.0293719	.0474575	-.017488	.0293719	.0462370	.0253945	.0307684	-.006678	.0253945	.113714	.0378435
.0647259	.0339316	.0339972	-.004686	.0339316	.0549492	.0385284	.0385051	-.0038067	.0385284	.1373716	.0374612
.0676679	.0363939	.0367444	-.022384	.0363939	.0619364	.0245944	.0351697	-.0035846	.0351697	.1612947	.0744654
.0785395	.0427583	.0571741	-.024416	.0427583	.0899159	.0395533	.0493898	-.018395	.0395533	.1954523	.0346719
.0875184	.0474243	.0734279	-.026184	.0474243	.0778589	.0424453	.0474272	-.012526	.0424453	.2098373	.0222541
.0954948	.0511912	.0795499	-.028579	.0511912	.0888957	.0462887	.0569391	-.013758	.0462887	.2344264	.0391461
.1053104	.0552587	.0853984	-.034454	.0552587	.0937414	.0444537	.0523999	-.0152366	.0444537	.2591939	.1653424
.1147242	.0652263	.0981925	-.031728	.059263	.1094233	.0538998	.0705849	-.016895	.0538998	.2841382	.1166379
.1238811	.0637933	.0984142	-.033317	.0637933	.1101468	.0572868	.0756497	-.019383	.0572868	.3462214	.1155265
.1308799	.0646595	.1016982	-.034831	.0646595	.1182329	.0647743	.0807382	-.019336	.0647743	.3346298	.1197162
.1422196	.0742845	.1066049	-.032777	.0742845	.1264789	.0642219	.0874219	-.0173581	.0642219	.3577431	.1236799
.1515991	.0744872	.1117547	-.037464	.0744872	.1345788	.0675594	.0886832	-.021114	.0675594	.3851414	.1257346
.1661711	.0775488	.1165484	-.039698	.0775488	.1429494	.0748383	.0953497	-.024714	.0708363	.4186444	.1276726
.1742727	.0889648	.1212017	-.044296	.0889648	.1512323	.0748225	.1043396	-.02316	.0748225	.4361119	.1289924
.1884442	.0843472	.1259347	-.041538	.0843472	.1591975	.0719576	.1048263	-.027893	.0719575	.4618438	.1293927
.199524	.0761837	.1348295	-.038846	.0761837	.1775751	.0883293	.1149157	-.0355447	.0883293	.476179	.1291793
.208984	.1077449	.1401738	-.035465	.0955534	.1952856	.0999734	.1244546	-.02457	.0952856	.5125111	.131434
.2382916	.118932	.1511203	-.032993	.1019279	.214453	.1110538	.1334668	-.022409	.0952464	.537446	.133412
.257512	.129854	.1584579	-.038245	.1048826	.232163	.121826	.1419813	-.021555	.1044327	.5626985	.135111
.2766323	.144777	.1651494	-.035663	.1112492	.250188	.132297	.1580161	-.017718	.1651944	.586198	.136535
.295844	.158044	.1723249	-.021232	.0952246	.288129	.1424277	.1575845	-.0151119	.0952246	.610638	.137723
.3145936	.1686836	.1786388	-.018633	.1187588	.285788	.152364	.1647516	-.012388	.1134925	.633534	.138634
.33944	.1767578	.1852484	-.01452	.1218338	.343745	.161961	.1715124	-.007551	.1178547	.656495	.139284
.352194	.188424	.1914107	-.011358	.1245544	.321461	.17127	.1797121	-.0066462	.1266226	.679533	.13969
.376683	.181814	.1974116	-.013238	.1262827	.339479	.186293	.1939785	-.012393	.1239341	.742055	.139842
.3929443	.191956	.2033468	-.005291	.1227432	.356619	.189401	.1977747	-.0074746	.1254766	.742427	.1377474
.4079238	.206343	.2091838	-.002541	.1301883	.374481	.197497	.1953047	-.0121863	.1275632	.7446187	.139414
.426349	.214746	.2149462	-.17147	.1312078	.391468	.205661	.2086132	.0054478	.1293816	.747813	.138809
.4446472	.222966	.2268452	-.003818	.1260869	.4067281	.213555	.2157441	.0078118	.1269664	.778156	.1384826
.462922	.239747	.2242897	-.0444173	.1323541	.424619	.2242721	.2174721	.0144429	.1317537	.818223	.134984
.481088	.238168	.2318338	-.042842	.1323337	.431185	.2285849	.2155769	-.0129121	.1324637	.831021	.13571
.497171	.24351	.2374343	-.007927	.1313546	.468279	.235673	.2203054	.0151894	.1328857	.851557	.134248
.517177	.25228	.2421928	-.003948	.1312698	.477363	.242363	.2251216	.0172484	.1326844	.871036	.132481
.535145	.258879	.2482751	-.016167	.1301138	.494257	.2480279	.2298345	.0194445	.1327288	.891845	.134532
.552297	.252562	.2574749	-.0114953	.1286666	.511141	.255125	.2345548	.0205746	.1321777	.91165	.128363
.570733	.271341	.2599967	-.0124493	.1268749	.527958	.261101	.2392864	.0218144	.1313158	.931197	.125976
.588434	.277158	.2640376	-.0126844	.1247298	.547478	.268888	.2446681	.0227399	.1316144	.940048	.1287444
.606682	.282707	.2675413	-.0131557	.1222426	.561391	.27226	.2487488	.0233392	.1286778	.953371	.1295197
.623616	.274998	.2746379	-.0133511	.1194132	.578049	.277421	.2538216	.0235994	.1286923	.9710524	.1324145
.641699	.29384	.2796382	-.0133558	.1162413	.594562	.2823	.2588151	.0235149	.1248122	.981165	.1284038
.65851	.297753	.2845313	-.0132217	.1212728	.611051	.286975	.2639943	.0236697	.1224318	.991021	.13571
.675851	.302235	.2893467	-.0129221	.1208724	.621477	.291357	.2696641	.0222949	.1197521	.1014279	.142719
.693122	.308442	.2939545	-.0125073	.1184574	.634384	.295478	.2743499	.0211894	.1187744	.103638	.1435648
.711035	.316424	.2994444	-.0119344	.1160132	.646141	.299339	.2792331	.0177459	.1134777	.1071036	.1437395
.727459	.314125	.3022428	-.0134942	.1162413	.674382	.30291	.2852804	.0171796	.1109228	.1108145	.1443747
.744526	.317566	.3070279	-.0165381	.0904139	.692581	.306283	.284532	.0158278	.1084495	.1127748	.145933
.761527	.320745	.3118445	-.0046555	.0944349	.708681	.309349	.2875142	.0134588	.1081765	.1142027	.1464448
.778442	.323676	.3149262	-.0037498	.0748742	.724742	.312199	.3013644	.0181346	.0974827	.116357	.1474568
.795332	.323437	.3183664	-.0077411	.0722929	.747474	.314773	.3067839	.0079891	.0926269	.1180845	.1484658
.812137	.328762	.3220775	-.0066645	.0655499	.758687	.317474	.3121316	.0049224	.0875472	.1202653	.1494338
.828679	.334923	.3253959	-.005271	.0585311	.772574	.319181	.3173666	.0017954	.0921645	.1217749	.150738
.845556	.332832	.328475	-.004345	.0511494	.788443	.320976	.3224931	-.001463	.0764448	.123657	.152444
.862171	.334488	.3313998	-.0036882	.0433279	.804175	.322524	.3272992	-.001758	.0704568	.125458	.1545648
.878724	.335893	.3341628	-.0017919	.0432179	.817972	.323853	.3318857	-.003033	.0641321	.127458	.1564568
.895215	.337449	.3368444	-.0014446	.0268744	.830553	.324917	.331375	-.011221	.0574871	.129458	.1584568
.911645	.337955	.3387995	-.0049555	.0177199	.851158	.325732	.3397846	-.01423	.0585173	.1324111	.1615744
.928014	.338813	.3410211	-.002446	.0083564	.86471	.3262	.3433334	-.017753	.0432164	.1342164	.1635744
.944323	.337824	.3429449	-.003921	.0081432	.882266	.32662	.3461817	-.017542	.0355789	.1364538	.16515178
.964573	.339189	.3446865	-.005499	.0111658	.897449	.326495	.3463256	-.021631	.0275981	.1384889	.1666384
.974468	.33241	.3467777	-.002688	.017745	.913939	.326525	.349532	-.023226	.0172663	.140237	.1684448
.983073	.326111	.3542475	-.024237	.0142207	.923073	.326111	.3542475	-.024237	.0142207	.1415744	.1695744
.993458	.325453	.3504661	-.024553	.0015178	.943458	.326453	.3504661	-.024553	.0015178	.143458	.1715178
.958889	.324333	.3486247	-.024428	.0077919	.958889	.324333	.3486247	-.024428	.0077919	.145458	.1735744
.974468	.32341	.3467777	-.002688	.017745	.974468	.32341	.3467777	-.002688	.017745	.1474468	.1755744

USA+10						USA+00						USA-10					
X	Y(T)	Y(E)	Y(T)-Y(E)	Y(ACA)		X	Y(T)	Y(E)	Y(T)-Y(E)	Y(ACA)		X	Y(T)	Y(E)	Y(T)-Y(E)	Y(ACA)	
.813267	.8488782	.8459847	.8421925	.8408782		.8105917	.8462684	.8431176	.8408997	.8402684		.8385126	.8451321	.8426670	.841535	.8451321	
.8271991	.8157442	.8119918	.8036164	.8159492		.8212277	.823689	.807219	.8054861	.8173380		.8170815	.8181703	.8131928	-.819423	.8181703	
.8416649	.8235832	.8182516	.8053321	.8235837		.828261	.8193638	.8184378	.8077547	.8193638		.8257445	.8151139	.8195718	-.8044453	.8151139	
.8547349	.8289533	.8246741	.8162924	.8393663		.8283448	.8241925	.8148113	.8193812	.8241925		.8343617	.8199625	.8250129	-.805850	.8199625	
.8489932	.8391592	.8321281	.8465578	.8301859		.8307818	.8297331	.8153624	.815711	.8297331		.8431117	.8247153	.819216	-.817266	.8247153	
.8531742	.8245493	.8279527	.8187476	.8245493		.8447732	.8351048	.8294549	.8193498	.8351048		.8319793	.8293719	.8179784	-.809531	.8293719	
.8797429	.8516473	.8443861	.8053412	.8516474		.8756129	.8487334	.8294134	.817424	.8467844		.8467259	.8339316	.8437534	-.809332	.8339316	
.8118451	.8280451	.8157668	.8052791	.8280451		.8635828	.8461661	.8342427	.8117734	.8461661		.859679	.8339329	.8495876	-.811114	.8339329	
.8244656	.8641917	.8588368	.8533817	.8641917		.8681928	.8514941	.8396271	.8114671	.8516942		.8785395	.8427583	.8551416	-.812380	.8427583	
.8163119	.8744851	.8552854	.8441461	.8744851		.8494718	.8561911	.8451722	.8166469	.8561911		.8495164	.8479243	.8566589	-.813645	.8479243	
.1557565	.8757237	.8732179	.8025458	.8757237		.1269151	.8687981	.8580544	.8499357	.8687981		.865408	.8511912	.8686967	-.814985	.8511912	
.1745778	.8811467	.8365153	.8445595	.8811468		.1322231	.8454842	.8545845	.8487554	.8545842		.1054144	.8552587	.8714296	-.816171	.8552587	
.1854962	.8656296	.8673635	.861633	.8656296		.1436736	.8698645	.8525388	.8793279	.8698645		.1147242	.8592823	.8766726	-.817446	.8592823	
.2044894	.8914937	.8924827	-.864155	.8914937		.1552224	.8741783	.8484975	.8056728	.8741784		.1238891	.8694933	.8310347	-.818737	.8309933	
.2152707	.8756966	.8628572	-.865961	.8756966		.1665894	.8783168	.8474547	.8438976	.8783168		.1330799	.8685595	.8669407	-.820449	.8668595	
.2347298	.1000374	.1104751	-.1104438	.1000374		.1784518	.8220526	.8065484	.817567	.8220526		.1423196	.8705243	.8195112	-.821397	.8705243	
.2458169	.1041134	.1174885	-.1132373	.1041134		.1981474	.8641346	.8666134	.804469	.8641347		.1515991	.8748372	.8666129	-.822750	.8748373	
.2612625	.1079247	.1246836	-.104953	.1079248		.2018944	.8690844	.8262553	.802951	.8690844		.1649171	.8775434	.1417079	-.824164	.8775434	
.2766270	.1114688	.1322472	-.828777	.1114688		.2136895	.8733142	.8686895	.805274	.8733142		.1782727	.8987658	.1865145	-.825664	.8987658	
.2914007	.1144975	.1392615	-.824768	.1144613		.2264031	.8686768	.8104949	.803644	.8686768		.1868662	.8843472	.1114539	-.827107	.8843472	
.3144629	.132496	.1561241	-.826268	.1198443		.2473884	.1077228	.1155745	-.807847	.1073894		.199491	.861334	.1210386	-.824945	.861334	
.3247495	.1321111	.1564325	-.828492	.1227963		.2684243	.1161071	.1257826	-.807611	.1173562		.216849	.1075645	.1322284	-.822722	.8645451	
.3400224	.1443524	.1745894	-.836333	.1259114		.289164	.1282223	.1355444	-.807324	.1117376		.237549	.1181433	.1397816	-.824589	.1016395	
.3622229	.1482238	.1883716	-.832134	.1294915		.3096157	.137891	.1448539	-.806963	.1155628		.256199	.1297671	.1476911	-.816538	.1016395	
.4044115	.1557653	.1894446	-.833877	.1303533		.329791	.147184	.1537134	-.806529	.1108824		.2744649	.1322729	.1558728	-.816594	.1108812	
.425869	.1629453	.1958411	-.825538	.1317388		.347894	.156169	.1621339	-.806025	.1216643		.292734	.1491113	.1638877	-.814775	.114356	
.446982	.1697779	.2062474	-.827163	.1326468		.3693305	.164473	.1701333	-.805434	.1239812		.319733	.15658	.1716752	-.813975	.1108714	
.467798	.1762722	.2149679	-.836861	.1329416		.388722	.178822	.1777342	-.804852	.1258464		.328462	.167688	.1792589	-.811563	.1210332	
.488697	.1824466	.2228282	-.844132	.1328415		.407842	.186743	.1846623	-.804219	.1272754		.345777	.1764443	.1866273	-.810184	.1237046	
.5091407	.1882914	.2297837	-.841498	.1322591		.426743	.189282	.1918459	-.803584	.1282864		.363285	.18405	.1938139	-.818684	.1255587	
.529333	.193821	.2365848	-.842784	.1312315		.445432	.1954515	.1984142	-.802919	.1288797		.386392	.192915	.2068176	-.817793	.1276385	
.542624	.1994334	.2429944	-.843956	.1297739		.463875	.202277	.2046964	-.802399	.1291191		.397364	.204645	.2076432	-.808998	.1293917	
.568944	.2037399	.2494828	-.845976	.1279446		.4824999	.208824	.2167219	-.801898	.1297971		.414425	.210344	.2142931	-.806249	.1305933	
.583387	.20654	.2544479	-.846111	.1258243		.500109	.215031	.2165183	-.801487	.1284616		.434561	.215117	.2207692	-.805352	.1314653	
.607593	.212641	.2577346	-.847403	.1257344		.517912	.226722	.2221122	-.801931	.1276534		.465191	.221859	.2277726	-.805294	.1328195	
.628527	.2168407	.2648414	-.847955	.1199892		.5355154	.226545	.2273501	-.801297	.1284128		.483099	.223326	.2332923	-.804697	.1323556	
.645324	.2205463	.2694170	-.848554	.1164886		.552918	.231777	.2327919	-.801615	.1289333		.479111	.234422	.2391582	-.804729	.1323536	
.663862	.223992	.2733614	-.849649	.1127841		.5718131	.235715	.2379189	-.801167	.1293632		.494955	.240245	.2449391	-.804194	.1324724	
.682188	.227137	.2773374	-.850454	.1105688		.587157	.241425	.2429292	-.801543	.1289181		.516637	.2457539	.2585433	-.804784	.1315284	
.704367	.230367	.2812838	-.850995	.1084366		.6044081	.248843	.2478433	-.801289	.1288452		.528162	.251972	.2537782	-.804998	.1307451	
.718223	.232591	.2835161	-.853283	.1071497		.621648	.249894	.2583494	-.802753	.1157287		.541533	.25589	.2612183	-.805328	.1294337	
.735947	.2349113	.2875953	-.852683	.1074922		.637161	.2572597	.2573893	-.803386	.1126918		.556754	.268516	.2662867	-.805771	.1283129	
.753477	.238362	.2913911	-.853429	.1055964		.653485	.257221	.2620339	-.804813	.1107793		.571828	.264853	.2711744	-.806322	.1267407	
.770819	.238744	.2923933	-.854193	.1032716		.667444	.260443	.2666121	-.806149	.1057948		.584759	.268995	.2758819	-.806977	.1249469	
.787976	.240264	.2952583	-.854994	.1026220		.685642	.263428	.2711142	-.807866	.1019344		.601155	.277675	.2804467	-.807734	.1229127	
.804767	.241527	.2973572	-.855341	.1014977		.701402	.26612	.2753564	-.809161	.979823		.616244	.274164	.2847554	-.808589	.1204511	
.821762	.242531	.2975309	-.856726	.1005658		.717167	.268541	.279744	-.811329	.9734116		.636724	.27938	.2839234	-.809543	.1181664	
.838395	.243281	.3049711	-.857691	.9582439		.732742	.270495	.2841077	-.813413	.9627581		.651113	.28232	.2929143	-.814592	.1154629	
.85484	.243778	.3025158	-.858736	.9488117		.748868	.272585	.2882345	-.815649	.9538485		.659373	.284993	.2907385	-.815758	.1125444	
.871116	.244102	.3039439	-.859777	.9416043		.763333	.274213	.2922551	-.818822	.9768836		.673549	.287397	.3003754	-.812979	.1094146	
.887299	.244403	.3051521	-.861123	.9329892		.77843	.275381	.2994985	-.820518	.9732457		.687521	.289355	.3038525	-.814318	.1066754	
.903279	.243788	.3042778	-.862494	.9245945		.793392	.276793	.2977795	-.820807	.9675981		.701413	.291411	.3071664	-.815755	.1025311	
.919195	.243365	.3072934	-.863988	.915924		.808216	.27755	.3032772	-.825727	.9616771		.715186	.293827	.3183288	-.817294	.987848	
.934779	.242582	.3082149	-.865633	.915924		.822998	.278185	.3045573	-.824941	.955488		.728841	.294368	.3132231	-.818938	.974361	
.950303	.241622	.3094523	-.867403	.915924		.837467	.279512	.3075876	-.821787	.9499999		.742387	.295497	.3161787	-.822692	.986798	
.965658	.240427	.3															

WBA-31	X	Y(T)	Y(E)	Y(T)-Y(E)	Y(FAC)	W46428						W46433					
						Y	X	Y(T)	Y(E)	Y(T)-Y(E)	Y(FAC)	Y	X	Y(T)	Y(E)	Y(T)-Y(E)	Y(FAC)
.0175974	.0145837	.0168928	-.002394	.0445847		.0158728	.0002049	.002710	-.000864	.002049		.0131973	.0068493	.0115334	.0053186	.008493	
.0152393	.0119199	.0132478	-.001451	.0474793		.0119441	.0160851	.0160368	.0000655	.01648951		.0263855	.0134634	.0144673	.0074763	.0131034	
.0229254	.0153342	.0205637	-.007927	.0103562		.01844187	.0207916	.0203487	.0005297	.0209196		.0377443	.0175961	.0173451	.0125532	.0199949	
.0304530	.0178992	.0273205	-.005404	.0177892		.0203828	.0378408	.0378401	.0007929	.0378408		.052804	.0209164	.0114742	.0142293	.0249584	
.0354245	.0221844	.0343738	-.011850	.0221844		.0174923	.0164502	.0163545	.0008694	.0164543		.0657614	.0329761	.0183964	.0127392	.0178781	
.0452231	.02320745	.0446853	-.0114291	.02320745		.01142228	.05477239	.05477239	.0007839	.05477239		.0694148	.0370319	.0217792	.0167125	.0378318	
.0548942	.0345294	.0472452	-.010737	.0345294		.0131737	.05462781	.05462781	.0003935	.05462781		.0414167	.0433038	.0282145	.0155494	.0433639	
.0619304	.0345846	.0537717	-.0119187	.0345846		.0146036	.0622753	.0622753	.0002594	.0622753		.1077956	.0466749	.0343404	.0142093	.0182709	
.0591519	.0305638	.0615978	-.0214334	.0305638		.1651108	.0675484	.0668971	-.001342	.0675484		.1219141	.0375115	.0412870	.0124644	.0373155	
.0778859	.0424653	.0656429	-.024879	.0424653		.1822636	.0724042	.0724042	-.002794	.0724042		.1409917	.0603279	.0501752	.0071587	.0533219	
.0858627	.0424287	.0727992	-.0251511	.0424287		.1995545	.0719581	.0717452	-.00165	.0717452		.1641428	.0476112	.0339994	.0036312	.0376213	
.0739414	.0564337	.0787612	-.020928	.0564337		.216948	.0613347	.0603774	-.00042	.0603774		.1703638	.0717631	.017727	-.011149	.0717631	
.1024224	.0536996	.0851325	.0536996			.2343972	.0652462	.0651984	-.00084	.0652462		.1926545	.0757123	.0066379	.004356	.0757123	
.1181468	.0572568	.0919595	-.0272871	.0572568		.2518477	.0681351	.0682053	-.00122	.0682053		.2069993	.0794778	.0082237	-.03916	.0794779	
.1182392	.0647943	.0988454	-.034451	.0647943		.2694354	.0757646	.0767944	-.017464	.0767944		.2214871	.0826928	.0632925	-.010224	.0826926	
.1264739	.0642219	.1025954	-.032371	.0642219		.2878585	.0819877	.0813936	-.021396	.0819877		.2353891	.0849491	.0104326	-.018135	.0849492	
.1346986	.0675891	.1063226	-.0445534	.0675891		.3447471	.0974330	.1236511	-.028219	.0974330		.2504318	.0896631	.0112547	-.023412	.0896631	
.1429494	.0768363	.1137582	-.0429194	.0768363		.3224822	.0896897	.1311243	-.015151	.0896897		.2649414	.0916348	.1205314	-.02917	.0916348	
.1512333	.0748225	.1191541	-.045102	.0748225		.3446257	.1014353	.1036881	-.037253	.1014349		.278928	.0941407	.1209413	-.03970	.0941407	
.157195	.0769757	.1242181	-.047261	.0769757		.3651305	.107041	.1074373	-.042357	.1074373		.304245	.1162443	.1482306	-.037587	.1477981	
.1774747	.0855619	.1352701	-.0457691	.0855619		.389475	.112217	.1150205	-.047629	.1146524		.325445	.1118717	.1516409	-.042972	.1516407	
.1955534	.0990821	.1457228	-.0457228	.0975254		.413313	.117074	.1170297	-.052756	.1152468		.347989	.1163384	.1621744	-.042768	.1621744	
.212388	.1163636	.1551022	-.044076	.0954558		.43467	.121581	.1170587	-.056278	.1150198		.370658	.12566	.1719394	-.046279	.1719392	
.230982	.121897	.1641564	-.043977	.091166		.459564	.125773	.1192511	-.063478	.1146407		.391759	.129255	.1849218	-.048389	.1849211	
.246366	.131169	.1723888	-.041229	.0877318		.482914	.1294333	.1191373	-.065568	.1134453		.41362	.139668	.1819197	-.05124	.1819188	
.25559	.1446533	.1795638	-.039985	.0894806		.5046442	.1331145	.1264621	-.073285	.1167166		.433889	.1452251	.1967672	-.051546	.1962610	
.262548	.1542379	.1869894	-.036732	.0757256		.525859	.1381412	.1214177	-.077756	.095886		.454207	.1516121	.2037492	-.052169	.1516127	
.299278	.1572338	.1934392	-.0342801	.0811874		.546882	.139345	.1221219	-.08168	.0969287		.474587	.156474	.2100728	-.053599	.1608819	
.3150553	.1678919	.1994424	-.031332	.0817267		.567726	.141983	.1275449	-.085582	.0938242		.494285	.16159	.2159119	-.054322	.1615934	
.332245	.1745941	.2049688	-.028765	.0819878		.588288	.144231	.1231984	-.088887	.0818292		.513726	.166376	.2212602	-.054794	.1824530	
.3484533	.1841618	.2101165	-.025927	.0820829		.608236	.150378	.1300789	-.091703	.0820846		.532843	.174833	.2262293	-.055391	.1820088	
.3644833	.191825	.2149978	-.024384	.0845458		.628125	.154183	.1224645	-.094788	.0820818		.551647	.174784	.2308972	-.055823	.1775873	
.3883432	.199144	.2193873	-.0242443	.0822779		.647586	.149897	.1258857	-.095891	.0772721		.574615	.178821	.2354573	-.056230	.1748133	
.3964633	.2061414	.2205893	-.0174748	.0827414		.664729	.158944	.1242655	-.097441	.0721724		.588336	.182553	.2398257	-.056573	.1797887	
.4115401	.212822	.2275517	-.0174736	.0808897		.685567	.151972	.1250397	-.098746	.0657123		.604268	.185588	.2427434	-.057155	.1823616	
.428703	.219191	.2313607	-.012118	.0818025		.704107	.1525251	.1251614	-.099844	.0659127		.623946	.198229	.2462444	-.057115	.1845472	
.442144	.225251	.2349762	-.0076462	.0824488		.722324	.15312	.1253367	-.099237	.0647522		.641338	.201184	.2493554	-.056372	.1844468	
.457286	.2311407	.2383338	-.0073237	.0820372		.744335	.15334	.1252414	-.099874	.0648263		.658475	.203554	.2527981	-.057144	.1876931	
.474124	.2346633	.2416576	-.0053197	.0827574		.75884	.153312	.1261985	-.098577	.0641501		.675334	.205515	.2554959	-.056944	.1714519	
.4828877	.2414823	.2446944	-.004273	.0826747		.775462	.153941	.1268912	-.097854	.0642277		.692812	.207472	.2565563	-.056104	.1852873	
.501533	.2444057	.2486631	-.0040577	.0825988		.792261	.152531	.1249473	-.098897	.0626811		.716426	.199624	.2612911	-.052267	.1813342	
.5164626	.2511911	.2511915	-.004125	.0819595		.809812	.151785	.1247543	-.095763	.0619123		.724617	.204311	.2639748	-.053594	.1858722	
.530388	.2553357	.2574287	-.0041673	.0811654		.824312	.154884	.1253274	-.094541	.0615753		.746582	.201337	.2643987	-.054162	.1841493	
.544462	.2593844	.2673738	-.0041982	.0815652	.0815654	.842779	.149596	.1248033	-.093287	.0612687		.756342	.202103	.2687162	-.055684	.1841694	
.5562725	.2634971	.2644722	-.0041681	.0812521		.859818	.149161	.1244236	-.092954	.0609992		.771889	.20242	.2710499	-.055734	.1873974	
.572795	.2665452	.2633841	-.0042957	.0814934		.875405	.146581	.1237452	-.099951	.0614973		.787234	.202684	.2731101	-.057226	.1814568	
.585562	.267716	.2667224	-.0042954	.0819584		.894834	.144462	.1246371	-.099017	.0624259		.806288	.204794	.2748564	-.057154	.1874766	
.594484	.2742822	.2698942	-.0042758	.0814188		.908428	.14252	.1231859	-.09344	.0633849		.817337	.202675	.2768017	-.057157	.1877582	
.613922	.2725237	.2731117	-.0042151	.0819057		.921811	.144204	.12292011	-.098997	.0643747		.832195	.202208	.2784163	-.057248	.1815468	
.627428	.2774363	.2737379	-.0042521	.0817746		.934639	.141568	.1225201	-.097746	.063369		.843659	.201583	.2797287	-.057285	.1838929	
.644822	.279731	.2798187	-.0040493	.0817346		.944822	.140474	.1220747	-.099358	.0629358		.861496	.204562	.2697204	-.056358	.1845977	
.654165	.281375	.2834032	-.0041463	.0814741		.953477	.140474	.1214624	-.094543	.0614943		.873328	.197385	.2817873	-.053398	.182587	
.667281	.2810159	.2834447	-.0042803	.0819444		.969348	.140474	.1214624	-.094546	.0614944		.882393	.197787	.2823584	-.054371	.1824976	
.686383	.2844848	.2898879	-.0045482	.0810418		.984818	.1415638	.1214624	-.094726	.0619684		.893284	.195257	.2824821	-.053245	.1821813	
.6																	

U446-10				U446-14				U446-31						
I	X(T)	Y(E)	Y(T)-Y(E)	I	X(T)	Y(E)	Y(T)-Y(E)	I	X(T)	Y(E)	Y(T)-Y(E)			
.00197894	.0052815	.0026121	.0026894	.0052815	.0072781	.0042756	.0029318	.0014308	.0042756	.0038959	.0043449	.0032857	-.003741	.0013449
.0194342	.0104422	.0054947	.0047955	.0104422	.0159599	.0084931	.0058127	.0026703	.0084931	.0162438	.0056476	.0153829	-.007774	.0066476
.0295557	.0154812	.0097881	.0044826	.0154812	.0219526	.0124224	.0089325	.0036995	.0124226	.0244893	.0127876	.0242572	-.011504	.0127674
.0395271	.0203979	.0128552	.0075281	.0203979	.0293474	.0165981	.0121581	.0045119	.0165981	.0370773	.0168845	.0374993	-.015112	.0168846
.0497475	.0251914	.0167965	.0152147	.0251914	.0367083	.0206729	.0155476	.0051451	.0206929	.0407828	.0240950	.0395243	-.016220	.0203794
.0597671	.0298414	.0213797	.0154913	.0298414	.0442484	.0246242	.0194236	.0046242	.0246242	.0492355	.0248275	.0419445	-.021619	.0246275
.0699224	.0344661	.0264932	.0153829	.0344661	.0517561	.0264655	.0225982	.0058074	.0264655	.0576841	.0267626	.039786	-.025168	.0264676
.0794299	.0382859	.0309357	.0276782	.0382859	.0672989	.0327764	.0262927	.0061405	.0327766	.0659712	.0324233	.0384916	-.029462	.0324233
.0892918	.0431198	.0346272	.0274924	.0431198	.0758749	.0359771	.0319381	.0059194	.0359971	.0743964	.0361087	.0326609	-.015152	.0361087
.0994441	.0472281	.0412868	.0359925	.0472281	.0744682	.0396467	.0382949	.0058258	.0396467	.0823575	.0396984	.0424216	-.034513	.0396987
.1096777	.0513272	.0463917	.0414355	.0513272	.0821013	.0432251	.0274575	.0055276	.0432251	.091549	.0432688	.0485781	-.037367	.0432686
.1198803	.0552394	.0520246	.0453294	.0552394	.0870895	.0467319	.0162673	.0010446	.0467319	.0998923	.0464826	.0487323	-.041117	.0463297
.1291042	.0594233	.0578166	.0412467	.0578163	.0975204	.0581689	.0548168	.0045651	.0581689	.1045458	.0495626	.0522147	-.027745	.0499581
.139158	.0626781	.0634884	-.009810	.0626782	.1052623	.0535297	.0496129	.0039168	.0535297	.1176538	.0531965	.0505448	-.013387	.0531985
.1491957	.0662035	.0672618	-.002998	.0662035	.1131357	.0582801	.0534582	.0031674	.0582801	.1256881	.0502038	.1641972	-.047753	.0526538
.1594881	.0695967	.0749051	.0653538	.0695967	.1263394	.0643278	.0527137	.0044241	.0643278	.1345564	.0594235	.1092668	-.051613	.0594235
.1741215	.0726534	.0706582	-.007085	.0726534	.1262787	.0619264	.0471866	.0019379	.0619265	.1434441	.0624554	.1147446	-.023359	.0624554
.1847942	.0755968	.0835821	-.010385	.0755968	.1345533	.0662508	.0587653	.0040393	.0662508	.1517688	.0632991	.1199245	-.043429	.0632991
.1955047	.0789989	.0826378	-.013461	.0789989	.1444262	.0692516	.0597528	-.0047471	.0692517	.1665214	.0691943	.1247889	-.056485	.0691943
.2057658	.0826561	.0879225	-.015382	.0879225	.152682	.0723259	.0624225	-.011847	.0722984	.16893	.0706648	.1292447	-.055569	.0707475
.2218185	.0924788	.1038942	-.016416	.0924788	.172199	.0839215	.0639217	-.002047	.0771415	.178883	.0811138	.1387987	-.057455	.0782543
.2412242	.1024449	.1192413	-.016792	.1192413	.191341	.0854379	.0734562	.0033899	.0854379	.2064888	.0911821	.1474248	-.058245	.0812481
.2598485	.1119033	.1209489	-.016966	.1209488	.210131	.0871763	.0723737	.0029674	.0910334	.224767	.100001	.1552157	-.054415	.0857731
.2901112	.1211974	.1384217	-.016702	.1211975	.2203864	.0957939	.1110345	.0045545	.0916167	.242731	.1104112	.1622583	-.052246	.0898193
.3099895	.1279794	.1454084	-.016586	.1279794	.246713	.1027575	.1055887	.0061610	.1087991	.266393	.118824	.1683410	-.049017	.0934288
.3295	.1308995	.1542076	-.0165972	.1308995	.345548	.130515	.1270367	.0077993	.1046764	.377746	.127249	.1744422	-.047194	.0966249
.348671	.1404645	.1616743	-.015899	.1616742	.352851	.1441419	.1347148	.0093942	.1085975	.394859	.1352575	.1797345	-.044448	.0994242
.36751	.1525336	.1685385	-.0156462	.1685385	.399283	.1527577	.1416752	.0110818	.1120144	.391683	.142971	.1045819	-.041611	.1010539
.386822	.166897	.1749469	-.014244	.1749469	.316239	.164784	.1482671	.0127167	.1149414	.388248	.1582825	.1899442	-.030759	.1899412
.4064247	.1767476	.1895229	-.013457	.1895229	.332929	.1683329	.1545184	.0143194	.1174994	.344563	.1572446	.1931751	-.032329	.1936915
.4221618	.1739412	.1866266	-.012305	.1866266	.347382	.1743228	.1645582	.0158693	.1170776	.3685336	.1638232	.1970232	-.031163	.1971251
.4398891	.1804042	.1920122	-.011970	.1804042	.355548	.183448	.1661077	.0173442	.1215836	.3747477	.171135	.2006325	-.030497	.1002568
.457165	.185884	.1971579	-.011354	.1971579	.381494	.1902448	.1715254	.0187226	.1231437	.392492	.1766777	.2841421	-.027745	.1091043
.474822	.1912325	.2021876	-.010725	.1912325	.397212	.196392	.1771647	.0199521	.1244625	.40749	.1811673	.2072976	-.025579	.1996683
.491183	.196341	.2064904	-.009548	.2064904	.412766	.202681	.1817480	.0211018	.1253741	.422877	.186986	.2184081	-.023412	.1097724
.507696	.2011226	.2115451	-.008464	.2011226	.427958	.2058522	.1865219	.0226463	.1264789	.43766	.191969	.2134677	-.021439	.1100234
.5244551	.2065603	.2161996	-.007697	.2161996	.443855	.214444	.1911991	.0228407	.1265447	.452445	.19664	.2163346	-.019195	.1098314
.544174	.2097771	.2247554	-.014984	.2148174	.457924	.219181	.1957553	.0243527	.1266844	.467439	.201007	.2192827	-.018194	.1094825
.5544772	.2132336	.2252653	-.011448	.2132336	.472597	.224412	.2042194	.0238414	.1262858	.481447	.205075	.2220302	-.018955	.1007545
.5717532	.2172626	.2298134	-.012665	.2165215	.487081	.228534	.2029533	.0233234	.1232324	.495674	.2088448	.2248332	-.015195	.1478864
.5872244	.2244247	.2343542	-.013867	.2343542	.501381	.232759	.2048882	.0238708	.1258148	.509727	.212331	.2276254	-.015274	.1609085
.604289	.2234748	.2392829	-.0154462	.2392829	.515543	.2316884	.2131405	.0254553	.1256049	.523409	.2155228	.234176	-.014589	.1055229
.617357	.226187	.2436223	-.017333	.2436223	.529451	.240321	.2173564	.0262794	.1241384	.537395	.2323143	.2323169	-.014778	.1146316
.632431	.2266118	.2481617	-.019544	.2481617	.543822	.2436368	.2213283	.0271397	.2209946	.554981	.22108	.2384334	-.014957	.1123834
.647116	.2307744	.2528443	-.022866	.2528443	.558849	.246732	.2256796	.0281524	.2215453	.56428	.2234443	.2308758	-.015433	.1165316
.6631622	.2323364	.2573334	-.024077	.2573334	.570387	.247516	.2200472	.0287400	.2201030	.575321	.2235534	.2412399	-.015320	.0975461
.6757448	.2344779	.2647938	-.025982	.2647938	.58361	.2526285	.2339193	.0318197	.2184126	.586223	.2273359	.2446389	-.017772	.0928941
.6891492	.2361811	.2714147	-.0265464	.2714148	.597812	.2542681	.2380116	.0325210	.2165216	.603576	.2281719	.2474955	-.018239	.0939177
.704407	.2378773	.2718195	-.025463	.2718195	.607476	.2562265	.2424794	.0314148	.2144576	.613386	.2304225	.2549414	-.013735	.1173759
.717797	.2375648	.2745544	-.028995	.2745547	.622468	.257729	.2461233	.031858	.2112236	.6295858	.23126	.2534631	-.022203	.0886722
.731588	.2381514	.2812622	-.031309	.2812622	.635335	.2597368	.2501361	.0322319	.2199254	.641595	.233947	.2544536	-.024106	.0858104
.745471	.2384689	.2859111	-.0347422	.2859111	.647935	.2645485	.2541879	.0346432	.2172666	.654	.232861	.2574589	-.028787	.0827939
.7584242	.238577	.2874756	-.0351897	.2874756	.664387	.261471	.2598049	.034361	.2145548	.664273	.2329366	.2624758	-.0266164	.0766284
.7738422	.2414191	.2949223	-.0354543	.2949223	.677249	.2641241	.2619081	.0342499	.2148185	.679425	.2329903	.2654778	-.023594	.0763899
.784577	.2434119	.3026378	-.0397982	.3026378	.684972	.264977	.2629993	-.022869	.20814142	.689445	.232897	.2603152	-.023510	.0728493
.797588	.2459119	.3097982	-.039381	.3097982	.705527	.2675445	.2659999	-.024055	.2075516	.704253	.232248	.2715223	-.023724	.0692446
.810336	.2535893	.3072593	-.037755	.3072593	.718917	.2693764	.266667	.0254958	.2075571	.714137	.231518	.2745495	-.024754	.0654793
.822974	.2533973	.3104158	-.0375203	.3104148	.720744	.2682364	.2747479	-.014142	.088301	.720545	.2324655	.2774427	-.040323	.0616162
.835493	.2534915	.3142822	-.036233	.3142822	.732453	.261777	.2791163	-.018441	.0851419	.737357	.229475	.2803804	-.054711	.0575777</

0224+46 V(4.2 m/s)						0224+46 V(5.4 m/s)						0224+46 V(7.6 m/s)						
X	T(X)	Y(E)	X(T)-Y(E)	T(FACA)		X	T(X)	Y(E)	X(T)-Y(E)	T(FACA)		X	T(X)	Y(E)	X(T)-Y(E)	T(FACA)		
0	0	0	0	0	0	0	0	0	0	0	0	0	0	0	0	0	0	
.0105143	.0043953	.0451104	.0412849	.0483753		.0105143	.0043953	.0443761	.0428172	.0463953		.0105143	.0043953	.0447669	.0412626	.0463953		
.0211148	.0126469	.0402354	.0423213	.0126469		.0211148	.0126469	.0489628	.0434041	.0126469		.0211148	.0126469	.0497699	.0429654	.0126469		
.0317993	.0107507	.0156445	.0431132	.0187537		.0317993	.0107507	.0174748	.0485989	.0175037		.0317993	.0107531	.0147387	.0443039	.0187537		
.0425564	.0247144	.0214199	.0033545	.0247144		.0425564	.0247144	.0197144	.0459979	.0247144		.0425564	.0247144	.0199183	.0047557	.0247144		
.0534129	.0365294	.0354581	.0307976	.0365294		.0534129	.0365294	.0280419	.0416661	.0365294		.0534129	.0365294	.0526398	.0352871	.0365294		
.0643378	.0341932	.0321563	.0318633	.0361934		.0643378	.0341932	.0291768	.0478165	.0361934		.0643378	.0341932	.0361932	.0361934	.0361934		
.0753389	.0417995	.0377698	.0439197	.0417995		.0753389	.0417995	.0346467	.0478447	.0417995		.0753389	.0417995	.0362853	.0057042	.0417995		
.0864441	.0407754	.0455517	.0455536	.0471754		.0864441	.0407754	.0482649	.0469885	.0471754		.0864441	.0407754	.0410552	.0426227	.0471754		
.0975613	.0522914	.0473199	.0297101	.0522914		.0975613	.0522914	.0466202	.0522994	.0522914		.0975613	.0522914	.0475966	.0446934	.0522914		
.1087784	.0735232	.0551765	.0421738	.0572523		.1087784	.0735232	.0518797	.0454547	.0572523		.1087784	.0735232	.0534291	.003732	.0572523		
.1200634	.0822615	.0610915	.0411791	.0422615		.1200634	.0822615	.0578878	.0443738	.0622615		.1200634	.0822615	.0593424	.0279192	.0622615		
.1314142	.0670167	.0570520	.0404936	.0570167		.1314142	.0670167	.0639792	.0438034	.0470167		.1314142	.0670167	.0455281	.0016988	.0670167		
.1426287	.0716168	.0530565	.0414446	.0716168		.1426287	.0716168	.0701064	.0416544	.0716168		.1426287	.0716168	.0713781	.002337	.0716168		
.1540347	.0780612	.0796112	.0636355	.0786612		.1540347	.0780612	.0766419	.0440359	.0786612		.1540347	.0780612	.0724041	-.001423	.0786612		
.1658492	.0593489	.0551665	.0484818	.0583489		.1658492	.0593489	.0627461	.0023397	.0583489		.1658492	.0593489	.0636377	.003298	.0583489		
.1774338	.0844792	.0912607	.0457822	.0844792		.1774338	.0844792	.0891275	.0444646	.0844792		.1774338	.0844792	.0892346	-.005531	.0844792		
.1896069	.0825452	.0973729	.0409222	.0824513		.1896069	.0825452	.0955326	.0477101	.0824513		.1896069	.0824512	.0760544	-.007632	.0824513		
.2007818	.0922444	.1034972	-.0112303	.0922644		.2007818	.0922444	.1021040	.007744	.0922644		.2007818	.0922444	.1023007	-.014935	.0922644		
.2125336	.0959177	.1092277	.0595179	.0959179		.2125336	.0959177	.1094885	.012571	.0959179		.2125336	.0959179	.1085612	-.012643	.0959179		
.22493	.0976121	.1161014	-.016394	.0995541		.22493	.0976121	.1152421	.015618	.0995541		.22493	.099631	.1154934	-.015459	.0995541		
.2446462	.11075	.1267663	-.016216	.1053902		.2446462	.11075	.116778	.1288781	.1054044		.2446462	.11075	.1263489	-.015541	.1054151		
.2574051	.1214741	.1374532	-.016102	.1166803		.2574051	.1214741	.1215253	.1082753	.1166598		.2574051	.1214742	.1217493	-.015747	.1166992		
.267688	.1317811	.1408571	-.018204	.1158242		.267688	.1317811	.1391734	.017346	.1158242		.267688	.132256	.1482947	-.016438	.1154242		
.3061403	.1581781	.1641422	.1193219	.3061403		.3061403	.1581781	.1642241	-.018811	.1194816		.3061403	.1422533	.1589375	-.014394	.1196849		
.3282825	.151373	.1680465	-.016667	.1228741		.3282825	.151373	.1528442	.1707121	-.018674	.1230890		.3282825	.152565	.1673220	-.016757	.1232553	
.340818	.1686469	.1775865	-.016298	.1259232		.340818	.1686469	.161552	.1888428	-.019297	.1241851		.340818	.162949	.162292	.1794254	-.017133	.1246448
.3678553	.1699	.1848397	-.017354	.1284917		.3678553	.1699	.174746	.1965948	-.019819	.1287863		.3678553	.171737	.1892270	-.017497	.1290448	
.397298	.178822	.1957912	-.017774	.1345999		.397298	.178822	.1959513	.1292638	.1349877		.397298	.179814	.1989182	-.017889	.1311437		
.4058154	.1828111	.2044458	-.018204	.1322668		.4058154	.1828111	.189198	.2069128	.0020715	.1325827		.4058154	.187785	.2078599	-.0182075	.1327864	
.42551	.194662	.2129405	-.018739	.1335496		.42551	.194662	.2174647	-.002977	.1337424		.42551	.1933	.2166447	-.018275	.1337474		
.4424292	.201581	.2288445	-.019279	.1343441		.4424292	.201581	.2044285	.2255932	-.002176	.1345235		.4424292	.204816	.216710	.2251151	-.003397	.1346448
.462885	.208772	.2268274	-.019555	.1347885		.462885	.208772	.212986	.2333157	-.002130	.1348511		.462885	.214744	.2332433	-.018493	.1348647	
.481236	.215424	.2316158	-.020444	.1348454		.481236	.215424	.2194848	.2146551	-.002117	.1347564		.481236	.215874	.2304652	-.018227	.1339433	
.499446	.222193	.2432891	-.021106	.1345379		.499446	.222193	.2257051	.2475209	-.002103	.1342483		.499446	.227284	.2526235	-.017998	.1328827	
.517388	.22843	.2542128	-.021783	.1338737		.517388	.22843	.233922	.2544325	-.002143	.1333343		.517388	.23421	.244244	-.019985	.1312129	
.53516	.234359	.2562842	-.022493	.132632		.53516	.234359	.249772	.2641498	-.002073	.1329216		.53516	.252629	.264925	-.017433	.1329176	
.552788	.239923	.2632233	-.023241	.1315168		.552788	.239923	.2656114	.2538884	-.001992	.1303145		.552788	.267269	.281336	-.017199	.1291796	
.574828	.2453465	.2673322	-.024242	.1298409		.574828	.2453465	.25188	.2712657	-.001938	.1282247		.574828	.2742793	.2975738	-.016462	.1237799	
.587473	.2571851	.2751851	.024855	.1276468		.587473	.2571851	.2757047	.2746293	-.001879	.1257568		.587473	.274481	.2947772	-.0182075	.1257638	
.6054558	.2558461	.2897889	-.025728	.1255385		.6054558	.2558461	.262855	.2889977	-.0018145	.1228892		.6054558	.273574	.2934544	-.014627	.1166889	
.6214077	.259542	.2861504	-.026644	.1229252		.6214077	.259542	.267972	.2853884	-.0017469	.1194736		.6214077	.275542	.2929544	-.014627	.1166889	
.6388232	.262357	.2912759	-.027169	.1218124		.6388232	.262357	.27271	.2894891	-.001779	.1164769		.6388232	.281382	.2942463	-.013824	.1123573	
.654829	.2697228	.2961733	-.028645	.1168453		.654829	.2697228	.277226	.2933216	-.001975	.1162114		.654829	.285141	.2954538	-.0129292	.1176595	
.671110	.2740401	.30773	-.030373	.1133471		.671110	.2740401	.2914656	.2767463	-.0015436	.1127771		.671110	.274741	.3044247	-.0121124	.1123122	
.687558	.274431	.303183	-.030373	.1095284		.687558	.274431	.2954369	.2842891	-.0014829	.1083087		.687558	.2749381	.3046188	-.0112129	.1079125	
.703898	.277744	.3054944	-.030375	.1081545		.703898	.277744	.2981049	.2903448	-.0014291	.1069817		.703898	.299193	.3095684	-.010369	.1058556	
.713842	.280237	.303183	-.030374	.1081181		.713842	.280237	.298257	.3042456	-.0013846	.1052087		.713842	.307343	.3127744	-.0099539	.1043354	
.735543	.282734	.3074789	-.030473	.1061513		.735543	.282734	.2957057	.3042894	-.0013519	.1037924		.735543	.309234	.3157744	-.0082738	.1073458	
.751254	.284968	.3115152	-.030474	.1041963		.751254	.284968	.2984329	.3113201	-.0013421	.10246975		.751254	.310574	.3185912	-.0064617	.1078798	
.767228	.296373	.317712	-.030474	.1034764		.767228	.296373	.2986007	.3142423	-.0013201	.1013739		.767228	.310385	.3187394	-.005592	.1141956	
.782267	.298443	.3207745	-.030472	.1031545		.782267	.298443	.2981267	.3131877	-.0013052	.1011931		.782267	.310827	.3135756	-.0043879	.1030315	
.797574	.299091	.3211269	-.030473	.1031183		.797574	.299091	.2983648	.3102666	-.0012866	.1007392		.797574	.310219	.3135756	-.0043879	.1030315	

US2A+00 Vt=9,1 m/s						US2A+00 Vt=10,7 m/s						US2A+00 Vt=12,1 m/s							
I	X(t)	Y(t)	Z(t)-Y(t)	Y(FACA)		I	X(t)	Y(t)	Z(t)-Y(t)	Y(FACA)		I	X(t)	Y(t)	Z(t)-Y(t)	Y(FACA)			
0	0	0	0	0		0	0	0	0	0		0	0	0	0	0	0		
.0145143	.0463953	.0445954	.0418983	.0463953		.0166135	.0062294	.0028364	.0433939	.0462294		.0146135	.0462294	.0329618	.0033276	.0462294			
.0211148	.0126487	.0092678	.0033791	.0126487		.0213108	.0123137	.0016797	.0021244	.0123137		.0213108	.0123137	.0054242	.0026395	.0123137			
.0317993	.0187537	.0148144	.0047396	.0187537		.0320993	.0125159	.0077434	.0034883	.0185119		.0320993	.0125159	.0073629	.0036391	.0185119			
.0425668	.0247144	.0163892	.0058851	.0247144		.0429496	.0246427	.0130411	.0102417	.0144427		.0429496	.0246427	.0112929	.0112929	.0246427			
.0534129	.0345288	.0237409	.0086196	.0345288		.0538958	.0265652	.0101854	.0119986	.0294852		.0538958	.0265652	.0116667	.0139165	.0294852			
.0643278	.0341933	.0294482	.0075448	.0341933		.0646984	.0351783	.0226897	.0122897	.0351783		.0646984	.0351783	.0262444	.0145539	.0351783			
.0753389	.0417495	.0336437	.0086158	.0417495		.0759848	.0445219	.0278899	.0126344	.0452118		.0759848	.0445219	.0247734	.0157476	.0445218			
.0864141	.0474754	.0384897	.0083857	.0474754		.0871428	.0457122	.0315455	.0125417	.0457122		.0871428	.0457122	.0291465	.0165437	.0457122			
.0975113	.0522998	.0437930	.0054064	.0522998		.0983786	.0547511	.0385541	.0120974	.0547511		.0983786	.0547511	.0336232	.0171289	.0547511			
.1087784	.0573523	.0489161	.0084382	.0573523		.1096558	.0553664	.0443716	.0112651	.0553664		.1096558	.0553664	.0383663	.0173383	.0553664			
.1200633	.0622615	.0540875	.0081748	.0622615		.1210266	.0643608	.0502773	.0100966	.0643608		.1210266	.0643608	.0413152	.0172156	.0643608			
.1314142	.0670167	.0592918	.0077249	.0670167		.1324544	.0649442	.0453484	.0085978	.0449442		.1324546	.0649442	.0481514	.0167926	.0449442			
.1422828	.0716158	.0645245	.0076793	.0716158		.1439368	.0697345	.0465545	.0081801	.0697345		.1439368	.0697345	.0332939	.0167476	.0697345			
.1513447	.0766612	.0697813	.0082798	.0766612		.1524044	.0732881	.0487777	.0047544	.0732881		.1524044	.0732881	.0565742	.0156768	.0732881			
.1658442	.0832489	.0758578	.0052911	.0832489		.1670818	.0777341	.0752933	.0024407	.0777341		.1670818	.0777341	.0433742	.0137639	.0777341			
.1774336	.0844479	.0803496	.0041293	.0844479		.1787369	.0818817	.0817793	-.000898	.0816818		.1787369	.0818817	.0848333	.0121994	.0818818			
.1886469	.0884512	.0854532	.0027988	.0886469		.1984469	.0854744	.0883145	-.002844	.0854744		.1984469	.0854744	.0754794	.0143715	.0854744			
.2007815	.0922344	.0901333	.0141935	.0226444		.2022463	.0919793	.0919793		.2022463	.0919793	.0899993		.2022463	.0919793	.0693645		.2022463	
.2125336	.0959179	.0962796	-.004384	.0959179		.2140448	.0925677	.0145829	-.0038856	.0925678		.2140448	.0925677	.0256798		.2140448	.0925677	.0959745	.0059678
.22483	.0994633	.1018142	-.002183	.0995541		.226368	.0946873	.0162751	-.012208	.0988109		.226368	.0946873	.0626974	.0032899	.0988109			
.24417	.110846	.1113537	-.0095584	.1054165		.247891	.110493	.1240771	-.013147	.1051562		.247891	.110493	.1654171	.0035149	.1051562			
.25447	.121699	.1247733	-.0047257	.1107115		.262937	.1175982	.1315934	-.014991	.1054546		.262937	.1175982	.11751	.0147116	.1054546			
.268666	.132317	.1346737	-.0022595	.1154468		.269887	.127087	.1472628	-.0147755	.1187711		.269887	.127087	.1272527	.0123368	.1187711			
.289823	.14266	.1391981	-.0034619	.1194334		.312282	.127848	.1535937	-.015746	.1145632		.312282	.127848	.1353422	.0123368	.1145632			
.330922	.158729	.1481887	-.0045423	.1233972		.333556	.147424	.1639924	-.016388	.1182411		.333556	.147424	.1448457	.0162633	.1182411			
.351964	.162586	.1571664	-.0053894	.1245413		.354869	.151734	.1739528	-.0168187	.1219236		.354869	.151734	.1563596	.0088466	.1219236			
.372948	.17285	.1658899	-.0063891	.1299854		.37614	.1645384	.1834644	-.017767	.1233286		.376133	.1645384	.1664344	.0090436	.1233286			
.393874	.181344	.1741735	-.0071345	.1312149		.397371	.17537	.1925807	-.017139	.1251231		.397371	.17537	.17541	.00738	.1251231			
.414745	.196289	.1924995	-.0077985	.1328546		.418562	.184894	.2011014	-.017007	.1244129		.418562	.184894	.184245	.01857448	.1244129			
.435559	.199444	.1984262	-.0037778	.1340448		.439713	.192557	.2024741	-.016698	.1272832		.439713	.192557	.1924741	.0194826	.1272832			
.456318	.207451	.1985771	-.0083739	.1346732		.466824	.200758	.2169689	-.016203	.1274799		.466824	.200758	.2035684	-.002588	.1274799			
.477122	.215331	.2033887	-.0029233	.1348446		.481096	.2087	.2242633	-.0155633	.1273044		.481096	.2087	.208959	.0118994	.1273044			
.497472	.225525	.2139747	-.0049424	.1345831		.502928	.216381	.2311776	-.0147497	.1266138		.502928	.216381	.2198871	-.003125	.1265839			
.512828	.231192	.2212791	-.0077134	.1338324		.523722	.223884	.2377318	-.013928	.1254374		.523722	.223884	.2272767	-.003129	.1253841			
.538811	.235575	.2284494	-.0112556	.1326137		.544978	.239568	.2435548	-.012986	.1237743		.544978	.239568	.231358	-.002942	.1236954			
.553941	.245495	.2541441	-.0142949	.1369744		.554795	.239272	.2459742	-.012944	.1211238		.554795	.239272	.2292179	-.002565	.1211238			
.579738	.252551	.2421689	-.0143938	.1287818		.586675	.245281	.2555238	-.011662	.1189847		.586675	.245281	.2506111	-.002186	.1189847			
.604123	.259144	.2487164	-.0144386	.1261694		.597517	.250913	.2609295	-.010417	.1158536		.597517	.250913	.2521133	-.001258	.1156557			
.624457	.255474	.2554224	-.0145434	.1239928		.628321	.257247	.2661219	-.003757	.1122339		.628321	.257247	.2574645	-.003357	.1117769			
.644074	.271548	.2611115	-.0144375	.1195484		.649089	.262976	.2711268	-.001801	.1081158		.649089	.262976	.2635421	-.0067779	.1081158			
.664972	.273759	.2649628	-.013962	.1155343		.668918	.2658459	.2759642	-.0017415	.1034974		.668918	.2658459	.2716771	-.0018178	.1034974			
.681154	.28291	.2725712	-.0143398	.1116528		.695153	.273917	.2804554	-.001628	.0983736		.695153	.273917	.2749172	-.001808	.0983736			
.701286	.288294	.2779265	-.0142775	.1064939		.711117	.279301	.2852137	-.0016183	.0927344		.711117	.279301	.279866	-.001713	.0927344			
.721369	.2934187	.2832403	-.0144548	.1044548		.731791	.283891	.289473	-.001573	.0857799		.731791	.283891	.284789	-.001472	.0857799			
.741442	.299117	.2878341	-.0141899	.0947392		.752377	.284847	.2939687	-.001524	.0798947		.752377	.284847	.289474	-.001697	.0798947			
.761387	.3042538	.2923666	-.0141714	.0823127		.772924	.292925	.3024745	-.0015298	.0726714		.772924	.292925	.2934518	-.0017574	.0726714			
.781323	.304593	.2957664	-.0142866	.0813756		.79344	.294851	.3021989	-.0015247	.0648982		.79344	.294851	.2964747	-.0018081	.0648982			
.801212	.3148114	.3045166	-.0143034	.0737075		.813919	.304818	.3046916	-.0015292	.0556263		.813919	.304818	.30179	-.001695	.0556263			
.821853	.314587	.304927	-.0144743	.0668284		.834362	.304376	.3089881	-.001544	.0474946		.834362	.304376	.3094422	-.001519	.0468389			
.848847	.318471	.3073248	-.0147462	.0575416		.854771	.307742	.3102841	-.0015544	.0381438		.854771	.307742	.3094422	-.001697	.0381438			
.864593	.321319	.3181874	-.0113131	.0485185		.875145	.310537	.3165818	-.0015655	.0282844		.875145	.310537	.312213	-.0018331	.0282844			
.880293	.324315	.3182484	-.0116551	.0487354		.895484	.313882	.3179389	-.0015707	.0172733		.895484	.313882	.3185105	-.0018229	.0172733			
.899947	.327457	.3147196	-.0123394	.0497756		.915789	.316277	.3218784	-.0015662	.0158556		.915789	.316277	.3177113	-.001808	.0158556			
.919555	.329531	.3163241	-.0132484	.0481204		.93646	.318822	.3238918	-.0015268	.0146225		.93646	.318822	.3247447	-.001697	.0146225			
.9																			

### REFERENCIAS BIBLIOGRÁFICAS

BERNACKI, H. ; HAMAN, J. & KANAFOJSKI, Cz.

Mechanical organic fertilizer distributors.

In: \_\_\_. Agricultural machines, theory and construction. Warsaw, Poland, Ed. Foreign Scientific Publications Department of the National Center for Scientific, Technical and Economic Information, 1972. p. 513-53.

BILANSKI, W. K.; COLLINS, S. H. & CHU, P. Aerodynamic properties of seed grains. Agricultural Engineering, St. Joseph, MI, 43(4): 218-9. 1982.

BRAUNBECK, O. A. & DALCOMO, E. L. Coeficientes de atrito, interno e sobre superfícies, da torta de filtro. In: CONGRESSO BRASILEIRO DE ENGENHARIA AGRÍCOLA, 11, Brasília, 1981. Anais. Botucatu, SBEA, 1981. p. 1595-605.

BRAUNBECK, O. A. & IDE, B. Y. Implemento para mistura e secagem natural de resíduos orgânicos. In: CONGRESSO BRASILEIRO DE ENGENHARIA AGRÍCOLA, 12,

Ilhéus, 1982. Resumos. Ilhéus, CPEC, 1982. 24p.

BRINSFIELD, R. B. & HUMMEL, J. W. Simulation of a new centrifugal distributor design. Trans. of the ASAE, St. Joseph, MI, 18(2): 213-6, 220. 1975.

CARDOSO, C. O. N. & DIAS DE TOLEDO, A. C. Compostagem de resíduos industriais: torta de filtro e vinhaça.  
In: SEMINÁRIO DE TECNOLOGIA AGRONÔMICA, 2, Piracicaba, 1984. Anais. São Paulo, COPERSUCAR, 1984. p. 205-14.

CONTINUOUS system modeling program III (CSMP III) and graphic feature (CSMP III graphic feature): general information manual. 3. ed. Canada, IBM, 1983. (Program number 5734-XS9). s. p.

COPERSUCAR. ANÁLISE ECONÔMICA DA PRODUÇÃO E DO COMPOSTO DE BAGAÇO E TORTA DE FILTRO. Piracicaba, DEAD-CT/Copersucar, 1989. 28p. Texto não publicado.

COPERSUCAR. Compostagem de torta de filtro e bagaço. Caderno Copersucar Série Melhoramento, São Paulo, (14): 1-4. 1985.

COPERSUCAR. Seminário sobre bagaço de cana. Piracicaba, 1983. São Paulo, Ed. Copersucar, 1983. 30p.

CUNNINGHAM, F. M. Performance characteristics of bulk spreaders for granular fertilizer. Trans. of the ASAE, St. Joseph, MI, 6(2): 108-14. 1963.

CUNNINGHAM, F. M & CHAO, E. Y. S. Design relationships for centrifugal fertilizer distributors. Trans. of the ASAE, St. Joseph, MI, 10(1): 91-5. 1967.

DAVIS, J. B. & RICE, C. E. Predicting fertilizer distribution by a centrifugal distributor using CSMP, a simulation language. Trans. of the ASAE, St. Joseph, MI, 17(8): 1091-3. 1974.

GALILI, N & SHTEINGAUZ, G. Wide-swath vertical spreader for granular material. Trans. of the ASAE, St. Joseph, MI, 25(5): 1195-203. 1982.

HAY, J. C.; CABALLERO, R. C.; LIVINGSTON, J. R. & HORVATH, R. W. Windrow composting in Los Angeles county. Biocycle: Journal of Waste Recycling, Emmaus, PA, 26(7): 24-7. 1985.

HUGOT, E. Filtração. In: \_\_\_\_\_. Manual de engenharia açucareira. São Paulo, Ed. Mestre Jou, 1977. p. 534.

HUGOT, E. Produção do vapor. In: \_\_\_\_\_. Manual de engenharia açucareira. São Paulo, Ed. Mestre Jou, 1977. p. 950.

INDUSTRIAL cinematography. A high-speed chase.

Mechanical Engineering, New York, 110(3): 60-2,  
1988.

INNS, F. M. & REECE, A. R. The theory of the  
centrifugal distributor. II: motion on the disc  
off-centre feed. J. Agric. Eng. Res., Silsoe, 7(4):  
345-53. 1962.

KIKER, C. F. & ROSS, I. J. An equation of motion for  
multiple granular particles in free fall in  
enclosed vertical ducts. Trans. of the ASAE, St.  
Joseph, MI, 9(4): 468-73, 479. 1966.

MENNELL, R. M. & REECE, A. R. The theory of  
the centrifugal distributor. III: particle  
trajectories. J. Agric. Eng. Res., Silsoe, 8(1):  
78-84. 1963.

NEBRA, S. A. Secagem pneumática de bagaço de cana.  
Campinas, S. P., 1985. 121p.

[Tese - Doutoramento - Faculdade de Engenharia da  
Unicamp].

PATTERSON, D. E. & REECE, A. R. The theory of the  
centrifugal distributor. I: motion on the disc,  
near-centre feed. J. Agric. Eng. Res., Silsoe, 7(3)

232-40. 1962.

PERTICARRARI, J. G. & BRAUNBECK, O. A. Armazenamento, secagem e aplicação de torta de filtro e de outros compostos orgânicos. In: SEMINÁRIO DE TECNOLOGIA AGRONÔMICA, 4, Piracicaba, 1988. Anais. São Paulo, COPERSUCAR, 1988. p.135-50.

PITT, R.E.; FARMER, G. S. & WALKER, L. P. Approximating equations for rotary distributor spread patterns. Trans. of the ASAE, St. Joseph, MI, 25(6): 1544-52. 1982.

PONCE, N.; FRIEDMAN, P. & LEAL, D. Geometric properties and density of bagasse particles. Int. Sugar Jnl, Bucks., England, 85(1018): 291-5. 1983.

REED, W. B. & WACKER, E. Determining distribution pattern of dry-fertilizer applicators. Trans. of the ASAE, St. Joseph, MI, 13(1): 85-9. 1970.

REINTS JR., R.E. & YOERGER, R. R. Trajectories of seeds and granular fertilizers. Trans. of the ASAE, St. Joseph, MI, 10(2): 213-6. 1967.

RICHEY, C. B. Forage harvesters and blowers. In: Agricultural engineer's handbook, New York, Ed.

MacGraw-Hill, 1961. p.235-7.

SPINK, L. K. Details and characteristics of primary devices. In: Principles and practice of flow meter engineering. 9.ed. Massachusetts, Ed. Foxboro, 1975. p.50-3.

STEFFEN, R. The value of composted organic matter in building soil fertility. Compost Science / Land Utilization, Emmaus, PA, 20(5): 34-7. 1979.

SCHAUSS, W. Fluid resistance to particle motion. In: Industrial gas cleaning. 2.ed. Melbourne, Ed. Pergamon Press, 1975. p.186.

### ABSTRACT

The present work has been developed in order to understand the behavior of organic wastes processed by straight radial and pitched spinner blades. The mathematical model is based on the literature related to the distribution of granular material by centrifugal spreaders. The theoretical trajectories of the particles in the blade and in the air are solved using two computer programs.

A slinger device fitted to a lathe throwed the Oliver filter cake. Its moisture ranged from 44 to 82 %. The blades were adjusted with angles from -31 to +28° to the radial direction.

The filter cake trajectories in the air were filmed by a video camera. The playback was viewed frame by frame on the pause/still mode and the rectangular coordinates were obtained. The distance reached by the filter cake on the ground was also measured.

A vertical wind tunnel with controlled turbulence was constructed for measurement of terminal velocities. The classified filter cake fractions were weighted and a terminal velocity related to the moisture was obtained.

A radial vane rotary device with 1.8 m outer diameter was built for qualitative evaluation. It was mounted beside on a MF 201 sugar cane harvester. Two hydraulic motors TRW drove the rotating vanes. A winch placed on a Valmet 128 tractor pulled the device at adequate low speed. The vanes revolved part of a 4 m wide and 2 m hight triangular windrow.

Experimental trajectories of radial and backward pitched blades indicated good adjustment with the theoretical one. Because the unloading time being greater for forward pitched blades some deviations occurred.

A housing angle change produced more influence on the trajectories than the angle blade adjustment.

Material size reduction and aeration is done by the action of blades and air respectively.